

T.C.
DİCLE ÜNİVERSİTESİ
Fen Bilimleri Enstitüsü

SALİGENİN YAN KOLLU BOROKRIPTATLARIN HAZIRLANMASI VE YAPISAL ANALİZLERİ

T.C. YÜKSEKÖĞRETİM KURULU
DOKÜMANTASYON MERKEZİ

Murat SUNKÜR

106519

YÜKSEK LİSANS TEZİ

(KİMYA ANABİLİM DALI)

106519

DİYARBAKIR
AĞUSTOS-2001

T. C.
DİCLE ÜNİVERSİTESİ
Fen Bilimleri Enstitüsü Müdürlüğüne
DİYARBAKIR

Bu çalışma jürimiz tarafından Kimya Anabilim Dalı'nda YÜKSEK LİSANS tezi olarak kabul edilmiştir.

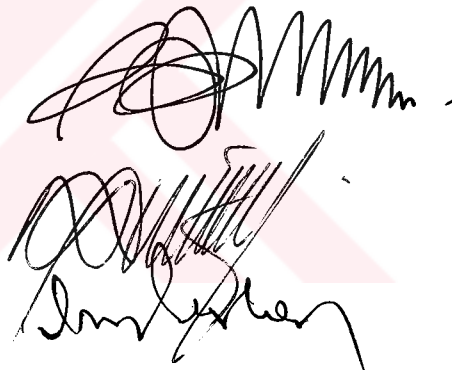
**T.C. YÜKSEKÖĞRETİM KURULU
DOKÜMANTASYON MERKEZİ**

Jüri Üyesinin Ünvanı, Adı Soyadı

Başkan : Prof. Dr. Halil HOŞGÖREN

Üye : Yrd. Doç. Dr. Giray TOPAL

Üye : Yrd. Doç. Dr. Mehmet KARAKAPLAN



Yukarıdaki bilgilerin doğruluğunu onaylarım.

/5.10.2001



TEŞEKKÜR

Bu çalışma Dicle Üniversitesi Fen-Edebiyat Fakültesi Kimya Bölümü Organik Kimya Anabilim Dalı Başkanı, sayın hocam Prof. Dr. Halil HOŞGÖREN danışmanlığında yapılmıştır. Çalışmam sırasında bilgi ve tecrübelerinden yararlandığım ve ihtiyaç duyduğum her türlü konuda yardımlarını esirgemediğinden dolayı kendilerine sonsuz teşekkürlerimi sunarım.

Deneysel aşamada yardımlarını esirgemeyen sayın Yrd. Doç. Dr. Giray TOPAL'a, Arş. Gör. Mahmut TOĞRUL'a, aynı laboratuari paylaştığımız, yardımlarını esirgemeyen Arş. Gör. Yılmaz TURGUT'a, Arş. Gör. Nadir DEMİREL'e, element analizleri yapma nezaketi gösteren Yrd. Doç. Dr. Mehmet KARAKAPLAN'a ve laboratuar imkanı sağlayan D. Ü. Fen-Edebiyat Fakültesi Dekanlığına teşekkürlerimi sunarım.

NMR spektrumlarını ücretsiz olarak SAGE enstrümental analiz laboratuarında çektiğim TÜBİTAK'a bu desteğinden dolayı teşekkür ederim.

Ayrıca bu teze emeği geçen tüm Fen Edebiyat Fakültesi çalışanlarına içten teşekkürlerimi sunmayı borç bilirim.

İÇİNDEKİLER

1: AMAÇ.....	I
2: ÖZET.....	II
2: SUMMARY.....	III
3: GİRİŞ	1
4: MATERİYAL VE METOT	17
5: BULGULAR.....	20
5.1: 4-TERT-BÜTİL-2,6-DİHİDROKSİMETİL FENOL.....	20
5.2: 4-TERT-BÜTİL-2,6-DİHİDROKSİMETİL FENİL BENZİLETER.....	20
5.3: 4-TERT-BÜTİL-2-HİDROKSİMETİL-6-KLOROMETİL FENİL BENZİLETER.....	21
5.4: 4-TERT-BÜTİL-2,6-DİKLOROMETİL FENİL BENZİLETER.....	22
5.5: BENZİLLE KORUNMUŞ SALİGENİN YAN KOLLU DİAZA-12-CR-4 TÜREVİ.....	23
5.6: SALİGENİN YAN KOLLU DİAZA-12-CR-4 TÜREVİ.....	24
5.7: SALİGENİN YAN KOLLU LİTYUM BOROKRIPTAT.....	24
5.8: BENZİLLE KORUNMUŞ SALİGENİN YAN KOLLU DİAZA-15-CR-5 TÜREVİ.....	25
5.9: SALİGENİN YAN KOLLU DİAZA-15-CR-5 TÜREVİ.....	25
5.10: SALİGENİN YAN KOLLU SODYUM BOROKRIPTAT.....	26
6: SONUÇ VE TARTIŞMA.....	27
7: TABLOLAR.....	28
8: SPEKTRUMLAR.....	32
9: KAYNAKLAR.....	67
10: ÖZGEÇMİŞ.....	71

AMAÇ

Binükleer bağlayıcı ligand yapmak son yıllarda ilgi çeken bir araştırma konusudur¹.

Bu amaçla diaza-CR-eter koru ve buna yan kol olarak yine bağlayıcılığı olan katekol birimleri bağlanmıştır.

Bu çalışma tezinde ise, bu yan kollar değiştirilmiştir. Katekol yerine saligenin yan kolları bağlı, binükleer bağlayıcı ligandlar dizayn edilmiştir.

Katekol yan kolu ligandların hava oksidasyonuna karşı dayanıksızlığı, saligeninin yan kol olarak katekol yerine kullanılması, çalışmanın başlıca amacı olmuştur.



ÖZET

4-tert-butilfenolden çıkararak üç basamakta, fenol grubu benzille korunmuş, saligenin metilen klorür bileşiği elde edilmiştir. Yan kolun diaza 12-CR-4 ve diaza 15-CR-5 halkalarına takılması ve benzil grubunun deprotekt edilmesiyle, toplam beş basamak sonra, yeni iki saligenin yan kolu diaza taç eter hazırlanmıştır. Hazırlanan ligandlar, ekivalent H_3BO_3 ve bir ekivalent MOH eklenmesiyle, binükleer yeni iki alkali metal borokriptat bileşiği hazırlanmıştır.

Alkali metal borokriptatların yapıları, IR, 1H NMR, HETCOR ve ^{13}C NMR teknikleriyle ve element analiz sonuçlarıyla doğrulanmıştır.

X-Ray için elverişli kristal elde edilemediğinden, yapılar bu teknikle aydınlatılamamıştır. Sadece, fenolik grubu benzille korunmuş saligenin yan kolu diaza 12-CR-4 ligandının yapısı, X-Ray tekniğiyle aydınlatılmıştır.

Metal borokriptat oluşumlarına, ligand ile kompleksin 1H NMR spektrumundaki çarpıcı değişiklikler en önemli kanıt olmuştur.

Anahtar Kelimeler: Alkali metaller, Borokriptand, Borokriptat, Bor bileşikleri, Kriptand, Reseptör, Saligenin.

SUMMARY

Saligenin methylene chloride, which in phenol group was protected by benzyl group, was prepared from 4-tert-butylphenol. Two new saligenin compounds that side chain contains diaza crown ethers were synthesized in five steps by attaching side chains to diaza 12-CR-4 and diaza 15-CR-5 rings and followed by deprotection of benzyl group. Two new binuclear alkaline metal borocryptates were prepared by adding equivalent amount of H_3BO_3 and MOH to the prepared ligands.

Structure of alkaline metal borocryptates were determined by IR, 1H NMR, HETCOR, ^{13}C NMR and elemental analysis.

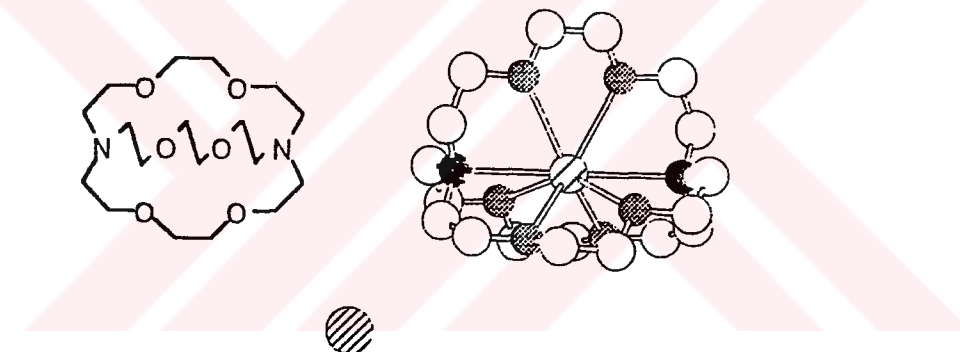
Crystal structure of the alkaline borocryptates were not determined due to the fact that X-Ray suitable crystals of the compounds were not obtained. Only, the crystal structure of benzyl protected saligenin which side chain is diaza 12-CR-4 was determined by X-Ray crystallography.

The most important evidence for the formation of metal borocryptates is striking difference in the 1H NMR spectrum of the complex and ligand.

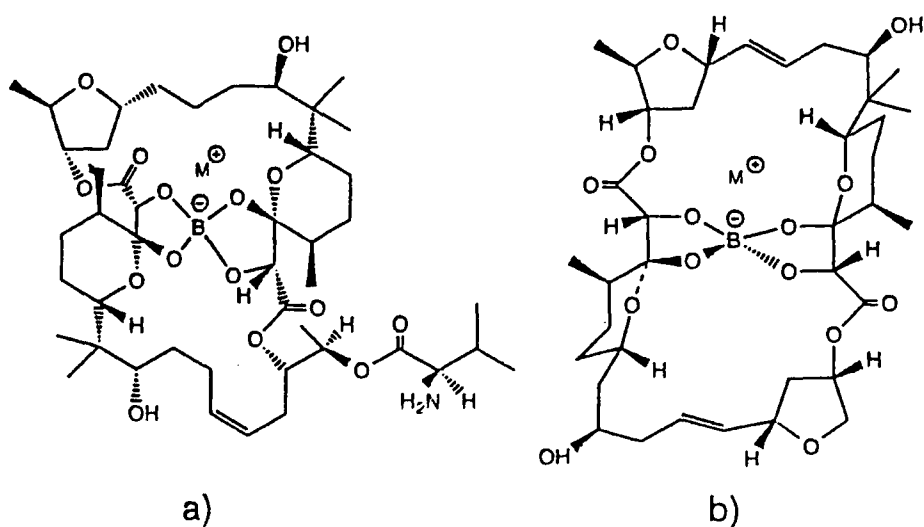
3. GİRİŞ

Taç eterlerin Pedersen^{2,3} ve kriptandların, özellikle de [222] makrobisiklik ligandların Lehn ve çalışma arkadaşları tarafından^{4,5} keşfinden beri, inorganik, organik ve fiziko kimyacılarda çeşitli sentetik host moleküllerinin dizaynı ve bağlama yeteneği ile ilgili çok sayıda makale yayılmıştır⁶⁻⁸. Başlangıçta küresel alkali ve toprak alkali monoatomik katyonların seçici bağlaması üzerinde çok dikkatle odaklanıldı, oysa şimdi, moleküler katyonların tanınması üzerinde önemli başarı sağladığı rapor ediliyor⁹⁻¹³.

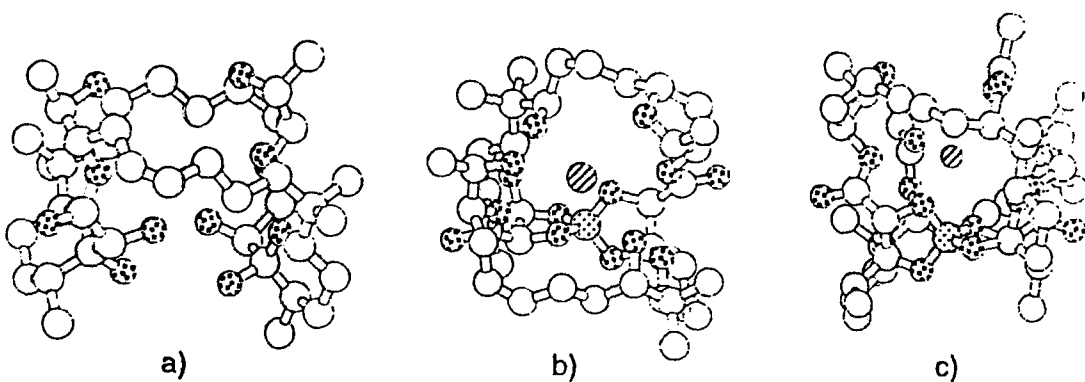
İlk dizayn edilen kriptandlar^{4,5,14,15}, kriptat vermek üzere, kendi kaviteleri içinde, katyonik substratları bağlayabilen kafes yapı içine aldılar. [222] kriptandı nötraldır. Çünkü yükün nötrallığı için kriptat katyonuna zıt bir anyon eşlik eder (Şekil 1). Varolan zıt anyonun birlikte olmasından doğan problemi yemek için, kendi iskeleti içinde negatif yük taşıyan kriptandlar dizayn edilebilir. Bu tasarım tarzı, bor içeren antibiyotiklerde bulunur. Gerçekten, boromycin [Şekil 2(a)], streptomyces antibioticus tarafından meydana getirilen bir antibiyotik



Şekil. 1. (222) KI kriptatının¹⁵ katı hal yapısı. Anlaşulsın diye, hidrojen atomları gösterilmemiştir.



Şekil. 2. Boromycin (a) ve aplasmomycinin (b) metal komplekslerinin kimyasal formülleri.



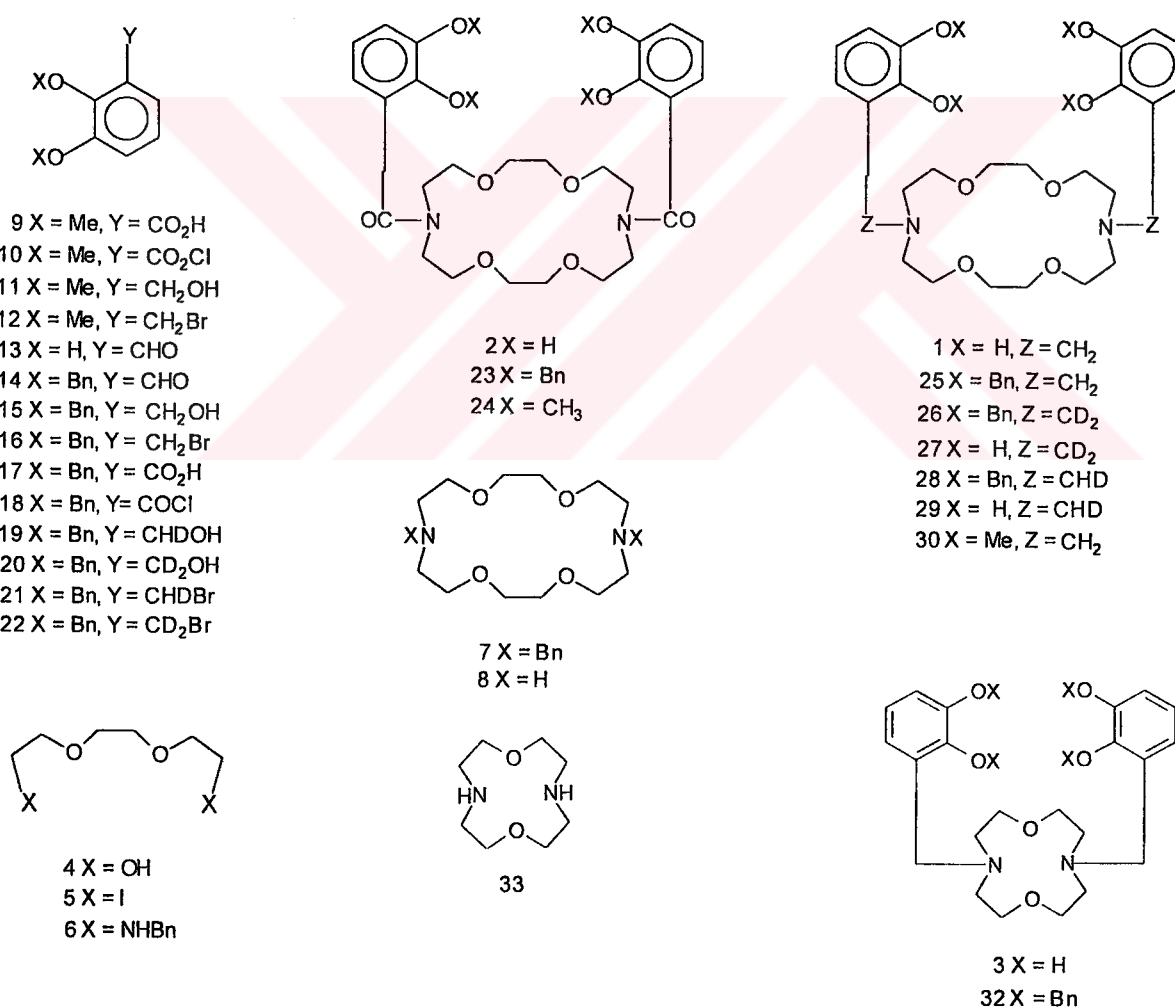
Şekil. 3. Boromycinin: (a) serbest ligand; (b) bor ve rubidyum kompleksi ve (c) aplasmomycinin bor ve sodyum kompleksinin katı hal yapısı. Anlaşılsın diye, hidrojen atomları gösterilmemiştir.

olup, bor atomu içерdiği bilinen ilk doğal üründür. Boromycinin organik özüne, bor bağlamaya yetkin ve oksijen atomları taşıyan moleküller bir kavite sunan, tetradentat polihidroksi bir makrolid gibi bakılabilir. Boromycin hakkında ilk rapor, 1961'de Hütter ve çalışma arkadaşları tarafından izole edildiğini ortaya çıkardı¹⁷. Daha sonra, hem borsuz des-valine-boromycinin¹⁸ [Şekil 3(a)] hem de onun bor ve rubidyumlu kompleksinin [Şekil 3(b)] yapısı X-Ray kristalografisi ile aydınlatıldı¹⁹. Aplasmomycin [Şekil 2(b)], streptomyces griseus tarafından üretilen, bor atomu taşıyan bir başka antibiyotiktir²⁰. Onun yapısı, borat kompleksi çevresinde ekivalenet iki kimyasal alt birime sahip olması bakımından boromycinden farklıdır. Sodyum aplasmomycin kompleksinin [Şekil 3(c)] katı hal yapısı da incelendi²¹. Her iki antibiyotik, koordinasyon kimyası açısından analiz edildiğinde, boromycin ve aplasmomycinin her ikisine, iki çekirdekli (Binükleer) ligandlar olarak bakılabilir.

Binükleer komplekslerin dizaynı ve sentezleri üzerine geçtiğimiz 20 yılda ayrıntılı şekilde çalışıldı²²⁻²⁴. Bu komplekslerde magnetik kapling, redox aktivitesi ve optik özellikler gibi moleküller şiddet özelliklerini, çarpıcı kesinlikte uyumludur^{25,26}. Her ne kadar ilk zamanlarda, esas olarak aynı tip metallerin, (örneğin; iki alkali veya geçiş metalî katyonu gibi) homo- ve hetero- kompleksleri ile ilgilenildiği bildirildiyse de, son zamanlarda hem sert alkali hem de toprak alkali ve yumuşak geçiş metal katyonlarının yer aldığı hetero binükleer komplekslerin sentezine hatırlı sayılar şekilde çaba sarf edildiğini görmekteyiz²⁷.

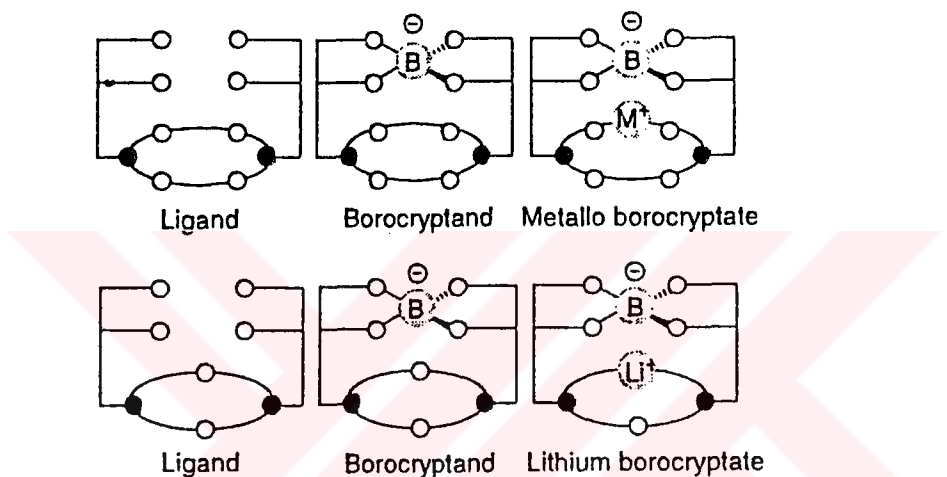
Borokriptandaların Tasarımı

Yukarıda bahsedilen, doğal antibiyotikler ve kriptandaların yapısal ve kimyasal özelliklerinden esinlenerek, makrosiklik binükleer reseptörlerin 1-3 tasarımları için (Şekil 4) bir makrosiklik iskeletle, uyumlu hacimde ve iki bidentat dianyonik ligandla birleşmesine dayanan bir yaklaşım geliştirildi^{28,29}. Makrosiklik özü teşekkür ettermek için, 12 üyeli diazadioxa 33 halkası^{14,15} ve 18 üyeli diazatetraoxa makrosiklik halkası 8^{14,15}; onların katyonları bağlama yeteneklerinden dolayı seçildiler. Benzer bir yaklaşım daha önce, iki katekol birimi taşıyan podand ve coronandların, polietilen glikol zincirlerine bağlanması için bildirilmişti³⁰. Siderophores benzeri ürün veren katekol ve aminlerin kombinasyonu, yoğun bir şekilde çalışıldı³¹⁻³⁷.



Şekil. 4. 1 – 3 ligandlarının hazırlanması için sentetik şema.

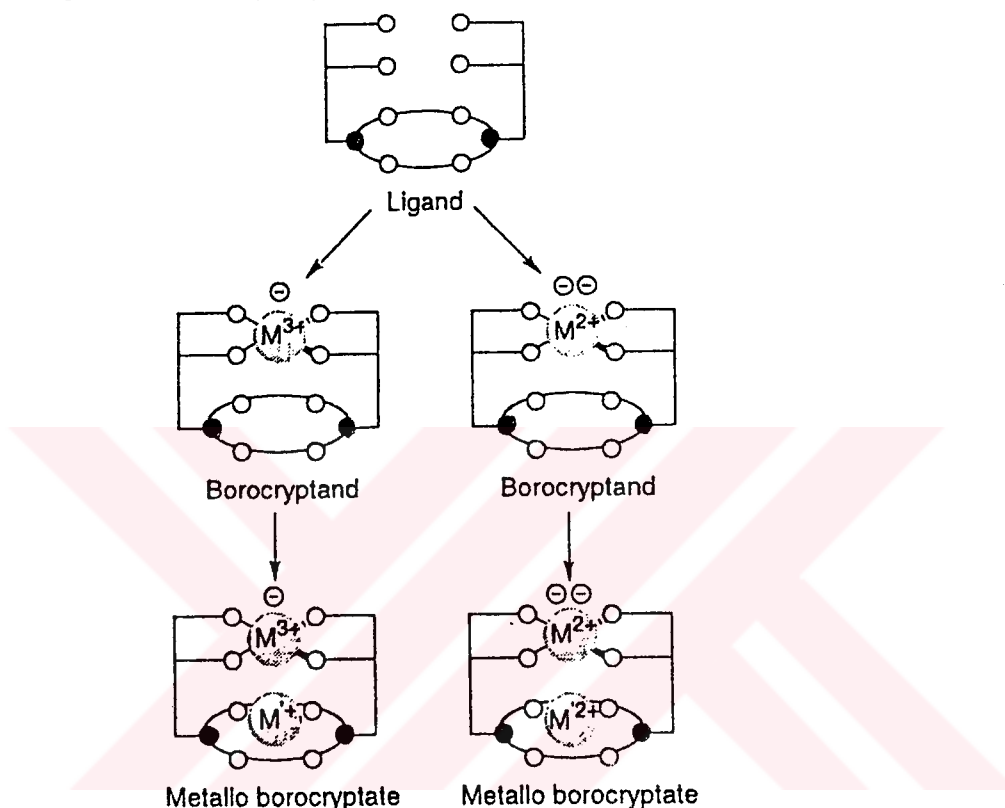
Boromycin ve aplasmomycine benzer şekilde, sentetik analoglarının makrosiklik kısmı, doğal antibiyotiklerde gözlenen oksijen atomlarının oluşturduğu yarıgin işlevini görür (Şekil 5). Diğer taraftan doğal bileşiklerde bulunan glycol birimleri, katekol gibi, geçiş metal katyonlarını iyi bağladıgı bilinen bidentat ligandlarla yer değiştirebilir. Katekol kısımlarının makrosiklik öze bağlantısı, bir amit bağı ya da bir metilen grubu kullanılarak başarılıabilir. Önceki durumda CO rigiditeyi artırır ve böylece reseptör önorganize olur. Fakat diğer taraftan makrosiklik halkanın azot atomlarının donör özellikleri, şiddetlice düşecektir. Halbuki son durumda, CH_2 grupları makrosikliğin iki azot atomunun kompleksleşme yeteneğini sürdürmesini sağlar. Fakat ligand daha esnek olurken, daha az önorganize olur.



Şekil. 5. Serbest 1 ve 3 ligandlarının, borokryptand ve borokryptatlarının şematik gösterimleri.

Pendant katekolün dianyonik doğasından dolayı, prensipte hem sert, hem yumuşak metaller ve onların kombinasyonunun, uygun yükseltgenme basamaklarının seçimi ile nötral kompleksler verir (Şekil 6). 1-3 reseptörlerinin, M^{2+} ve M^{3+} geçiş metallerini sırasıyla mono ve dianyonik pseudo kriptandlar vermek üzere iki katekol birimi ile bağlaması bir şey değildir, esas ikinci metal katyonu M^{1+} veya M^{2+} ye karşı bağlanma yeteneğini arttırmır. Geçiş metali katyonunun etrafındaki koordinasyon geometrisi ile ilgili olarak; 1-3 ligandları temelde hem kare düzlem, hem de tetrahedral geometri sağlar. Nötral kompleksler elde etmek için 1-3 ligandlarının her üçü (M^{1+} , M^{3+}) veya (M^{2+} , M^{3+}) katyon kombinasyonları ile eş zamanlı bağlanacak şekilde düzenlendiler. 1 ve 2 ligandları için, birinci kombinasyonda, alkali metal mono katyonları (Li^+ , Na^+ , K^+ , Rb^+ , Cs^+), ligandın makrosiklik özü içinde kompleksleştiler, B^{3+} ve Al^{3+} gibi M^{3+} katyonlarıyla bir araya gelerek pendant katekol birimlerine koordine oldular. İkinci kombinasyon için, (Be^{2+} , Mg^{2+} , Ca^{2+} , Ba^{2+}) gibi toprak alkali dikatyonlar ve Ni^{2+} , Cu^{2+} , Zn^{2+} gibi dikatyonik geçiş metalleri birleşebilirler. Ligand, 3 olduğu takdirde kombinasyonlar beklenildiği gibi Li^+ ve B^{3+} veya Al^{3+} la olur.

1-3 bileşiklerine, iki katyon bağlamaya muktedir binükleer ligandlar olarak bakılabilir (Şekil 5). Gerçekten, bu ana gruba Y elementinin ($Y = B^{3+}$, Al^{3+}), X^{4-} ($X = 1-3$) tarafından bağlanması, pseudo-kriptandın (X^{4-}, Y^{3+}) negatif yüklü olmasına, Böeseken tipi bir komplekse neden olur³⁸. Sıra ile bu kompleks bir alkali metal katyonu, M^+ bağlayarak nötral pseudo-kriptat (X^{4-}, Y^{3+}, M^+) meydana getirir. Bu kompleksin oluşumundaki yürütüticü kuvvet, yük-yük ve yük-dipol türü etkileşim çekimleridir.



Şekil. 6. Ligand 1 ve (M^{3+} , M^{+}) veya (M^{2+} , M^{2+}) çiftlerinin yer tuttuğu nötral komplekslerin oluşumlarının şematik gösterimleri.

Borokriptandların Sentezi

1 ve 2'nin hazırlanmasındaki sentetik strateji; benzille korunmuş katekolün, açılı klorür ya da bromometil türevlerinin diazatetraoxa makrosikliği 8 ile birleştirilmesine dayandırıldı²⁸ (Şekil 4). Son söylemenin sentezi, elde hazır bulunan 1,2-bis(2-kloretoksi)etandan (4) başlanarak dört basamakta başarılı oldu, ardından işlemler yayınlandı³⁹. 4 bileşiği ilk olarak diiyodo bileşigine dönüştürüldü (5). (5) bileşiği, benzilaminle kondense edilerek korunmuş diamino bileşigi verdi (6). Sonuncunun 5 nolu diiyodo bileşigi ile kondensasyonu, korunmuş 7 makrosikliğini, bunun da katalitik hidrojenasyonu ($H_2/Pd/C$) istenen bileşik 8'i verdi.

1 ve 2'yi hazırlamak için ilk teşebbüste, metille korunmuş katekoller 10 ve 12 kullanıldı²⁷. 2'nin hazırlanması için elde hazır bulunan 2,3-dimetoksibenzoik asit 9, SOCl_2 ile muamele edilerek asit klorür 10'a çevrildi⁴⁰. Sonuncu ile 8'in Et_3N varlığında kuru THF'de reaksiyonu, istenen 24 bileşğini verdi. 1'in sentezi için, alkol 11 ilk olarak PPh_3 varlığında DMF içinde Br_2 ile muamele edilerek brom türevi 12'ye çevrildi⁴¹. 12'nin 8 ile CH_2Cl_2 de -5 °C'ta kondensasyonu, 30'u verdi. Ne yazık ki 24 ve 30 bileşiklerinin her ikisi için, standart BBr_3 ^{42,43} kullanılarak koruyucu metil gruplarının uzaklaştırılmasında başarısız olundu. Sonuçta, PPh_2Li gibi spesifik deprotektleyici bir ajan kullanılarak⁴⁴ 1 ve 2 bileşiklerinin her ikisi de elde edilebildi. Bununla birlikte, son adımda istenen bileşiklerin saflaştırılması oldukça sıkıcı olduğundan dolayı, benzil (Bn) koruyucu grubunun kullanıldığı bir yol denendi. 2,3-dihidroksibenzaldehitin 13, K_2CO_3 varlığında etanol içinde benzilbromürle muamele edilmesi, kantitatif verimle korunmuş aldehit 14'ü verdi. Son söylenen, 14, benzil bromür 16 ve açılı klorür 18 için ortak ara ürün oldu. Gerçekten 14'ün aseton/su karışımında [1:1] $\text{H}_2\text{NSO}_3\text{H}$ varlığında, NaClO_2 ile oda sıcaklığındaki oksidasyonu⁴⁵, asit 17'yi verdi. Bu daha sonra DMF'de SOCl_2 ile muamele edilerek açılı klorürüne (18) dönüştürüldü⁴⁵. Aldehit 14, THF'de LiAlH_4 ile muamele edilerek benzil alkol 15'e indirgendi⁴⁶. Son ürün THF'de PBr_3 ile muamele edilerek bromometil 17'ye çevrildi. 18 ile 8'in Et_3N varlığında, toluende kondensasyonu korunmuş ürün 23'ü verdi. 16 ile 8'in Et_3N varlığında toluendeki reaksiyonu 25'i verdi. Sonuç ürünleri 1 ve 2 sırasıyla, 23 ve 25'in katalitik (Pd/C) hidrojenasyonuyla elde edildiler.

27 ve 29 dötero bileşiklerinin sentezleriyle ilgili olarak; yine korunmuş aldehit 14 ortak başlama maddesi oldu. 14, LiAlD_4 kullanılarak monodötero alkol 19'a indirgendi, oysa asit 17'nin aynı ajan kullanılarak indirgenmesi didöterolanmış 20'yi verdi. 19 ve 20 alkollerinin her ikisi, önce bromlanıp, 21 ve 22 bileşiklerini meydana getirdiler. Ardından makrosiklik 1'deki aynı prosedürle, 27 ve 29 ligandları elde edildi⁴⁷.

Amit içeren ligand 2, DMSO ve alkali suda çözünür; CHCl_3 'te ise ise oldukça az çözünür. Halbuki amin içeren reseptör 1, CH_2Cl_2 , CHCl_3 , DMF ve CH_3CN gibi organik çözücülerde ve hem asidik hem de alkali sulu çözeltilerde çözünür.

3 bileşığının sentezi, elde hazır bulunan makrosiklik [1,1] 33 ile benzil-korunmuş bromometil katekol 16'nın kondensasyonu, ardından katekol kısımlarının deprotekt edilmesi ile başarılı²⁹. Bileşik 3, katekol kısımlarından tersiyer amino gruba doğru molekül içi bir proton transferi nedeniyle, oksidasyona aşırı duyarlı, katekolat amonyum zwitter iyonu meydana getirir.

Borokriptand 1 İle Alkali Metal Katyonlarının Bağlanması⁴⁸

EtOH içindeki 1'in 1 ekivalen B(OH)₃ ve 1 ekivalen MOH (M= Li, Na, K, Rb, Cs) ile oda sıcaklığında H₂O içinde muamele edilmesi, yalnız (1⁴⁻, B³⁺, M⁺) komplekslerinin oluşumuyla sonuçlandı. Ham ürünün bir kez yeniden kristalizasyonu, saf binükleer kompleksi verdi. (1⁴⁻, B³⁺, M⁺) komplekslerinin CD₃OD veya H₂O gibi bir solvatlayıcı çözücü içinde bile kimyasal olarak kararlı olduğu bulundu. Birkaç haftanın üzerinde bir periyotta bile ¹H NMR spektrumunda bir değişiklik gözlenmedi.

(1⁴⁻, B³⁺)'nın alkali katyonlara bağlanma yeteneği, CDCl₃ ve CD₃OD içinde ¹H NMR spektroskopisi ile çalışıldı. Kimyasal kayma değerlerinin, kavite içinde kompleksleşmiş katyonun doğasına kuvvetlice bağlı olduğundan, bağlama çalışmaları NMR ile uygun şekilde izlenebildi. Ayrıca (1⁴⁻, B³⁺)'nın alkali katyonlara bağlanma yeteneği, ²³Na NMR spektroskopisi ile de çalışıldı. Buradan, CD₃OD içinde 25 °C'ta serbest ve kompleksleşmiş Na⁺ arasında yavaş bir değişim tokuş işlemi olduğunu açığa çıkardı (Tc= 55 °C, Kc= 2.7x10³ s⁻¹, ΔG[#] = 15.5 kcal.mol⁻¹).

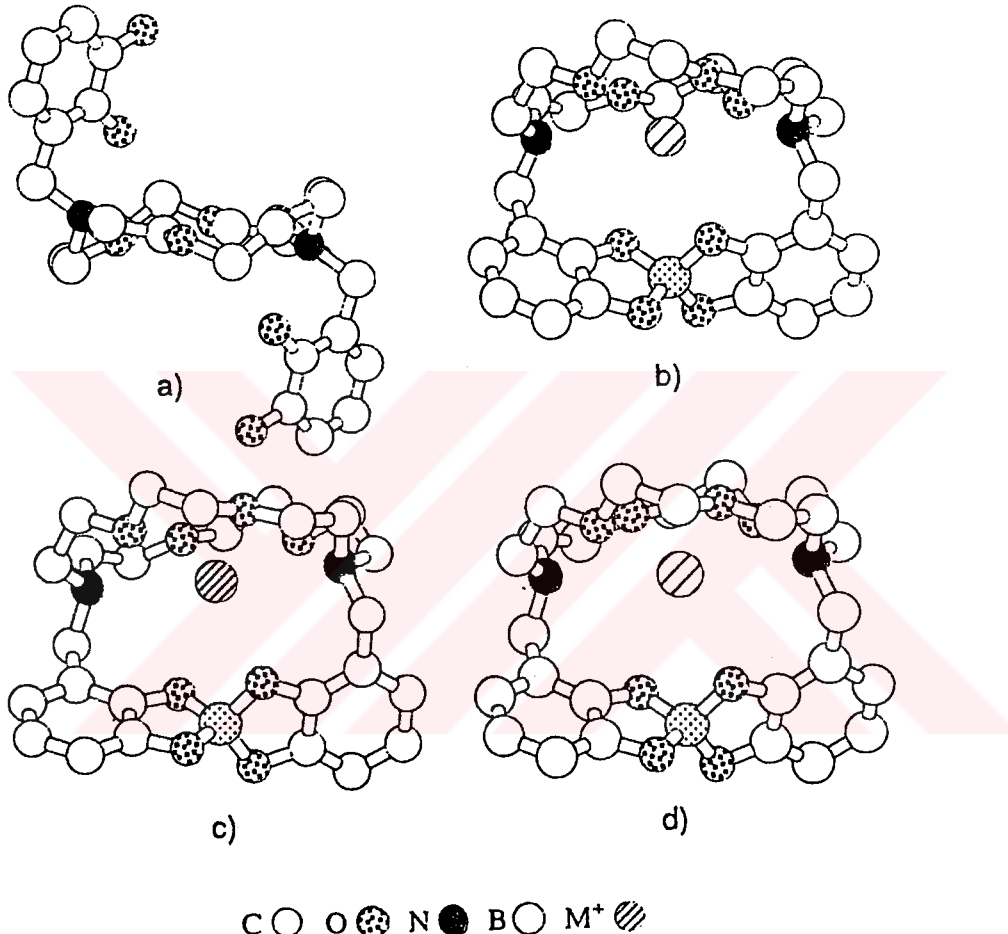
Yarışmalı deneylere dayanarak, ¹H ve ²³Na NMR spektroskopisi ile izlenen (1⁴⁻,B³⁺, K⁺) kompleksi, metanol içinde bağlama sabiti yaklaşık 10^{12.5} molL⁻¹ olarak hesaplandı. Bu değerin bir sentetik kompleksleştirici ajan için potasyuma karşı gözlenen en yüksek değer olduğu ortaya çıktı. K⁺ katyonu ile Na⁺ ve Cs⁺ katyonlarının arasındaki seçicilik faktörünün, sırasıyla 10³ ve 10² kat büyük olduğu belirlendi. (1⁴⁻, B³⁺, K⁺) kompleksinin, ([222],K⁺) kompleksinden de 10² kat daha kararlı olduğu gösterildi.

Borokriptatların Katı Hal Yapılarının Analizi¹⁶

Kristal fazda, serbest ligand 1 [Şekil 7(a)] ve onun (1⁴⁻, B³⁺, M⁺); M⁺ = K⁺ [Şekil 7(b)], Rb⁺ [Şekil 7(c)], Cs⁺ [Şekil 7(d)] ile kompleksleri X ışınları kırınım metoduyla çalışıldı ve önerilen yapılar doğrulandı. Üç durumda da bekendiği gibi, bor etrafındaki tetrahedral koordinasyon nedeniyle R ve S izomerlerinin ikisinin de birim hücrede bulunduğu saptandı (Şekil 8). M⁺ (K⁺, Rb⁺, Cs⁺) katyonu gerçekten, negatif yüklü borokriptand (1⁴⁻, B³⁺) tarafından oluşturulan kavite içine yerleşmiştir.

Her bir komplekste, azot atomlarının her ikisinin ortaklanmamış elektron çiftleri oyuğun içine (in: in conformation) doğru yönelmişlerdir. Her üç kompleks için N-N uzaklığı 6.27 Å hemen hemen aynıdır. Gözlenen ortalama yaklaşık 6.27 Å uzaklık, sırasıyla ([222], K⁺),

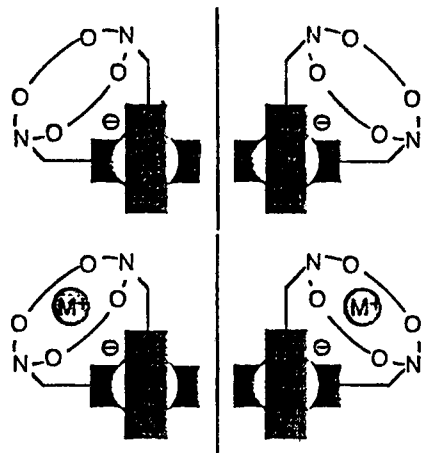
([222], Rb^+) ve ([222], Cs^+) kompleksleri için gözlenen 5.75 Å, 6.00 Å ve 6.06 Å'lık N-N uzaklıklarından daha uzundur⁴⁸. M^+ katyonu, iki köprübaşı azot atomundan neredeyse eşit uzaklıkta yerleşmiştir. Tam tersine ([222], M^+) kriptatta; ($\mathbf{1}^{4-}$, $\text{B}^{3+}, \text{M}^+$) için N- M^+ mesafesindeki ortalama uzaklık yaklaşık 3.15 Å'den sadece önemsizce farklıdır. Bu uzaklık ([222], K^+), ([222], Rb^+) ve ([222], Cs^+) kompleksleri için sırasıyla gözlenen 2.87 Å, yaklaşık 3.00 Å ve yaklaşık 3.03 Å N- M^+ uzaklıklarından oldukça uzundur⁴⁹.



Şekil. 7. ($\mathbf{1}^{4-}$, B^{3+} , M^+) kompleksinin (rastgele izomer) katı hal yapısı. (a) Serbest ligand; (b) $\text{M} = \text{K}^+$; (c) $\text{M} = \text{Rb}^+$; (d) $\text{M} = \text{Cs}^+$. Anlaşılsın diye, hidrojen atomları gösterilmemiştir.

$(\mathbf{1}^{4-}, \text{B}^{3+}, \text{M}^+)$ komplekslerinde bulunan sekiz oksijen atomundan dördü eter bağlantısı, ikisi borat oksijeninden sadece altı tanesi, M^+ ile bağ yapma mesafesi içinde yerleşmiştir (ortalama mesafeler, K^+ için yaklaşık 2.82 Å, Rb^+ için yaklaşık 2.89 Å, Cs^+ için yaklaşık 2.98 Å). Her üç komplekste M^+ metal katyonu, altı oksijen ve iki azot atomuyla, M^+ etrafında düzensiz koordinasyonlu polihedron meydana getirmek üzere kuşatılmıştır. Hemen hemen kafesin merkezinde katyonun yerleştiği ([222], M^+) kompleksinin tersine, bütün heteroatomlarla etkileşir, ($\mathbf{1}^{4-}$, B^{3+} , M^+) durumunda, ortalama M^+-O uzunluğu, ortalama M^+-N

mesafesinden oldukça kısa bulundu. Bu bağ mesafeleri, metal katyonu ve oksijen atomları arasında, iki azot atomuyla olandan daha kuvvetli çekim etkileşimleri olduğuna bir işaretir. ([222], M⁺) kompleksine ait N-M-N açısı hemen hemen 180° iken (1⁴⁻, B³⁺, M⁺) durumunda bu değer K⁺ için 177° den Rb⁺ için 176° ye ve Cs⁺ için 174° düşer.



Şekil. 8. Borokryptand 1'in spiroborat bağlanması yerlerinden doğan kiralitenin şematik gösterimi.

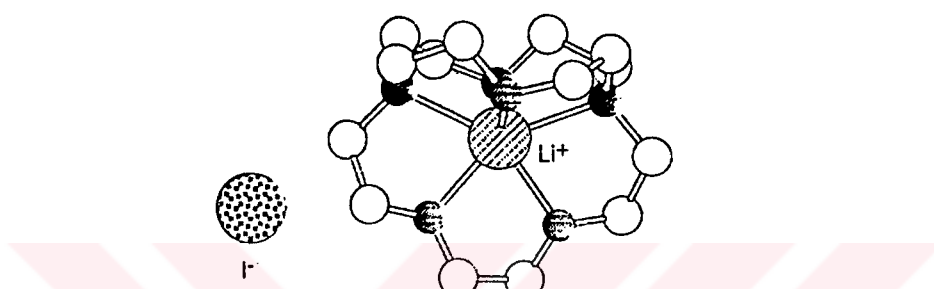
Bor etrafındaki koordinasyon geometrisi gerçekten bir düzgün dörtyüzlüdür. B-O mesafeleri 1.48 Å e yakındır. O-B-O açıları, katekol birimlerinin oldukça riyit yapılarına uygun olarak, 104° den 114° ye değişir. Her üç yapı için ortalama değerler, hemen hemen tipatıp aynı kalırken, bu da tetrahedronun küçük bir deformasyonuna işaret eder.

Beklendiği gibi M-O ortalama mesafesindeki artışlar; K⁺ için 2.82 Å, Rb⁺ için 2.89 Å ve Cs⁺ için 2.98 Å , alkali katyonlarının iyonik yarıçaplarındaki artışa paralel gerçekleşmiştir.

Lityum Borokriptat²⁹

Lityumun, bilim,tıp ve teknolojide oynadığı rolden ötürü ⁵⁰, Li seçici, kompleksleştirici ajanların tasarımları, hala aktif bir araştırma alanıdır. Lityumun çeşitli sentetik reseptör molekülleri ile kompleksleşmesi incelendi⁵¹. Yapısal özellikleri gözden geçirilenler arasında kriptand⁸⁻¹² ve sferandların^{7,9-12} lityum için en uygun ve seçici reseptörler olduğu, ortaya çıktı. Yukarıda bahsedildiği gibi, borokriptandın ilk tasarımı, iki katekol birimi ile [2,2] makrosiklik özün, her iki azot merkezinde çifte fonksiyonalizasyonuyla, reseptör molekül 1'i vermesi temeline dayandırıldı. Kavitesinin büyülüğünün bir sonucu olarak, borokriptand (1⁴⁻, B³⁺)'ün bağlama yeteneğinin, K⁺ a karşı aşırı yüksek; Li⁺ için oldukça düşük olduğu ortaya çıktı. Ters selektivite elde etmek için ligand 3 hazırlandı (Şekil 4). 3'ün seçici bir lityum reseptörün anacı

gibi tasarımlı, borokriptand kavitesinin hacminin büzülmesi temeline dayandırıldı. Bu, bor bağlama yerlerindeki katekol kısımları korunurken, 1'de bulunan [2,2] makrosiklik 8'in yerine; [1,1] makrosiklik 33'ün kullanılmasıyla başarılıabdı (Şekil 5). Her ne kadar esneklik biraz azalsa da, azot atomlarının bağlama yeteneğini korumak için, katekoller ve makrosiklik öz arasında bağlanma, metilen grupları vasıtasyyla başarılıdı. Benzer potansiyel koordinasyon yerlerinin varlığından dolayı N_2O_4 , anyonik borokriptand (3^{4-} , B^{3+}), lityumla kararlı bir kompleks yapısı gösteren nötral [211] kriptandının bir analogu olarak kabul edilebilir (Şekil 9).



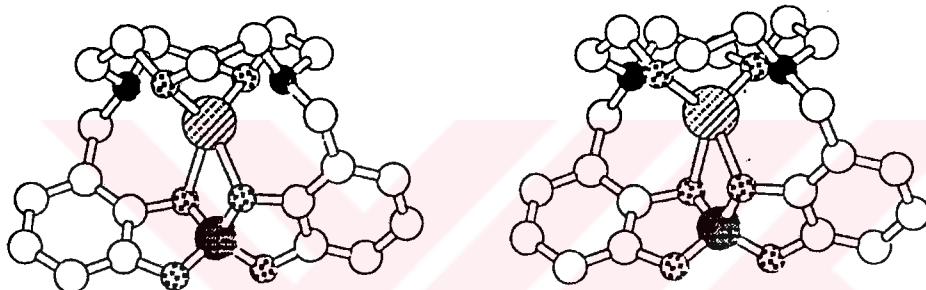
Şekil. 9. (211) LiI Kriptatının⁵² katı hal yapısı. Anlaşılsın diye, hidrojen atomları gösterilmemiştir.

(3^{4-} , B^{3+} , Li^+) kompleksi, serbest ligandın oda sıcaklığında, $H_2O/EtOH$ karışımında, 1 ekivalent $LiOH$ ve 1 ekivalent $B(OH)_3$ 'le argon altında muamele edilerek, çöktürülmesiyle elde edildi. Saf (3^{4-} , B^{3+} , Li^+) kompleksi, CH_2Cl_2/iPr -eter karışımından yeniden kristallendirilerek elde edildi. Oluşan kompleks oksitlenmeye karşı kararlı olduğundan, havada saklanabilir.

3^{4-} 'ün bor ve lityum katyonlarına bağlanması yeteneği $CDCl_2$ içinde 1H ve ^{13}C , 7Li ve ^{11}B NMR spektroskopileriyle çalışıldı. -1.31 ppm de tek bir sinyal gösteren 7Li NMR ile lityumun varlığı gösterilirken; 16.21 ppm de bir sinyal veren ^{11}B NMR, ile borun mevcudiyeti tespit edildi. (3^{4-} , B^{3+} , Li^+) komplekslerinin proton kimyasal kayma değerleri, katyonun doğasına kuvvetlice bağlı olduğundan dolayı, Na^+ un kompleksleşmesi yarışmalı deneylerle DMSO içinde çalışıldı. (3^{4-} , B^{3+})'nın bağlama afinitesinin; Li^+ a karşı Na^+ dan en az bir derece yüksek olduğu tespit edildi.

Katı halde, (3^{4-} , B^{3+} , Li^+) borokriptatın kapsamlı yapısı, X-Ray çalışması ile gösterildi (Şekil 10). Bor etrafındaki tetrahedral koordinasyondan bekendiği gibi R ve S izomerlerinin her ikisi de (Şekil 8) birim hücrede mevcuttur. Rasematın X-Ray analizi şu özelliklerini açığa vurdu: (I) Li^+ , negatif yüklü (3^{4-} , B^{3+} , Li^+) borokriptand tarafından oluşmuş oyuk içine yerleşmiştir; (II) 109.5° lik ortalama bir O-B-O açısı ve yaklaşık 1.48 Å lük ortalama bir B-O

uzaklığı ile bor etrafındaki koordinasyon geometrisi tetrahedraldir; (III) iki azot atomunun ortaklanmamış elektron çiftleri de; sırasıyla 2.39 Å lük bir ortalama N-Li⁺ mesafesi ve 133.4° lik bir ortalama N-Li⁺-N açısıyla uygun içine (in, in conformation) doğru yönelmişlerdir; (IV) (3^4 , B³⁺) da bulunan altı oksijen atomu arasından sadece dördü; iki eter, iki borat oksijeni, Li⁺un bağ mesafesi içinde bulunurlar (ortalama B-O mesafesi yaklaşık 2.11 Å); (V) Li⁺, dört oksijen ve iki azot atomu tarafından kuşatılmıştır. Li⁺ etrafındaki koordinasyon polihedronu, düzensiz-hegzakoordinasyondur. Bozulmuş küresel koordinasyon, Li⁺ için olağandışı değildir⁵²; (VI) ([211], Li⁺, I⁻) kriptatında⁵³ ortalama Li⁺-O ve Li⁺-N mesafeleri sırasıyla yaklaşık 2.13 Å ve yaklaşık 2.29 Å, (3^4 , B³⁺, Li⁺) kompleksinde ise, ortalama Li⁺-O mesafesi yaklaşık aynı (2.11 Å) iken; ortalama Li⁺-N mesafesi ise 2.39 Å olup daha uzundur.



Şekil. 10. (3^4 , B³⁺, Li⁺) kompleksinin katı hal yapısı (rastgele bir izomerinin stereogörünüşü). Anlaşılışın diye, hidrojen atomları gösterilmemiştir. Seçilmiş bağ mesafeleri ve bağ açıları: ortalama B-O mesafesi 1.48 Å, ortalama Li-N mesafesi 2.39 Å, ortalama Li-O mesafesi 2.11 Å, ortalama OBO açısı 109.48°

Amonyum Borokriptat⁵⁴

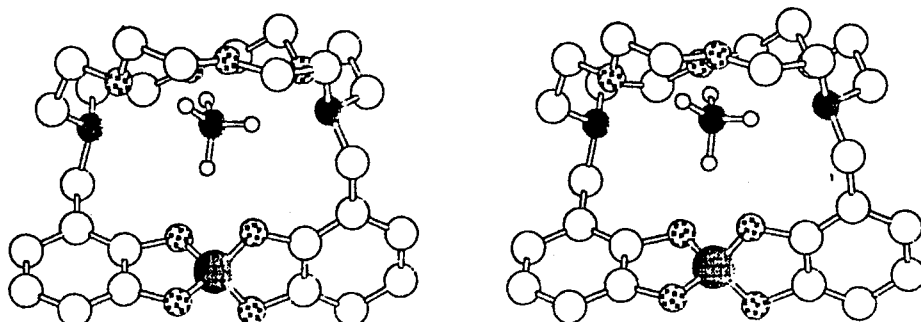
Canlı organizmalardaki amonyum katyonlarının temel öneminden dolayı, bu organik katyonların moleküller tanınması geçen 25 yıl boyunca genişçe araştırıldı^{55,56}. Her ne kadar amonyum kompleksleriyle ilgili birçok termodinamik ölçüm mevcut olsa da, katı halde sadece az miktarda yapısal veri bildirilmiştir. Özellikle temel amonyum katyonu NH₄⁺, taç eterler⁵⁷⁻⁶², makrobisiklik⁶³ ve makrotrisiklik^{64,65} kriptandlar ve nonactin⁶⁶ ve tetranactin⁶⁷ gibi antibiyotiklerle bağlanmasına değinen cüzi sayıda yapısal analiz yayınlanmıştır. Yukarıda sözedilen ligandların p-nitrofenat kalıntıları taşıyan⁶⁰ taç eter dışında, hepsi nötral ligandlardır ve kompleksleşen katyona, bir zıt anyon tarafından eşlik edilir.

EtOH'daki 1'in oda sıcaklığında, H₂O/EtOH karışımında, 1 ekivalen B(OH)₃ ve 1 ekivalen sulu NH₃ ile muamelesi, yalnız (1^4 , B³⁺, NH₄⁺) kompleksini verdi. Ham ürünün yeniden kristallendirilmesi saf kompleksi verdi. (1^4 , B³⁺, NH₄⁺) kompleksi kimyasal olarak

kararlılık gösterdi. Gerçekten CD_3OH veya H_2O gibi solvatlayıcı çözüçüler içinde bile, ^1H spektrumunda birkaç hafta boyunca herhangi bir değişiklik olmadı⁵⁴. Borun varlığı, yine çözücü içinde, ^{11}B NMR spektroskopisi ile 12.68 ppm de tek bir sinyal gözlenerek doğrulandı. CDCl_3 ve CD_3OD içinde (I^{4-} , B^{3+} , NH_4^+) kompleksinin bağlanma özellikleri, (I^{4-} , B^{3+} , NH_4^+) kompleksinin çözeltisine alkali katyonların eklenmesiyle, kaydedilen spektral değişiklikler, ^1H NMR spektroskopisi kullanılarak da çalışıldı. (I^{4-} , B^{3+} , NH_4^+) ve Na^+ arasında CD_3OD içindeki yarışmalı deneyler, NH_4^+ seçiciliğinin 40 misli fazla tercih edildiğini açığa vurdu. Diğer taraftan (I^{4-} , B^{3+} , NH_4^+)'un $\text{CD}_3\text{OD}'$ lü çözeltisine 1.1 ekivalent KI eklenmesi, NH_4^+ un tamamının uzaklaştırılmasına ve K^+ ile yer değiştirmesine neden oldu. Bu K^+ için çok yüksek bir afiniteyi gösterir. NH_4^+ a karşı Cs^+ a degenirsek; benzer tipte yarışmalı deneyler, NH_4^+ un yaklaşık 100'lük bir seçicilik faktörü ile tercih edildiğini açığa vurdu. Nihayet [222] kriptandı ile CDCl_3 içindeki yarışmalı deneyler, (I^{4-} , B^{3+} , NH_4^+)'un ([222], NH_4^+) kriptandından en az üçüncü dereceden bir büyülü mertebesinde daha kararlı olduğunu gösterdi. CD_3OD içinde katyon bağlamadaki seçicilik sırası, $\text{K}^+ > \text{NH}_4^+ > \text{Na}^+ = \text{Cs}^+$ olarak gözlendi.

Katı halde, NH_4^+ (I^{4-} , B^{3+} , NH_4^+) kompleksinin kapsamlı yapısı X-Ray çalışmasıyla gösterildi (Şekil 11). Yine bor etrafındaki tetrahedral koordinasyondan bekleniği gibi, (Şekil 8) birim hücrede R ve S izomerlerinin her ikisi de mevcuttur. Rasematın X-Ray analizi şu özellikleri açığa vurdu: (I) Bor etrafındaki tetrahedral geometri, OBO açılarının 104.2° den 112.9° ye (ortalama 109.5° dir) değişmesi ve ortalama yaklaşık 1.47 \AA lük bir B-O mesafesi ile hafifçe deform olmuştur; (II) Substratin azot atomu etrafındaki dört protonun bağ mesafesinde yerleşimlerinden dolayı, bağ uzaklılarının analizleri, substratin gerçekten NH_4^+ katyonu olduğunu açığa çıkarmıştır. Substratin azot atomu etrafındaki koordinasyon geometrisi; yaklaşık 1.07 \AA lük ortalama bir N-H uzaklışı ve yaklaşık 109.6° lik ortalama bir HNH açısıyla (HNH açı değerleri 103.2° den 122.4° ye değişen çeşitliliktedir) bozulmuş bir tetrahedrondur; (III) İki köprübaşı azot atomunun da ortaklanmamış elektron çiftleri kavitenin içine doğru yönelmişlerdir (in, in conformation); (IV) NH_4^+ katyonu, negatif yüklü bir kriptand tarafından oluşturulan oyuğun içine yerleşmiştir; (V) NH_4^+ katyonunun azot atomu, iki köprübaşı azot atomundan, neredeyse eşit uzaklıkta yerleşmiştir ($\text{N}1-\text{N}^+$ ve $\text{N}10-\text{N}^+$ uzaklıkları sırasıyla 3.126 \AA ve 3.072 \AA , $\text{N}-\text{N}^+-\text{N}$ açısı 178° dir.); (VI) (I^{4-} , B^{3+} , NH_4^+) kompleksinde, NH_4^+ katyonu üç oksijen atomuyla (ortalama N^+-O mesafesi yaklaşık 2.87 \AA , ortalama N^+HO açısı yaklaşık 165.6°) ve bir azot atomuyla (N^+-N mesafesi 3.07 \AA , N^+HN açısı 116.5°) kuşatılmış moleküller katyon etrafında, tetrahedral koordinasyona neden

olmuştur. Bu şekilde, [(222), NH₄⁺] kompleksinde 8 oksijen atomu bağ mesafesinde bulunurken; (1⁴⁻, B³⁺, NH₄⁺) kompleksinde onların sadece üçü, iki eter bağlantısı ve bir borat oksijen atomu, NH₄⁺un bağ mesafesi içinde bulunurlar.



Şekil. 11. (1⁴⁻, B³⁺, NH₄⁺) kompleksinin katı hal yapısı (rastgele bir izomerin stereogörünüşü). Anlaşılsın diye, substrata ait olanlar dışında hidrojen atomları gösterilmemiştir.

Borokriptatların Peristatik Kiralitesi⁶⁸

Yüzyıldan uzun bir süredir kimyacılar, kimyanın en ince konularından biri olan kiralite ile sürekli olarak ilgilenmektedirler⁶⁹. Bir tarafta, sentetik kimyacılar hünerlerini, saptanmış⁷⁰ ya da yeni tiplerde⁷¹ kiralitenin sunulduğu kimyasalları hazırlamakta kullanmaktadır. Diğer taraftan fizikokimyacılar bize kiralite ölçümüne olanak sağlayan metotlar geliştirmektedirler. Kiralite çalışmalarımızda kullanılan çeşitli fiziksel metotlar arasında, NMR spektroskopisi en kullanışlı tekniklerden biri olarak gözükmekeydir⁷². Özellikle yönelmiş nematic fazlarda NMR spektroskopisinin, enantiomerlerin farklandırılmasında güçlü bir metot olduğu gösterildi⁷³⁻⁷⁶.

Kiraliteye gelince 1 ile borun bir tetrahedral koordinasyon geometrisi ile bağlanması, kiral borokriptand (1⁴⁻, B³⁺) verir (Şekil 8). Sonuncunun alkali metal katyonları ile kompleksleşmesi (1⁴⁻, B³⁺, M⁺), kiral kriptatlarını verir. Yukarıda belirtildiği gibi K⁺, Rb⁺, Cs⁺ ve NH₄⁺ komplekslerinin X-Ray analizleri, katı halde rasemik bir karışım olarak R ve S enantiomerlerinin her ikisinin varlığını ortaya koydu. Kovalent olmayan etkileşimler vasıtayıyla, kiral reseptör tarafından meydana getirilen ve peristatik kiralite olarak açıklanabilen (peristasis = çevre) kararsız ve değişebilen kompleksleşmiş alkali metal katyonunun kiralitesi, bu yüzden, kendi doğasından kaynaklanmazken; serbest kriptand

$(\text{I}^{4-}, \text{B}^{3+})$ 'a ait enantiomorfik tip (R ve S) kiralite, onun yapısal bağlanma düzeninin doğasından kaynaklanmaktadır⁷⁷.

Kiral borokriptat $(\text{I}^{4-}, \text{B}^{3+}, \text{M}^+)$ 'a ait reseptör $(\text{I}^{4-}, \text{B}^{3+})$ kısmı, klasik ^1H ve ^{13}C NMR aktif çekirdekler ek olarak kuadropolar momentlere sahip, ^{10}B ($I=3$) ve ^{11}B ($I=3/2$) de içermektedir. Kuadropolar momente sahip ve aynı zamanda NMR aktif olan kompleksleşmiş alkali metal katyonları da aynı teknikle çalışılabilir.

Kiral moleküllerin enantiomerik farklandırılması, özellikle poli(γ -benzil-L-glutamat) (PBLG)/CH₂Cl₂'nın (%11-12 w/w)'lik karışımında⁷⁴, kolesterik liyotropik mezofazda⁷⁵ oluşturulan yönlendirilmiş likit kristal içinde, NMR spektroskopisi ile gösterildi⁷³. $(\text{I}^{4-}, \text{B}^{3+}, \text{M}^+)$ komplekslerinin enantiomerik farklandırılması, aminoasitler için elde edilen sonuçlara dayanarak, poli(γ -benzil-L-glutamat) (PBLG)/CH₂Cl₂'nın (%11-12 w/w)'lik karışımında çalışılabildi. Bu çalışma hem $(\text{I}^{4-}, \text{B}^{3+})$ reseptörünün hem de substratin seviyesine bağlı çalışıldı. Reseptör için (^{10}B , ^{11}B) NMR verileri; katyonik substrat için (^{133}Cs ve ^{14}N) NMR verileri birleştirilerek bu çalışma yapılabildi⁶⁸.

$(\text{I}^{4-}, \text{B}^{3+}, \text{Cs}^+)$ kompleksinin ^{10}B NMR ($I=3$) spektrumu [Şekil 12(a)], bir rasemik karışım için bekleniği gibi 1/1 oranlı iki sinyal grubuna ayırtılabilir [Şekil 12(b) ve (c)]. İki farklı sinyal iki enantiomerdan dolayıdır. Enantiomerlerin biri [Şekil 12(b)] bir geniş singlet sinyali verirken; diğer enantiomerin sinyali kuadropolar yarıılma (v_Q) ve $\Delta v_{1/2}$ değerleri sırasıyla 221.6 Hz ve 73.3 Hz olan bir sextet olarak ortaya çıkmıştır [Şekil 12(c)].

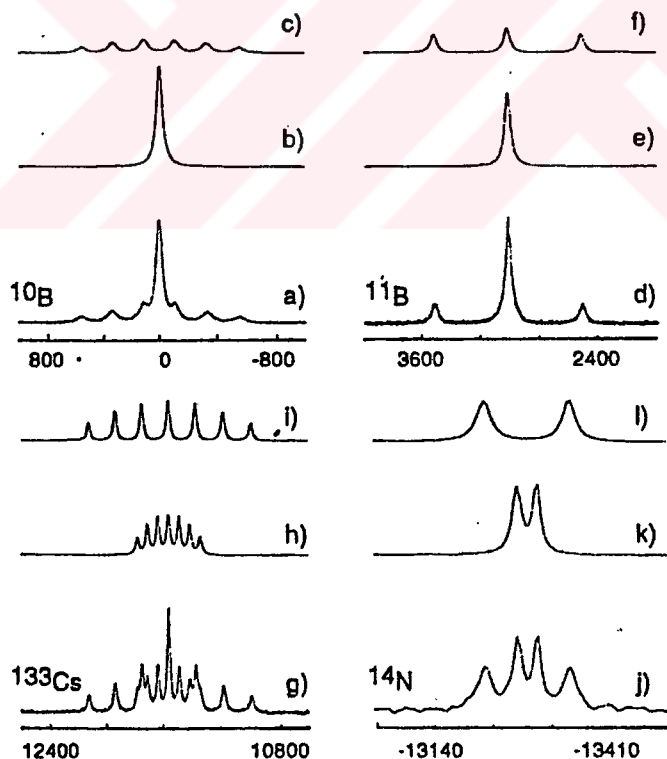
$(\text{I}^{4-}, \text{B}^{3+}, \text{Cs}^+)$ kompleksi ^{11}B NMR ($I=3/2$) ile de çalışıldı. Yine [Şekil 12(d)]'de gözlenen spektrum, [Şekil 12(e)]'deki, geniş bir sinyal ve [Şekil 12(f)]'deki $v_Q = 503.2$ Hz ve $\Delta v_{1/2} = 48.7$ Hz olan bir triplet ayırtılabilir.

$(\text{I}^{4-}, \text{B}^{3+}, \text{Cs}^+)$ kompleksi ^{133}Cs NMR ($I=7/2$) ile incelemişinde ilgi uyandıracak şekilde, [Şekil 12(g)]'deki, gözlenen spektrumun her iki enantiomere karşılık gelen iki sinyal grubundan meydana getirilmiştir. Spektrum, biri küçük bir kuadropolar yarıılma sabitli ($v_{Q1} = 73.0$ Hz, $\Delta v_{1/2} = 25.0$ Hz) [Şekil 12(h)] ve biri büyük bir kuadropolar yarıılma sabitli ($v_{Q2} = 188.2$ Hz, $\Delta v_{1/2} = 28.7$ Hz) [Şekil 12(i)] iki septet olarak ayırtılabilir.

Yukarıda belirtildiği gibi, $(\text{I}^{4-}, \text{B}^{3+})$ 'nın NH₄⁺ gibi moleküller katyonları bağlama yeteneği, X-Ray çalışmasıyla önceden tayin edildi¹⁷. $(\text{I}^{4-}, \text{B}^{3+}, \text{NH}_4^+)$ kompleksi ^{10}B , ^{11}B ve ^{14}N NMR ile inceledi. ^{10}B NMR gözlemleri, $(\text{I}^{4-}, \text{B}^{3+}, \text{Cs}^+)$ kompleksi için elde edilenlere ($v_{Q1} = 120.0$ Hz, $\Delta v_{1/2} = 55.1$ Hz) benzerdi. Bununla birlikte ^{11}B için gözlenen spektrum, her iki enantiomere karşılık gelen $v_{Q1} = 66.7$ Hz, ve $v_{Q2} = 293.2$ Hz'deki aynı integrasyon değerli iki tripletin üst üste gelmesinin sonucu şeklinde gözlendi.

^{14}N NMR ($I=1$)'da muhtemelen iki köprübaşı azot atomu etrafındaki simetrik olmayan çevrenin oluşturduğu geniş kuadropol etkileşimlerden dolayı, amino grupları gözlenemedi. Bununla birlikte simetrik NH_4^+ substrati için 1/1 oranı ile [Şekil 12(k), Şekil 12(l)] iki doubletin üst üste binmesi sonucu [Şekil 12(j)]'deki sinyal gözlemebildi. Yine iki enantiomer, biri geniş ($\nu_{Q1}=128.7$ Hz, $\Delta\nu_{1/2}=18.0$ Hz) ve biri küçük ($\nu_{Q2}=30.7$ Hz, $\Delta\nu_{1/2}=6.0$ Hz) kuadropolar yarıılma sabiti ile farklandırıldı.

Her ne kadar kiral moleküllerin likit kristalin ortamda NMR çalışmasına dayanan enantiomeric farklandırması, Courtieu ve çalışma arkadaşları tarafından, hem reseptör hem de substrattaki NMR aktif çekirdekler uygundur, farklı NMR başlıklar kullanarak mükemmel bir şekilde gösterildi^{73,74}. Parçaların bir araya gelişisi ile oluşan kirallık, kompleks molekülün farklı yerlerindeki; NMR aktif çekirdeklerin ilk kez ölçülebilmesiyle mükemmel şekilde gösterilmiş oldu. Bu çalışmada gözlemlere dayanarak, katyonik tarafta gözlenen kiraliteyi, kavitenin peristatik kiralitesinin dolaylı ve spiroborat bağlanması sonucu olarak açıkladılar.



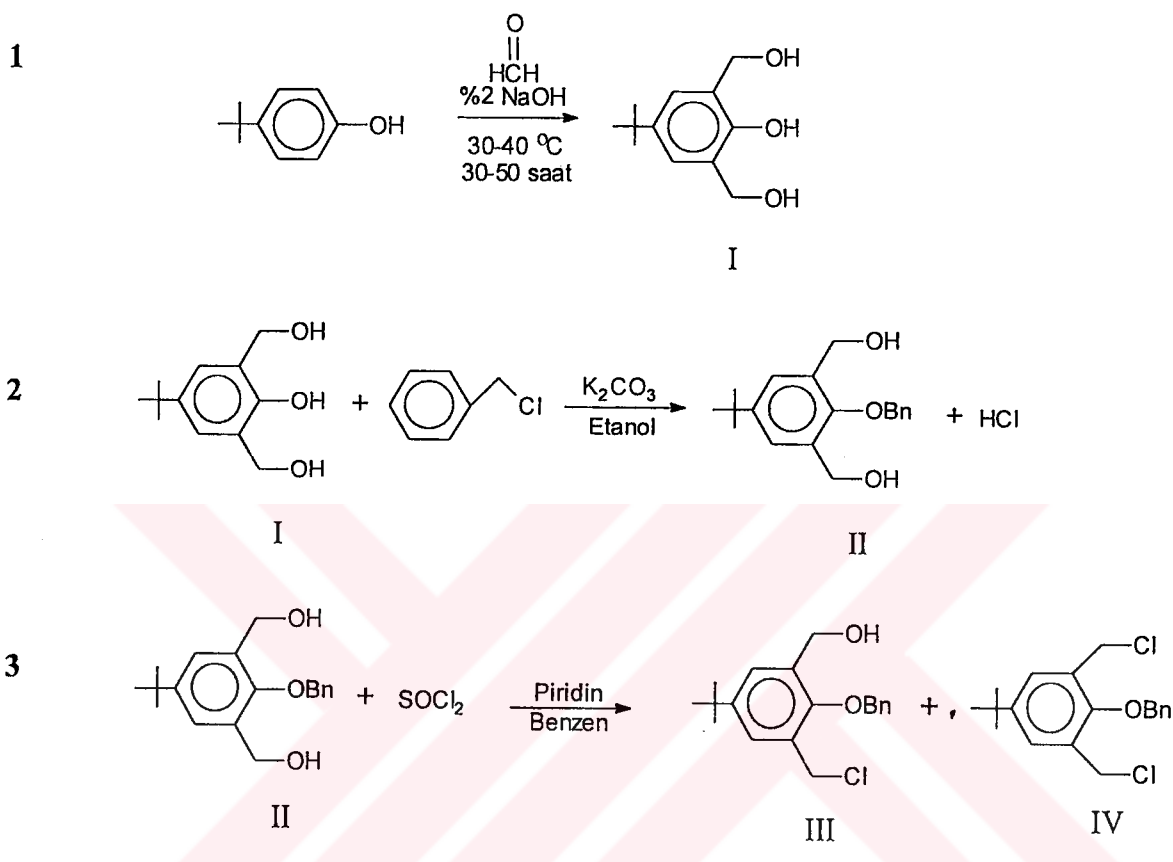
Şekil. 12. (I^4 ; B^{3+} , Cs^+) kompleksinin kiral sıvı kristal çözücü içindeki NMR spektrumları: ^{10}B (53.73 MHz) (a)'da; her iki enantiomer için ayrılmış sinyaller (b, c)'de gözlemedi; ^{11}B (160.42 MHz) (d)'de, her iki enantiomer için ayrılmış sinyaller (e, f)'de gözlemedi; ^{133}Cs (65.58 MHz) (g)'de, her iki enantiomer için ayrılmış sinyaller (h, i)'de gözlemedi; ^{14}N (36.12 MHz) (j)'de, her iki enantiomer için ayrılmış sinyaller (k, l)'de gözlemedi.

Sonuç

Doğal olarak oluşan boromycin ve aplasmomycin gibi antibiyotikler ve kriptandların yapısal özelliklerine dayanarak, borokriptand denilen, yeni bir abiyotik reseptör molekül sınıfının tasarımları yapıldı. Borokriptandların alkali metal katyonlarına karşı bağlanma yeteneği, çözeltide değişik NMR çalışmaları ile, katı halde X-ışınları difraksiyonu ile tespit edildi. Literatür bilgilerine göre, hem metanol içinde potasyum borokriptat için hesaplanan bağlanma sabiti yaklaşık $10^{12.5}$ molL⁻¹, ve hem de K⁺ ile Na⁺ ve Cs⁺ arasındaki selektivite faktörünün sırasıyla 10^3 ve 10^2 den daha büyük oluşu, yapay K⁺ reseptörü için, şimdije kadar elde deilen en yüksek değerlerdir. Aynı yol izlenerek, daha küçük bir makrosiklik birim kullanılmasıyla, borokriptandın kavitesinin ayarlanması üzerine, lityum seçici kompleksleşme maddesi elde edildi. İlaveten borokriptandların bağlama yeteneği, katyonik NH₄⁺ moleküllerinin moleküller tanınması için de genişletildi. CD₃OD içinde NH₄⁺ > Na⁺ > Cs⁺ izleyen seçicilik sırası tespit edildi. NH₄⁺ katılımlı borokriptat, [(222), NH₄⁺] kompleksinden en az üçüncü mertebeden büyülüklükte daha kararlı olduğu ortaya çıktı. Nihayet, sıvı kristalin ortamda NMR spektroskopisi kullanılarak, enantiomerik farklandırma, substrat ve reseptörün her ikisi üzerinde farklı NMR probu kullanılarak başarılı oldu. İlk defa gözlenen, substrattaki kiralite, kompleksleşmiş substrattaki kavitenin peristatik kiralitesi ile sağlanan ve reseptörün yapısının sonucu olduğu açıklandı.

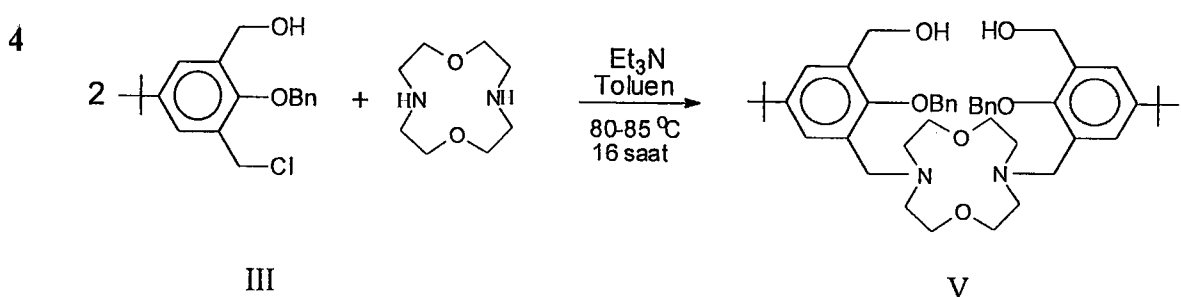
4. MATERİYAL VE METOT

Bu çalışmada, yeni bir yöntemle, önce kriptatlara başlangıç maddesi olacak saligenin yan kolu hazırlandı. Saligenin kolu üç basamakta aşağıda gösterildiği şekilde hazırlandı:

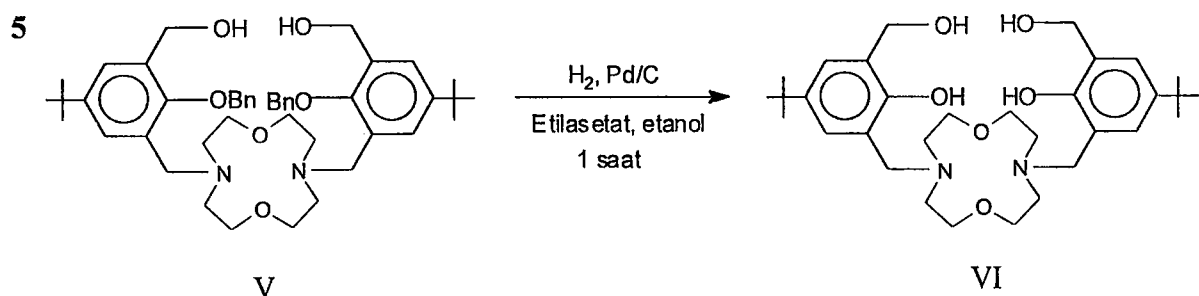


Göründüğü gibi üçüncü basamakta yan ürün olarak diklorlanmış bileşik de oluştu. İstenen ürün kolon kromatografisi ile silikajel üzerinde, petrol eteri:eter (2:1) ile saflaştırıldı. Hazırlanan bu saligenin kolu:

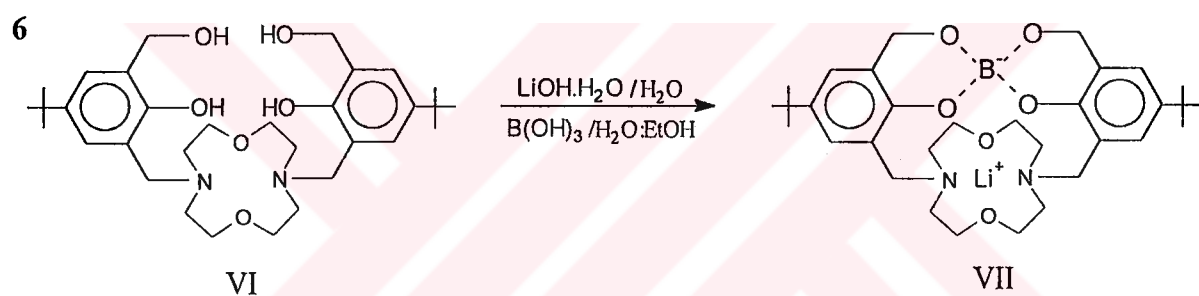
- A) 12-CR-4 bileşiğiyle, aşağıdaki reaksiyon denklemine göre etkileştirilerek benzillenmiş kriptand V sentezlendi.



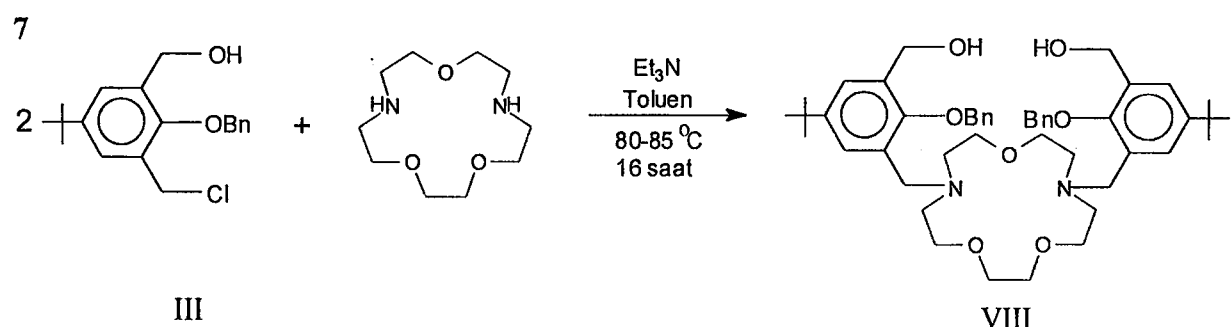
Sentezlenen benzillenmiş kriptand V'in, aşağıdaki reaksiyon denklemine göre Pd/C katalizörlüğünde hidrojenasyonu debenzillenmiş kriptand VI'yi verdi.



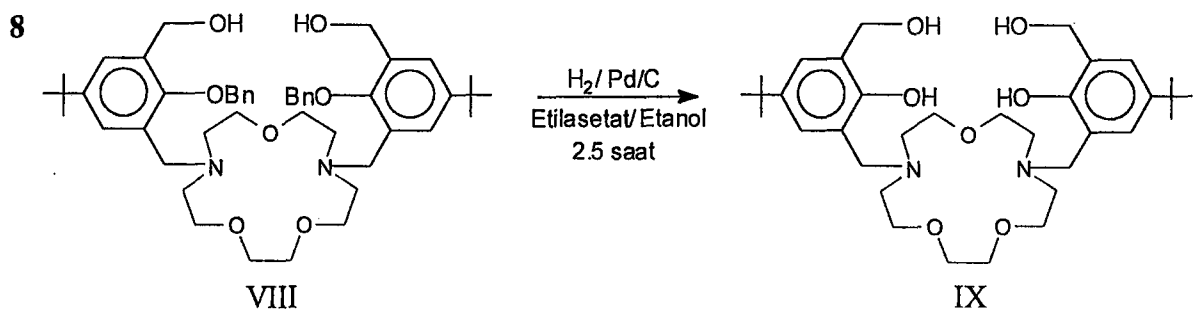
Sentezlenen debenzillenmiş kriptand, ekivalan LiOH.H₂O ve B(OH)₃ ile EtOH/H₂O içinde etkileştirilerek Li Borokriptat VII elde edildi.



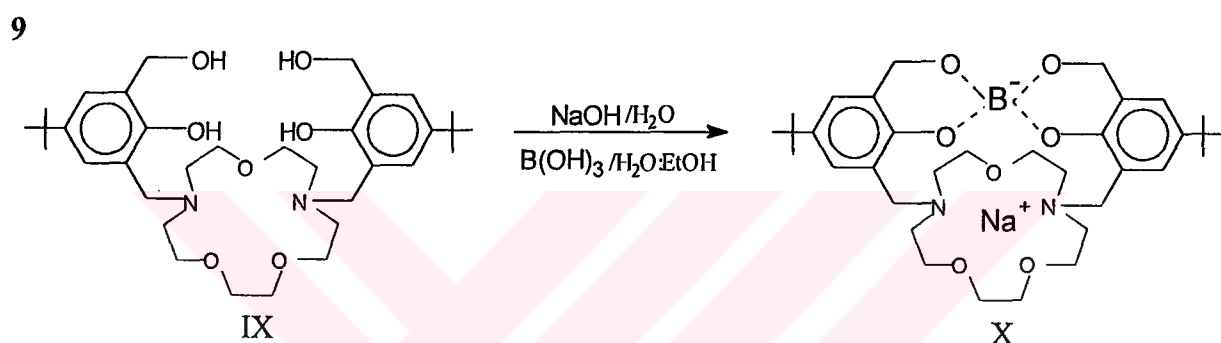
B) 15-CR-5 bileşigiyle, aşağıdaki reaksiyon denklemine göre etkileştirilerek benzillenmiş kriptand VIII sentezlendi.



Sentezlenen benzillenmiş kriptand VIII'in, aşağıdaki reaksiyon denklemine göre Pd/C katalizörlüğünde hidrojenasyonu, debenzillemiş kriptand IX'u verdi.



Sentezlenen debenzillenmiş kriptand IX, ekivalent NaOH ve B(OH)_3 ile EtOH/ H_2O içinde etkileştirilerek Na Borokriptat X elde edildi.



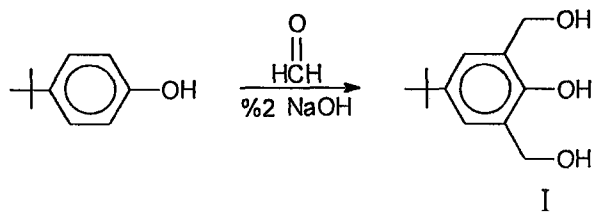
Sentezlenen bu bileşiklerin, IR, ^1H NMR, ^{13}C NMR, HETCOR spektrumları ve element analizleri ile yapıları aydınlatıldı.

Bu bileşiklere ait IR, ^1H NMR, ^{13}C NMR, HETCOR spektrumları, element analiz sonuçları, erime noktalarına ait değerler, bulgular kısmında verilmiştir. Ayrıca, bu bileşiklere ait IR, ^1H NMR, ^{13}C NMR, HETCOR spektrumları, spektrumlar kısmında verilmiştir.

Element analiz sonuçları CARLO-ERBA 1108 model cihazla, IR spektrumları MIDAC-FT IR 1700 marka cihazla, ^1H NMR spektrumları Bruker marka 400 MHz, ^{13}C NMR spektrumları Bruker marka 100 MHz NMR Spektrometreleriyle, erime noktaları GALLENKAMP MPD350 tipi cihazla alınmıştır.

5. BULGULAR:

5.1. 4-TERT-BÜTİL-2,6-DİHİDROKSİMETİL FENOL



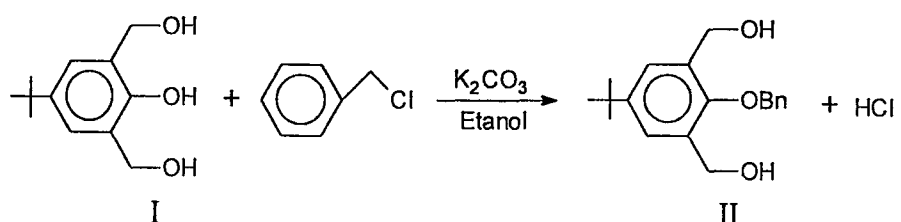
24 g 4-tert-bütilfenol (0.16 mol) ile %40'luk formaldehitten 24 g (0.32 mol) ve %2'lük NaOH'tan 320 g (0.16 mol) karıştırılır. 30-40 °C'ta 30-50 saat karıştırılır. Bu işlem bittikten sonra karışımı, 31.32 g %25'luk H₂SO₄ (0.16 mol) ilave edilir. Asit ilavesinden sonra viskoz yağimsı kahverengi madde ayrılır. Yağimsı madde eterle ekstrakte edilir (50 mL x 2). Eter fazı Na₂SO₄ üzerinden kurutulur, süzülür. Bulanık olana kadar petrol eteri ilave edilir. Sonra damla damla eter ile tekrar berraklaştırılır. Soğukta kristallendirilir. Ayrılan kristaller süzülür , kurutulur, gerekirse tekrar kristallendirilir.

E.N.=74 - 75 °C^{78,79}, elde edilen ürün 25.2 g olup verim %75'tir.

Kapalı formülü : C₁₂H₁₈O₃

IR (KBr) : 3401, 3308, 3068, 3034, 2956, 2874, 1606, 1486, 1463, 1363, 1264, 1216, 1064, 1011, 877 cm⁻¹.

5.2. 4-TERT-BÜTİL-2,6-DİHİDROKSİMETİL FENİL BENZİLETER



17 g triol I (0.081 mol), 11.18 g (0.08 mol) K_2CO_3 ile beraber iki boyunlu bir balona alınarak yeteri kadar mutlak etanolde çözülür. Daha sonra 10.24 g benzilklorür (0.081 mol) damlatma hunisinde damla damla ilave edilir. Damlatma bittikten sonra 18 saat geri soğutucu altında kaynatılır, süzülür ve süzüntüden, etanol evaporatörde buharlaştırılır. Kalan rezidü evaporatör balonundan eterle alınıp, bulanıncaya kadar damla damla petrol eteri ilavesiyle kristallendirilir.

E.N. = 98-100 °C olan ürün 17 g olup verim %70'tir.

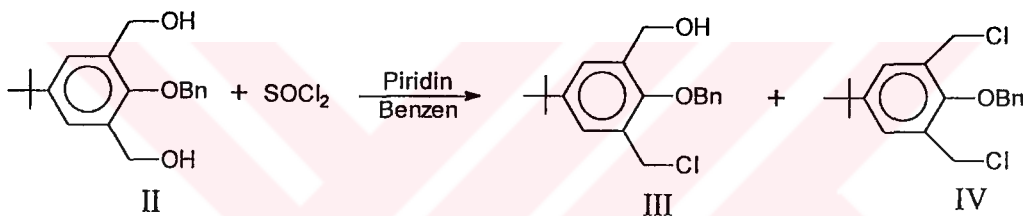
Kapalı formülü : C₁₉H₂₄O₃

Element Analiz Sonuçları

<u>Hesaplanan</u>		<u>Bulunan</u>	
<u>%C</u>	<u>%H</u>	<u>%C</u>	<u>%H</u>
75.97	8.05	77.13	8.48

IR (KBr) : 3551, 3460, 3275, 3063, 3034, 2950, 2903, 2865, 1606, 1482, 1454, 1381, 1361, 1301, 1240, 1199, 1118, 1062, 1011, 886, 739, 700 cm⁻¹.

5.3. 4-TERT-BÜTİL-2-HİDROKSİMETİL-6-KLOROMETİL FENİL BENZİLETER



16.75 g (0.056 mol) benzillenmiş diol II, vakumda iyice kurutulur. 350 mL mutlak benzende çözülerek 4.74 g (0.06 mol) piridinle balona alınır. Yukarıdaki karışımı 6.64 g (0.056 mol) SOCl₂ damla damla 3 saat içinde ilave edilir. 16 saat geri soğutucu altında kaynatılır; karışım soğutulur, dekante edilerek oluşan katıdan ayrılır. Çözelti (1.5 mL HCl + 25 mL saf su) ile ekstrakte edilir. Saf suyun pH sına gelene kadar saf su ile iyice yıkandıktan sonra Na₂SO₄ üzerinde kurutulur. Benzen uçurulup, ürün kolon kromatografî ile silika jel üzerinde, petrol eteri : eter (2:1) ile saflaştırılır. Kolonda önce, 4-tertbütil-2,6-klorometil fenil benzileter, sonra istenen, 4-tertbütil-2-hidroksimetil-6-klorometil fenil benzileter ele geçer. Bu ürün, eter-petrol eteri karışımında kristallendirilir.

E.N.= 77-77.5 °C olan ürün 9.4 olup verim %50'dir.

Kapalı formülü : C₁₉H₂₃O₂Cl

Element Analiz Sonuçları

<u>Hesaplanan</u>		<u>Bulunan</u>	
<u>%C</u>	<u>%H</u>	<u>%C</u>	<u>%H</u>
71.59	7.22	71.57	7.69

IR (KBr) : 3579, 3486, 3029, 2960, 2898, 2875, 1584, 1476, 1454, 1385, 1362, 1268, 1256, 1204, 1113, 979, 886, 733, 694, 633 cm⁻¹.

¹H NMR (CDCl₃) : δ 1.38 (s, 9H); 1.92 (bs, 1H); 4.71 (s, 2H); 4.74 (s, 2H); 5.07 (s, 2H); 7.44-7.53 (m, 7H).

¹³C NMR (CDCl₃): 31.81, 34.94, 41.85, 61.77, 77.39, 127.63, 128.24, 128.48, 128.82, 129.12, 130.90, 134.32, 137.40, 148.36, 153.29 ppm.

5.4. 4-TERT-BÜTİL-2,6-DİKLOROMETİL FENİL BENZİLETER

Yan ürün olarak ele geçen 4-tert-bütil-2,6-diklorometil fenil benzileterin;
E.N.= 80-82 °C

Kapalı formülü : C₁₉H₂₂OCl₂

Element Analiz Sonuçları

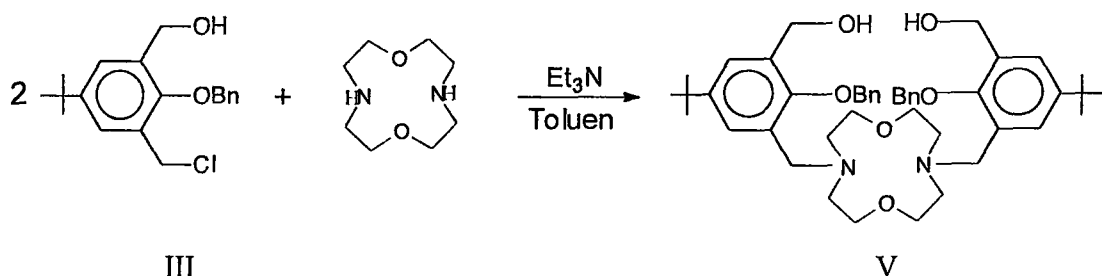
<u>Hesaplanan</u>		<u>Bulunan</u>	
<u>%C</u>	<u>%H</u>	<u>%C</u>	<u>%H</u>
67.66	6.53	67.44	6.70

IR (KBr) : 3095, 3068, 3038, 2964, 2867, 1500, 1481, 1465, 1455, 1381, 1364, 1270, 1210, 1108, 982, 891, 781, 696, 637 cm⁻¹.

¹H NMR (CDCl₃) : δ 1.38 (s, 9H); 4.69 (s, 4H); 5.14 (s, 2H); 7.28-7.58 (m, 7H).

¹³C NMR (CDCl₃): 31.73, 34.93, 41.72, 77.58, 128.40, 128.78, 129.09, 129.36, 131.32, 137.34, 148.53, 153.53 ppm.

5.5. BENZILLE KORUNMUŞ SALİGENİN YAN KOLLU DİAZA-12-CR-4 TÜREVİ



1 g diaza-12-CR-4 (0.00575 mol), 3.66 g (0.0115 mol) saligenin türevi III ve 5.81 g (0.0575 mol) Et₃N yeteri kadar (65 mL) toluende çözülerek iki boyunlu bir balonda, geri soğutucu altında yağ banyosu içinde 16 saat 80-85 °C'ta ısırılır. Reaksiyon bittikten sonra soğutulur, süzülür. Süzüntüdentoluen evaporatörle uzaklaştırılır. Katılan rezidü, kaynar etanolde çözülür, berraklaşincaya kadar damla damla benzen ilave edilir. Kristalleşen ürün yeniden etilasetatla çözülür. Kaynarken, buharlaşincaya kadar damla damla etanol ilave edilir.

Kristalleşen ürünün:

E.N.= 178-180 °C, ele geçen ürün 4.24 g olup verim kantitaftır.

Kapalı formülü : C₄₆H₆₂N₂O₆

Element Analiz Sonuçları

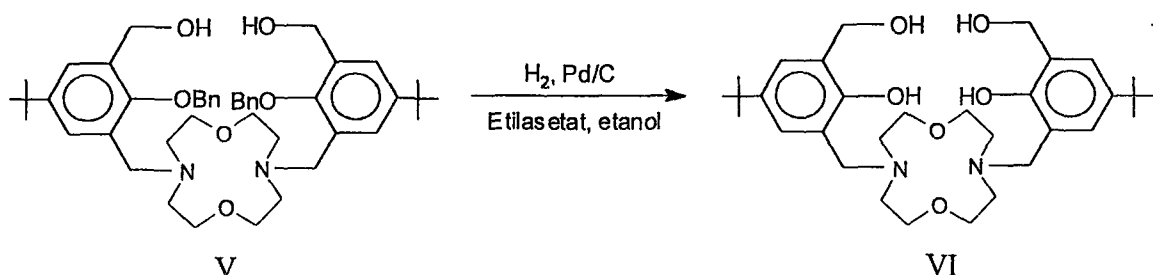
<u>Hesaplanan</u>			<u>Bulunan</u>		
<u>%C</u>	<u>%H</u>	<u>%N</u>	<u>%C</u>	<u>%H</u>	<u>%N</u>
74.80	8.40	3.79	74.80	8.66	3.82

IR (KBr) : 3410, 3089, 3029, 2952, 2864, 2803, 1497, 1480, 1453, 1361, 1297, 1279, 1196, 1115, 1025, 880, 739, 695 cm^{-1} .

¹H NMR (CDCl₃) : δ 1.26 (s, 18H); 1.76 (bs, 2H); 3.53 (t, J= 4.54 Hz, 8H); 3.68 (s, 4H); 4.50 (t, J= 4.50 Hz, 8H); 4.62 (s, 4H); 4.86 (s, 4H); 7.19-7.52 (m, 14H) ppm.

¹³C NMR (CDCl₃): 31.89, 34.88, 55.63, 55.79, 62.29, 69.78, 76.81, 125.38, 128.26, 128.31, 128.54, 129.00, 133.55, 137.82, 147.52, 153.70 ppm.

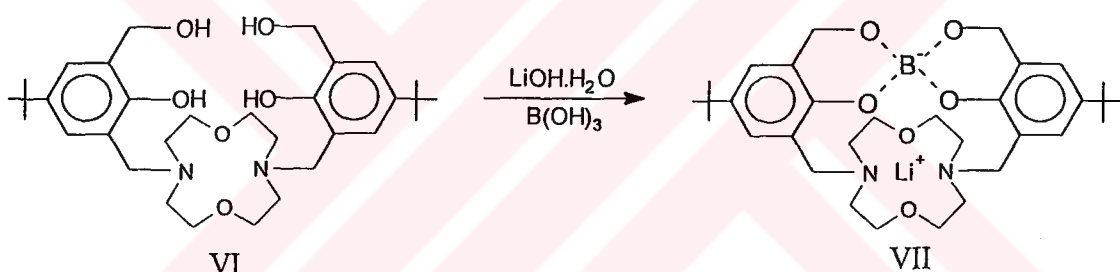
5.6. SALİGENİN YAN KOLLU DJAZA-12-CR-4 TÜREVİ



1.5 g (0.002 mol) benzillenmiş kriptand (V), 40 mL etilasetatta çözülür. 0.25 g Pd/C etilasetatla uygun bir balona alınır. Karıştırılırken 1 saat süreyle H₂ gazı geçirilir. Reaksiyon durdurulup, süzülür. Çözücü evaporatörde uzaklaştırılır. Yağımışı olan ürün 1.13 g olup verim kantitatiftir.

Kapalı formülü : C₃₂H₅₀N₂O₆

5.7. SALİGENİN YAN KOLLU ULTYUM BOROKRIPTAT



1.13 g ligand (2.03×10^{-3} mol) yeteri kadar etanolde çözülür. 0.085 g (2.03×10^{-3} mol) suda çözülmüş LiOH.H₂O liganda ilave edilir. Daha sonra 0.126 g (2.03×10^{-3} mol) su-ethanol karışımında çözülmüş B(OH)₃, yukarıdaki karışımın üzerine ilave edilir. Hemen çöken kompleks, süzülüp (CH₂Cl₂: iPr-eter) karışımında kristallendirilir. Ele geçen ürünün E.N.= 200 °C'tan başlayan ve 300 °C'a kadar devam eden bozulma, ele geçen ürün 1.16 g olup verim %99'dur.

Kapalı formülü : C₃₂H₄₆N₂O₆BLi

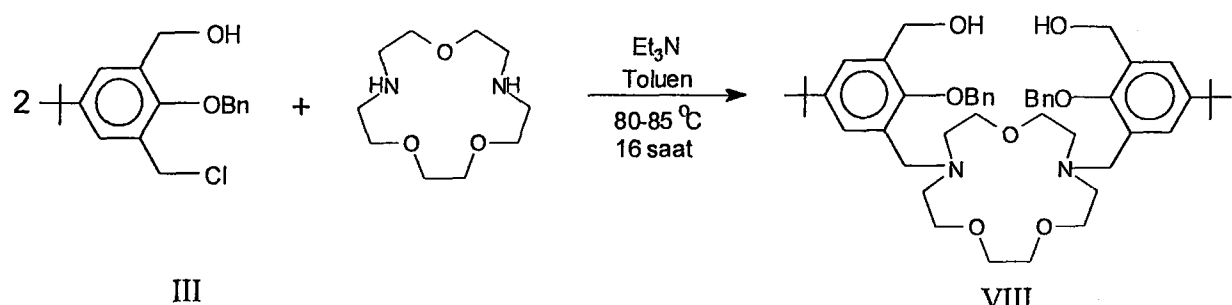
IR (KBr) : 3423, 2960, 2925, 2874, 2820, 1611, 1485, 1458, 1352, 1262, 1221, 1102, 1024, 997, 957, 924, 875, 837, 784, 550 cm^{-1}

¹H NMR (CDCl₃): δ 1.25 (s, 18H); 2.07-2.11 (m, 4H); 2.98-3.10 (m, 4H); 3.23-3.28 (m, 4H); 3.565 (dd, 4H); 3.72 (td, 2H); 4.24 (t, J= 11.34 Hz, 2H); 4.84 (dd, 4H); 6.87 (dd, 4H) ppm.

¹³C NMR (CDCl₃): 31.28, 33.36, 49.76, 50.22, 57.03, 61.35, 65.02, 66.08, 121.47, 121.86, 125.07, 125.21, 139.37, 151.41 ppm.

Not: Protonların identifikasiyonu HETCOR spektrumuyla aydınlatılmıştır.

5.8. BENZİLLE KORUNMUS SALİGENİN YAN KOLLU DİAZA-15-CR-5 TÜREVİ

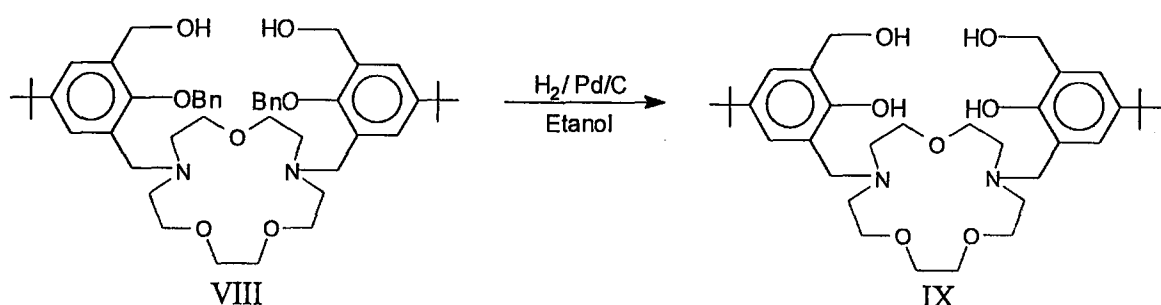


1 g (0.0045871 mol) Diaza-15-CR-5, 2.922 g (0.0091742 mol) saligenin türevi (III) ve 4.64 g (0.045871 mol) Et₃N yeteri kadar toluende (75mL) çözülerek iki boyunlu bir balonda, geri soğutucu altında, yağ banyosu içerisinde 16 saat 80-85 °C'ta ıstırılır. Reaksiyon bittikten sonra balon soğutulur, karışım süzülür ve süzüntüden toluen, evaporatörle uzaklaştırılır. Ele geçen 3.26 g ürün yağımı olup, ürünün verimi %91'dir.

Not: Ürün doğrudan debenzilasyonda kullanıldı.

Kapalı formülü : C₄₈H₆₆N₂O₇

5.9. SALİGENİN YAN KOLLU DİAZA-15-CR-5 TÜREVİ



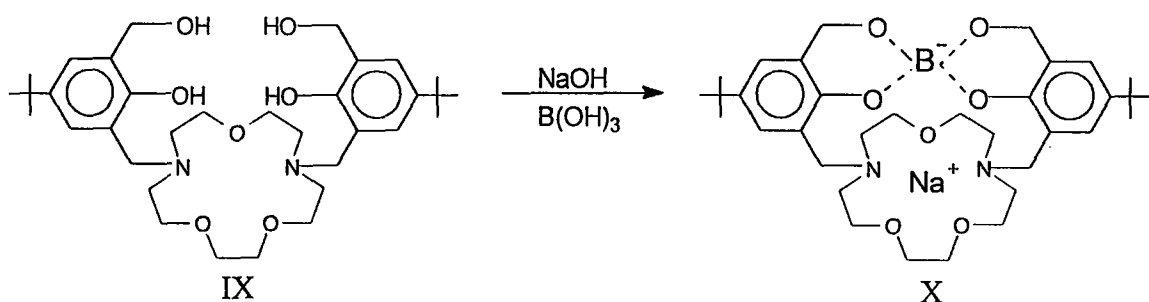
3.26 g ligand (VIII), 0.25 g Pd/C ile beraber 80mL etanol + etilasetat karışımıyla uygun bir balona alınır. 2.5 saat süreyle H₂ gazı geçirilir. Reaksiyon durdurulup, süzülür. Çözücü evaporatörde uzaklaştırılır. Yağımış olan ürün 2.51 g olup, verim kantitatiftir.

Kapalı formülü : C₃₄H₅₄N₂O₇

¹H NMR (CDCl₃) : δ 1.16 (s, 18H); 2.65-2.75 (m, 8H); 3.46-3.67 (m, 16H); 4.56 (s, 4H); 4.66 (bs, 4H); 7.075 (dd, 4H) ppm.

¹³C NMR (CDCl₃): 18.40, 31.87, 34.21, 54.55, 54.67, 57.77, 59.74, 61.98, 68.50, 69.11, 70.77, 121.84, 125.00, 125.18, 127.45, 141.77, 153.65 ppm.

5.10. SALİGENİN YAN KOLLU SODYUM BOROKRIPTAT



2.51 g (0.00417 mol) ligand (IX) etanolde çözülür. 0.17 g (0.00417 mol) suda çözülmüş NaOH liganda ilave edilir. Daha sonra 0.26 g (0.00417 mol) su-etanol karışımında çözülmüş B(OH)₃ yukarıdaki karışımı ilave edilir. Çöken kompleks metanolde kristallendirilir. E.N.= 200 °C'tan başlayan ve 300 °C'a kadar devam eden bozulma. Ele geçen ürün 2.6 g olup verim %99'dur.

Kapalı formülü : C₃₄H₅₀N₂O₇BNa

IR (KBr) : 3384, 2952, 2870, 2825, 1613, 1485, 1365, 1281, 1263, 1219, 1112, 1040, 1007, 935, 884, 791, 643, 620 cm⁻¹.

¹H NMR (CDCl₃) : δ 1.24 (s, 9H); 1.27 (s, 9H); 2.33-3.03 (m, 8H); 3.28-4.12 (m, 12H); 3.52 (dd, 2H); 3.55 (dd, 2H); 4.78 (dd, 2H); 5.00 (dd, 2H); 6.87 (dd, 4H) ppm.

¹³C NMR (CDCl₃): 32.11, 34.12, 34.15, 50.79, 53.71, 54.85, 55.57, 58.18, 58.51, 61.38, 62.81, 63.62, 67.18, 68.28, 68.40, 68.76, 69.05, 69.20, 121.95, 122.05, 123.63, 125.03, 125.32, 125.38, 125.87, 126.92, 139.53, 139.69, 152.78, 152.90 ppm.

Not: Protonların identifikasiyonu HETCOR spektrumuyla aydınlatılmıştır.

6. SONUÇ VE TARTIŞMA

Binükleer ligand olarak, iki yeni diaza-CR-eter bileşiği sentezlenmiştir. Ligandın ve borokriptatin ^1H NMR spektrumlarında, özellikle benzilik protonların kimyasal kayma ve kapling sabitlerindeki çarpıcı değişiklikler, literatürle uyumlu olmuştur. Protonların identifikasiyonu HETCOR spektrumlarının alınmasıyla sağlandı.

Çalışmanın ilk aşamasında, katekol yan kollu ligandların hava oksidasyonu sonucu, dayanıksız oluşlarından²⁹; yeni yan kol geliştirilmesi için çalışma yapılmıştır.

Bor ekstraksiyonunda saligenin türevleri kullanılır, bu yapının bor için iyi bir şelatlayıcı oluşu, bizi yan kol olarak saligenin türevleri kullanılması düşüncesine götürmüştür. Ayrıca bu yapıların hava oksidasyonuna karşı kararlı şelatlayıcı özelliklere sahip oldukları, yine literatürden tespit edilmiştir^{79,80}.

Bu amaçla yan kol olarak, saligenin metilen klorür yapıları üç basamakta sentezlenmiştir. Literatürde katekol türevi yan kolların dört basamakta sentezlendiği düşünülürse, bu bakımdan da saligenini yan kol olarak kullanma düşüncemiz isabetli olmuştur.

Hazırlanan saligenin yan kollu diaza-12-CR-4 ligandi ile, Li-borokriptat bileşiği sentezlendi. Benzer şekilde saligenin diaza-15-CR-5 ligandi ile de Na-borokriptat bileşiği sentezlenmiştir.

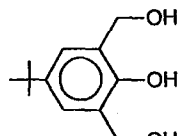
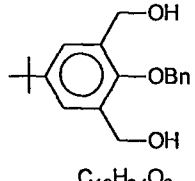
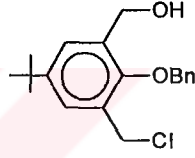
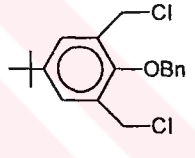
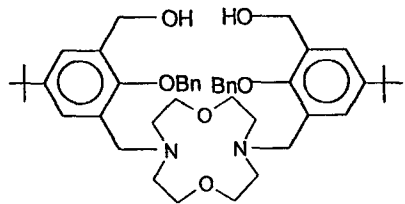
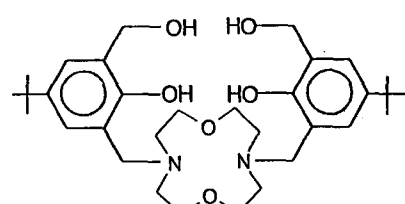
Benzil korunmuş saligenin 12-CR-4 ligandının yapısı ayrıca X-Ray analiz tekniğiyle aydınlatılmıştır. Metal borokriptatların X-Ray analizleri için elverişli single kristal elde edilemediğinden, bunların X-Ray analizleri yapılamamıştır. Ayrıca ^{23}Na ve ^{11}B NMR ile yapı analizleri yapılamamıştır.

Metal borokriptatların metal seçiciliği ile ilgili NMR deneyleri, bu tezin çalışma kapsamı dışında tutulmuştur.



TABLolar

Tablo 1: Sentezlenen saligenin türevleriyle saligenin yan kollu kriptand ve kriptatlar

<u>Bileşik No.</u>	<u>Bileşiğin Adı</u>	<u>Bileşiğin Açık ve Kapalı Formülü</u>
I	4-tert-bütil-2,6-dihidroksimetilfenol	 C ₁₂ H ₁₈ O ₃
II	4-tert-bütil-2,6-dihidroksimetilfenil benzil eter	 C ₁₉ H ₂₄ O ₃
III	4-tert-bütil-2-hidroksimetil-6-klorometil fenil benzil eter	 C ₁₉ H ₂₃ O ₂ Cl
IV	4-tert-bütil-2,6-diklorometil fenil benzil eter	 C ₁₉ H ₂₂ OCl ₂
V	Benzille korunmuş saligenin yan kollu diaza 12-CR-4 türevi	 C ₄₆ H ₆₂ N ₂ O ₆
VI	Saligenin yan kollu diaza 12-CR-4 türevi	 C ₃₂ H ₅₀ N ₂ O ₆

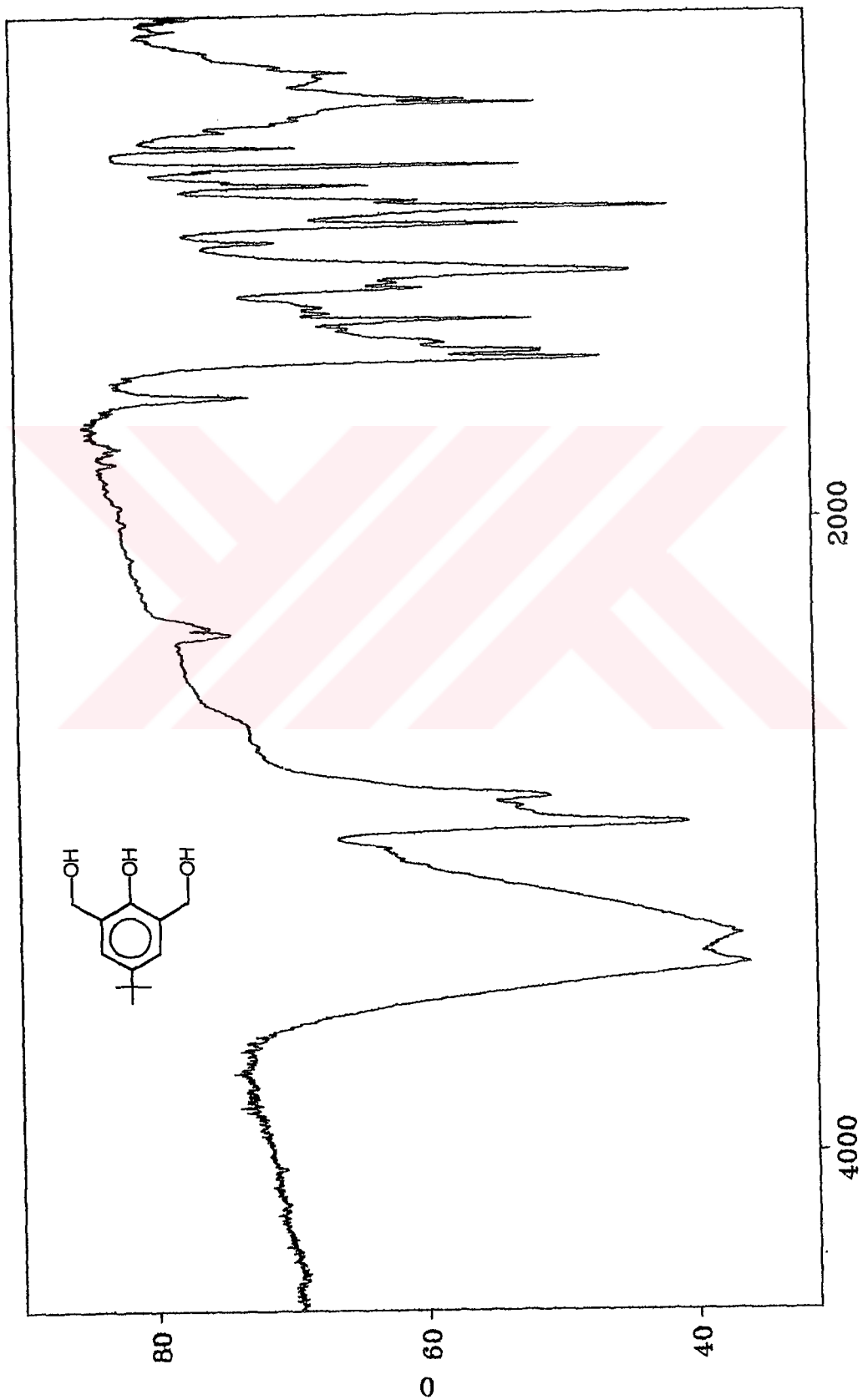
<u>Bileşik No.</u>	<u>Bileşiğin Adı</u>	<u>Bileşiğin Açıktır ve Kapalıdır Formülü</u>
VII	Saligenin yan kollu lityum borokriptat	<p><chem>C32H46N2O8BLi</chem></p>
VIII	Benzille korunmuş saligenin yan kollu diaza 15-CR-5 türevi	<p><chem>C48H66N2O7</chem></p>
IX	Saligenin yan kollu diaza 15-CR-5 türevi	<p><chem>C34H54N2O7</chem></p>
X	Saligenin yan kollu sodyum borokriptat	<p><chem>C34H50N2O7BNa</chem></p>

Tablo 2: Sentezlenen saligenin türevleriyle saligenin yan kollu kriptand ve kriptatların verimleri ve erime noktaları

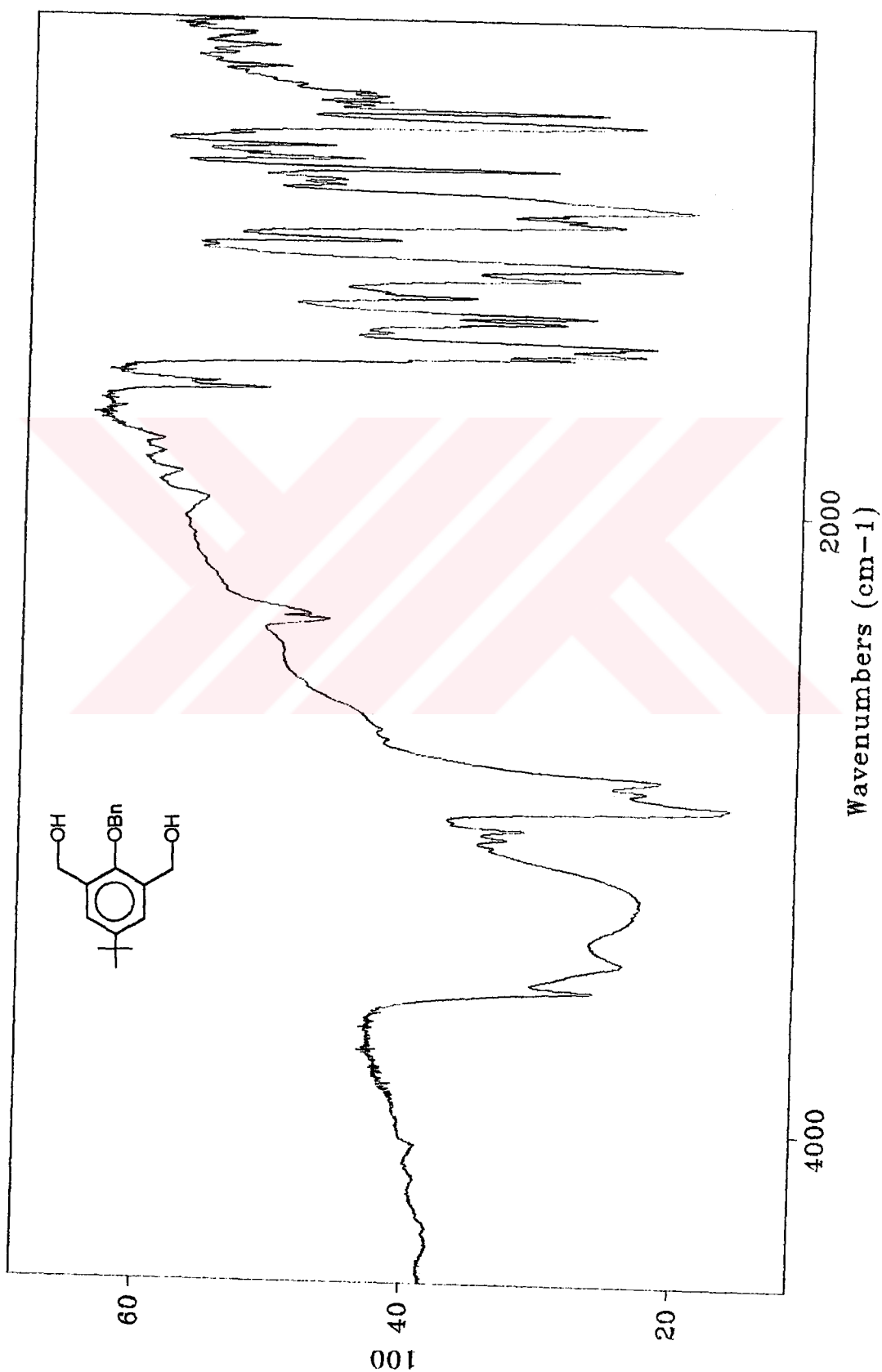
<u>Bileşik No.</u>	<u>Kapalı Formül</u>	<u>Verim (%)</u>	<u>Erime Noktası °C</u>
I	C ₁₂ H ₁₈ O ₃	75	75 - 75.5
II	C ₁₉ H ₂₄ O ₃	70	98 – 100
III	C ₁₉ H ₂₃ O ₂ Cl	50	77 – 77.5
IV	C ₁₉ H ₂₂ OCl ₂		80 – 82
V	C ₄₆ H ₆₂ N ₂ O ₆	100	178 – 180
VI	C ₃₂ H ₅₀ N ₂ O ₆	100	Yağımsı
VII	C ₃₂ H ₄₆ N ₂ O ₆ BLi	99	200'den başlayan bozunma
VIII	C ₄₈ H ₆₆ N ₂ O ₇	91	Yağımsı
IX	C ₃₄ H ₅₄ N ₂ O ₇	100	Yağımsı
X	C ₃₄ H ₅₀ N ₂ O ₇ BNa	99	200'den başlayan bozunma



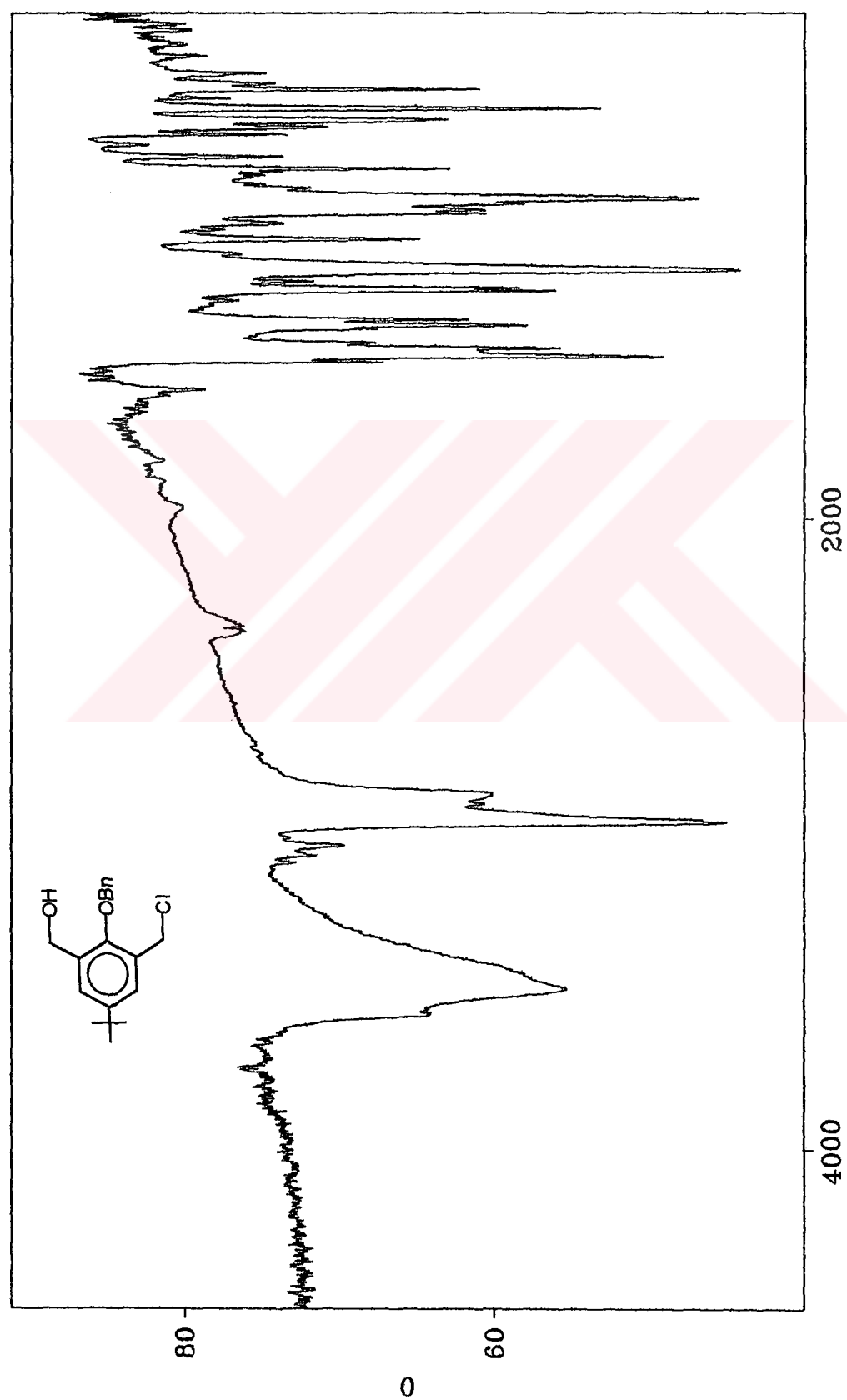
SPEKTRUMLAR



4-tert-butyl-2,6-dihydroxymethyl fenol'ün KBr pellet teknigi ile alinmis IR spektrumu



4-tert-bütil-2,6-dihidroksimetil fenil benzileter'in KBr pellet teknigi ile alınmış IR spektrumu



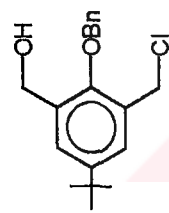
4-tert-bütil-2-hidroksimetil-6-klorometil fenil benzileter'in KBr pellet teknigi ile alınmış IR spektrumu.

Current Data Parameters
 NAME 990411 4
 EXPNO 1
 PROCNQ

F2 - Acquisition Parameters

Date 990607
 Time 12.52
 INSTRUM spect
 PROBHD 5 mm QNP 1H
 PULPROG zg30
 TD 32768
 SOLVENT CDCl3
 NS 12
 DS 2
 SWH 5307.855 Hz
 FIDRES 0.161983 Hz
 AQ 3.0867956 sec
 RG 71.8
 DW 94.200 usec
 DE 4.50 usec
 TE 300.0 K
 D1 1.0000000 sec
 P1 9.55 usec
 DE 4.50 usec
 SF 400.1323881 MHz
 NUC1 1H
 PL1 -6.00 dB

36



1885.70
 1897.65
 2027.44

2976.68
 2979.77
 2982.19
 2983.84
 2984.23
 3013.23

Hz

F2 - Processing parameters

SI 16384
 SF 400.1300000 MHz
 WDW EM
 SSB 0
 LB 0.30 Hz
 GB 0
 PC 1.00

1D NMR plot parameters

CX 22.00 cm
 F1P 8.549 ppm
 F1 3420.61 Hz
 F2P -0.186 ppm
 F2 -74.62 Hz
 PPMCM 0.39706 ppm/
 HZCM 158.87411 Hz/c

4-tert-büüt-2-hidroksimetil-6-klorometil fenil benzileter'in CDCl₃ içinde, BRUKER
 marka 400 MHz cihazla alınmış ¹H NMR spektrumu.



Current Data Parameters	
NAME	990411
EXPNO	3
PROCNO	1

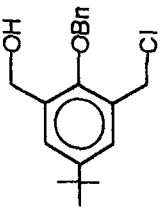
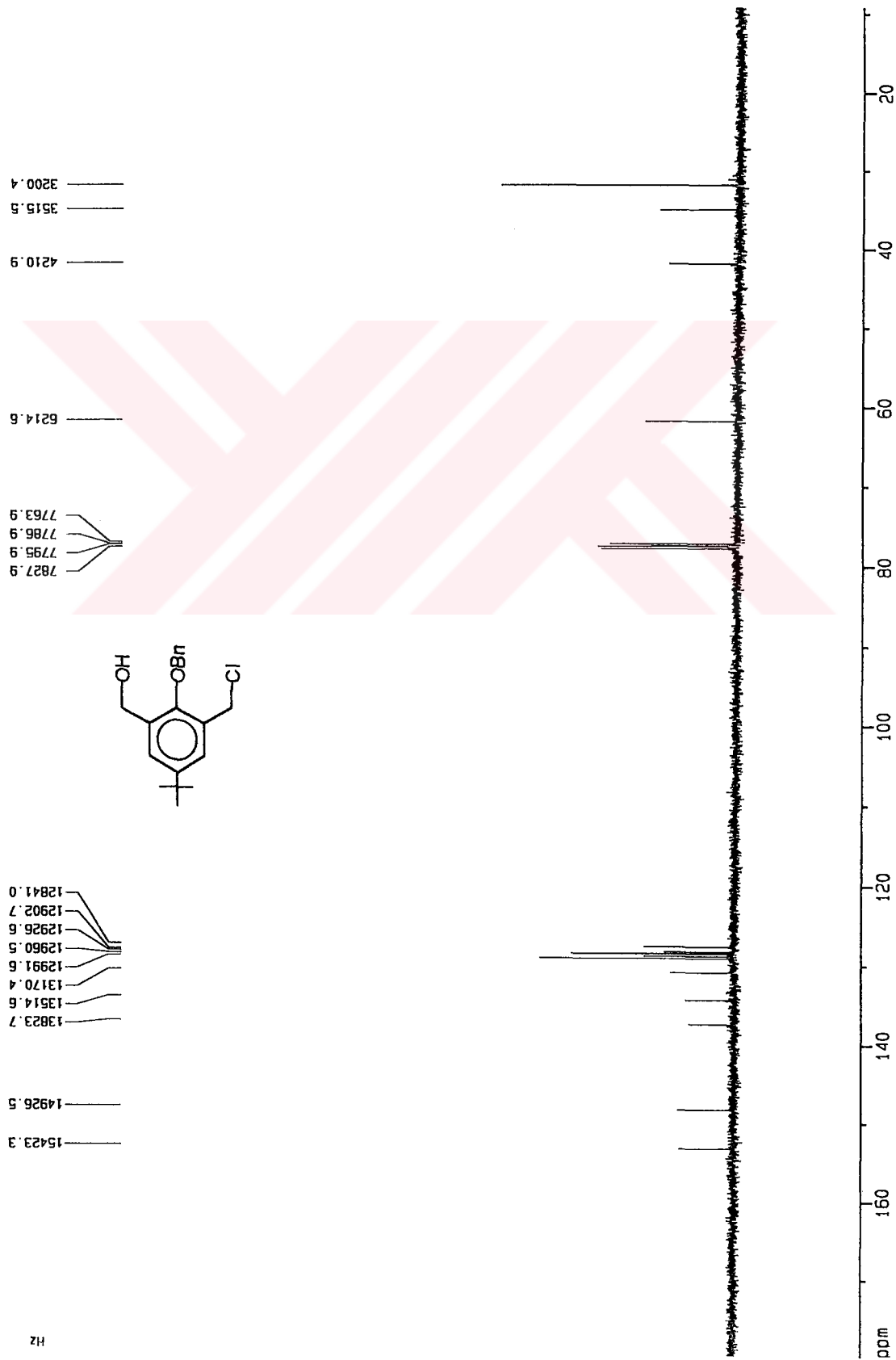
F2 - Acquisition Parameters
Date 990607

11.17	2	31847.133 Hz
spect		0.085549 Hz
5 mm QNP	1H	1.0389852 sec
zg9930		2048
65536		15.700 usec
CDC13		5.00 usec
1000		300.0 K
		0.000002000 sec
		15.30 dB
		2.00000000 sec
		#411216
		80.00 usec
		400.1316005 MHz

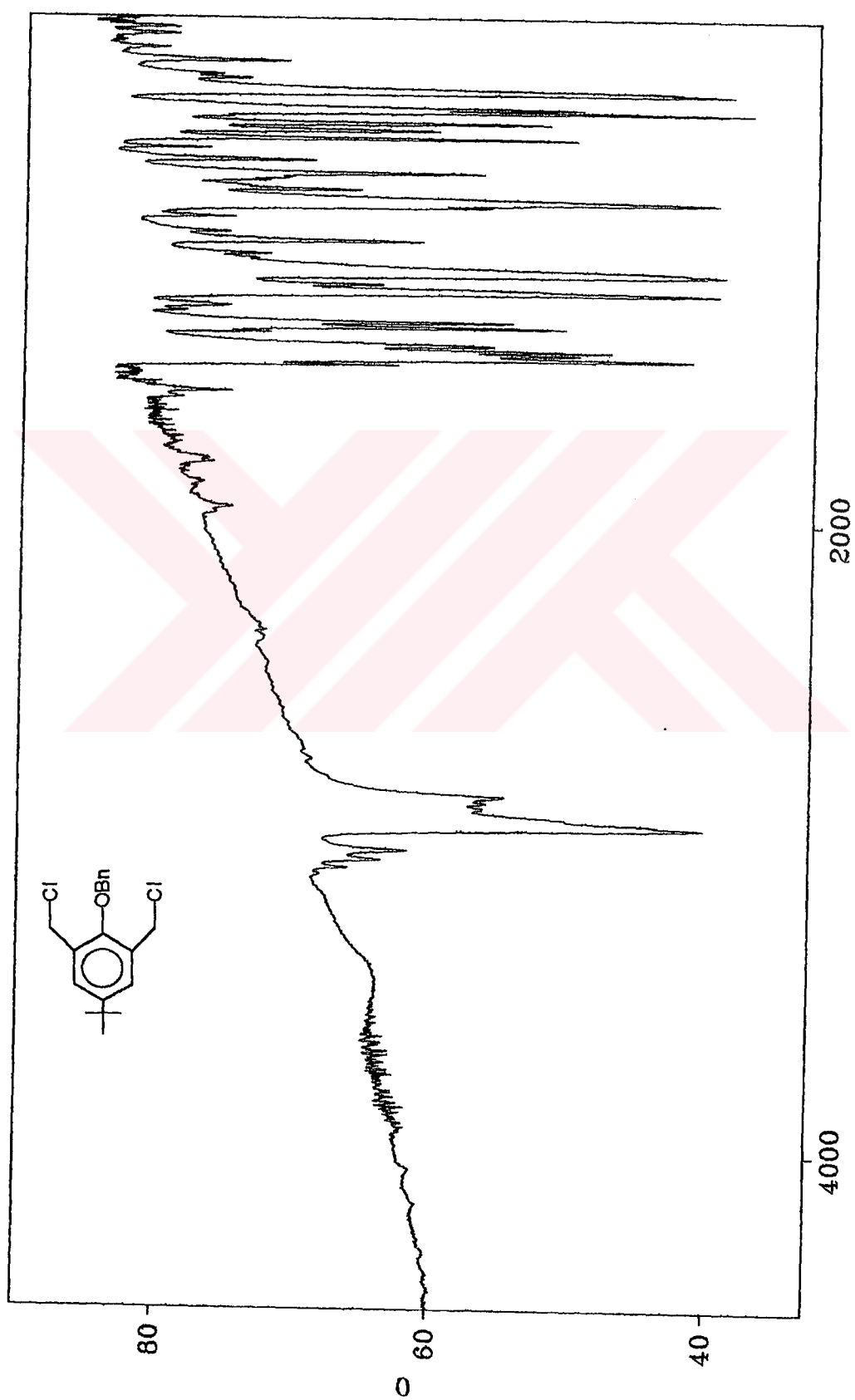
NUC2	PL2	PL12	P1	DE	SF01	100.9259358 MHz	
1H						13C	
	-6.00	dB				-6.00	dB
	15.30	dB				0.00000000	sec
	6.60	usec				0.11	
	6.00	usec					

F2 - Processing parameters
 SI 32768
 SF 100.6127290 MHz
 EW

	cm
SSB	0
LB	1.00
GB	0
PC	1.40

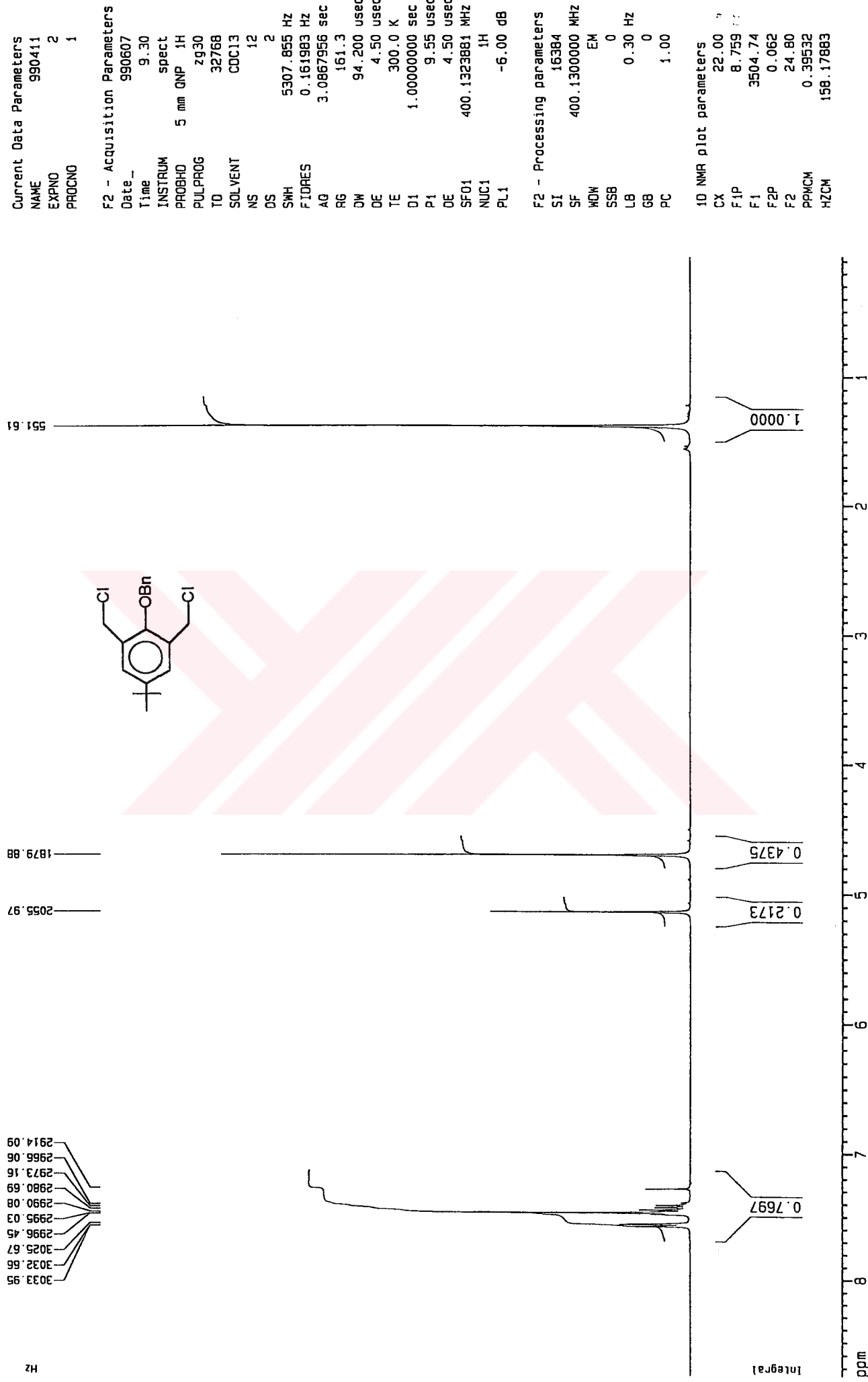


4-tert-bütil-2-hidroksimetil-6-klorometil fenil benzileter'in CDCl_3 içinde, BRUKER marka 100 MHz cihazla alınmış ^{13}C NMR spektrumu.



4-tert-butyl-2,6-diklorometil fenil benzileter'in KBr pellet teknigi ile alınmış IR spektrumu.

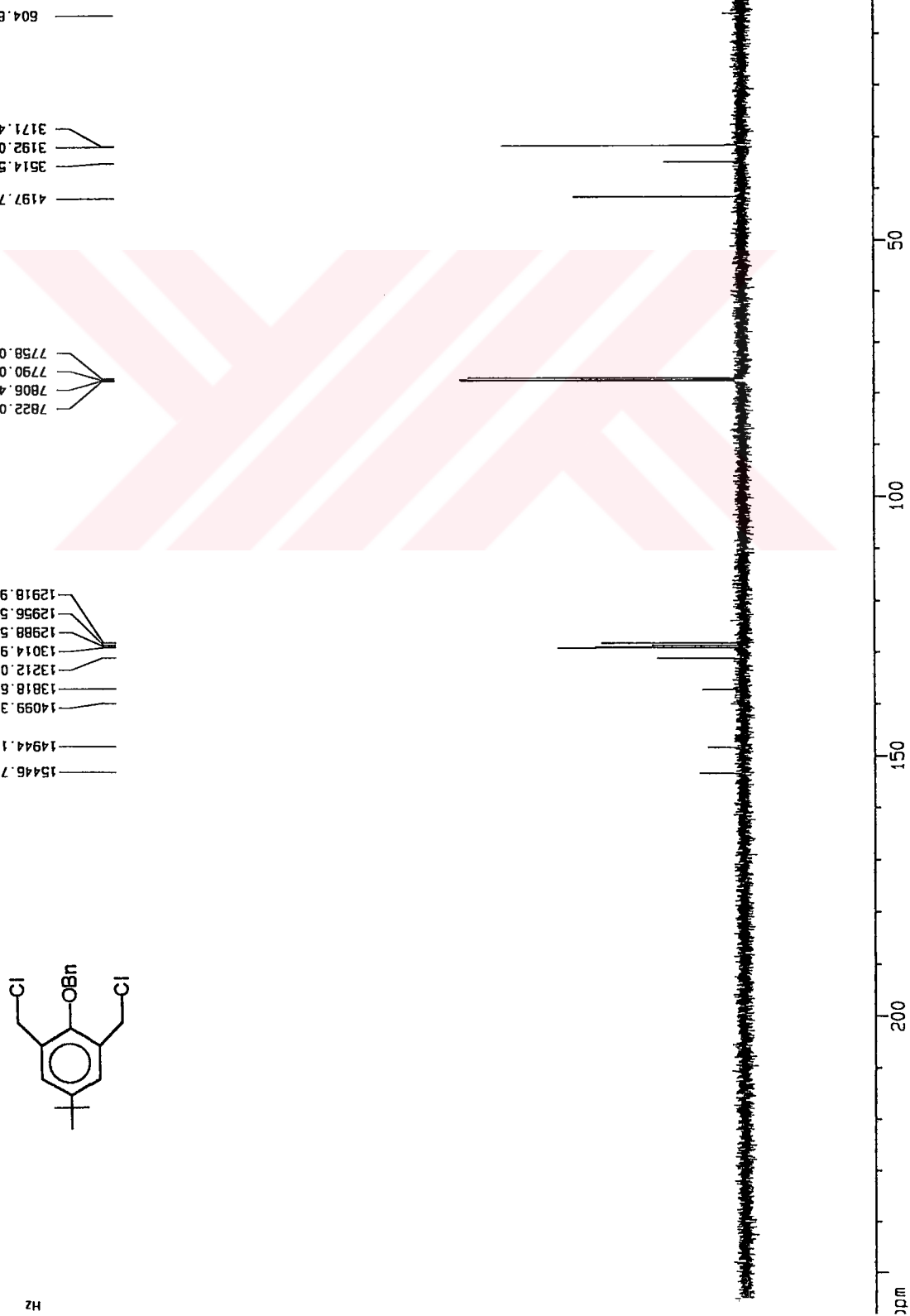
4-tert-bütil-2,6-diklorometil fenil benzileter'in CDCl_3 içinde, BRUKER marka 400 MHz cihazla alınmış ^1H NMR spektrumu.



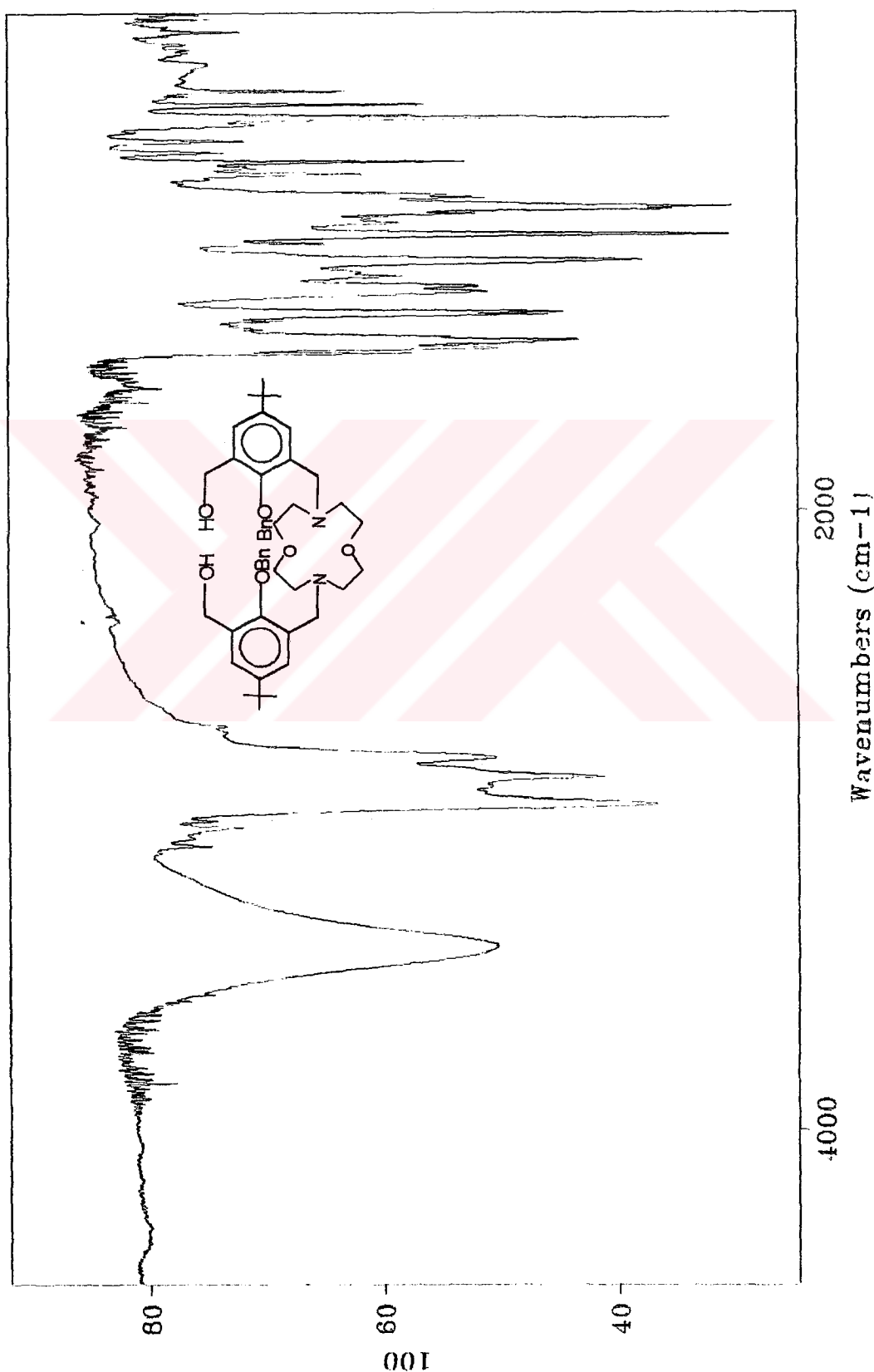
Current Data Parameters
 NAME 990411
 EXPNO 1
 PROCNO 1

F2 - Acquisition Parameters
 Date_ 990607
 Time 11.13
 INSTRUM spect
 PROBHD 5 mm QNP 1H
 PULPROG zgpg30
 TD 65536
 SOLVENT CDCl₃
 NS 1867
 DS 2
 SWH 3187.133 Hz
 FIDRES 0.485949 Hz
 AQ 1.0289652 sec
 RG 2048
 DW 15.700 usec
 DE 6.00 usec
 TE 300.0 K
 D1 0.00000200 sec
 PL13 15.30 dB
 J1 2.0000000 sec
 CPDPG2 80.00 usec
 PCP02 400.1316005 MHz
 NUC2 1H
 PL2 -6.00 dB
 PL12 15.30 dB
 P1 6.60 usec
 DE 6.00 usec
 SF01 100.6254338 MHz
 NUC1 13C
 PL1 -6.00 dB
 D1 0.03000000 sec
 0

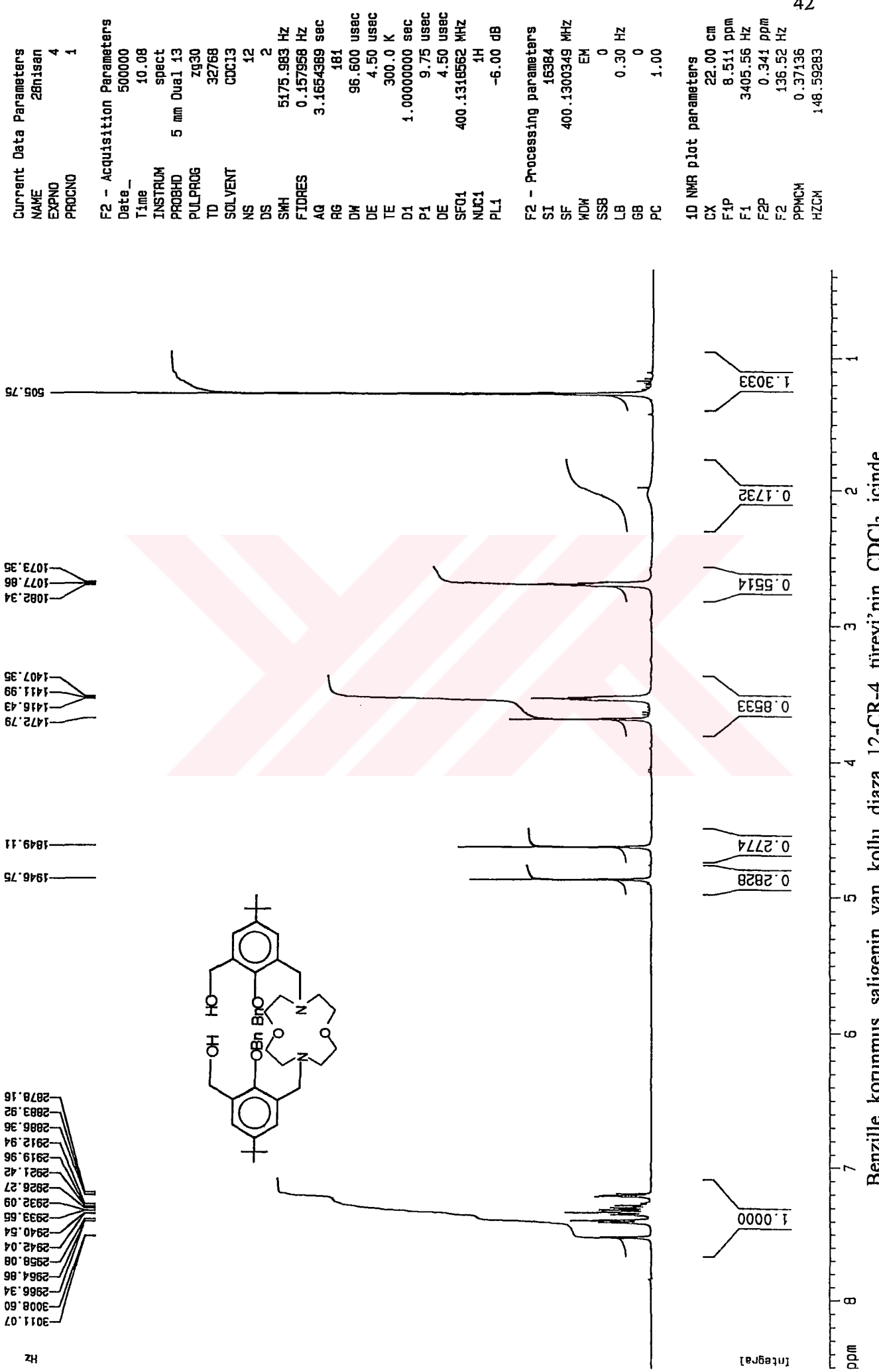
10 NMR plot parameters
 CX 22.00 cm
 F1P 259.018 ppm
 F1 26060.55 Hz
 F2P -8.255 ppm
 F2 -830.55 Hz
 PPMCM 12.14879 ppm/cm
 HZCM 1222.32251 Hz/cm



4-tert-butyl-2,6-diklorometil fenil benzileter'in CDCl₃ içinde, BRUKER marka 100 MHz cihazla alınmış ¹³C NMR spektrumu.

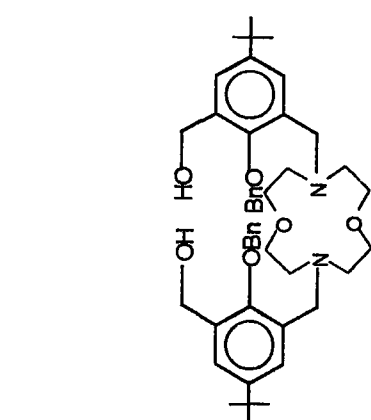


Benzille korunmuş saligenin yan kolu diaza 12-CR-4 türevi'nin KBr pellet teknigi ile alınmış IR spektrumu.



Benzile korunmuş saligenin yan kollu diaza 12-CR-4 türü'nin CDCl_3 içinde,

Bes-H



1849.11

1946.75

1082.34
1077.86
1073.35
1407.35
1411.99
1416.43
1472.79

Current Data Parameters
NAME 28nissan 4
EXPNO 1
PROCNO 1

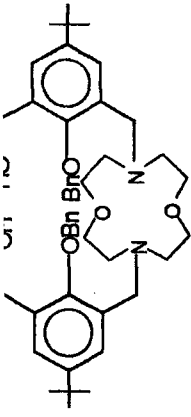
F2 - Acquisition Parameters
Date 500000
Time 10.08
INSTRUM spect
PROBHD 5 mm Dual1 13
PULPROG 32768
TD 32768
SOLVENT CDCl3
NS 12
DS 2
SWH 5175.983 Hz
ETDRES 0.157958 Hz
AQ 3.1654389 sec
RG 181
DW 96.800 usec
DE 4.50 usec
TE 300.0 K
C1 1.0000000 sec
P1 9.75 usec
OE 4.50 usec
SF01 400.1318862 MHz
NUC1 1H
PL1 -6.00 dB

F2 - Processing parameters
SI 16384
SF 400.1300349 MHz
WDW EM
SSB 0
LB 0.30 Hz
GB 0
PC 1.00

1D NMR plot parameters
CX 22.00 cm
F1P 5.082 ppm
F1 2033.65 Hz
F2P 2.423 ppm
F2 969.62 Hz
PPMCM 0.12387
HZCM 43.53471

Benzille korummuş saligenin yan kollu diaza 12-CR-4 türü'nin ^1H NMR spektrumu.

BRUKER marka 400 MHz cihazla alınmış ^1H NMR spektrumu.



Current Data Parameters
NAME 2Bn188n
EXPNO 3
PROCNO 1

F2 - Acquisition Parameters
Date_ 500000
TIME 9.53
INSTRUM spect
PROBID 5 mm Dual13
PULPROG zgpg30
TD 65536
SOLVENT CDCl3
NS 500
DS 2
SWH 31847.133 Hz
ETDRS FIDRES 0.485949 Hz
AQ 1.0289652 sec
RG 2048
DW 15.700 usec
DE 6.00 usec
TE 300.0 K
D1 0.00092000 sec
PL13 19.00 dB
D1 2.00000000 sec
CR0PRG2 WALTZ16
PG3D02 116.00 usec
SF02 400.1316005 MHz
NUC2 1H
PL2 -6.00 dB
PL12 19.00 dB
P1 6.62 usec
DE 6.00 usec
SF04 100.6254358 MHz
NUC1 13C
PL1 -6.00 dB
D1 0.03000000 sec

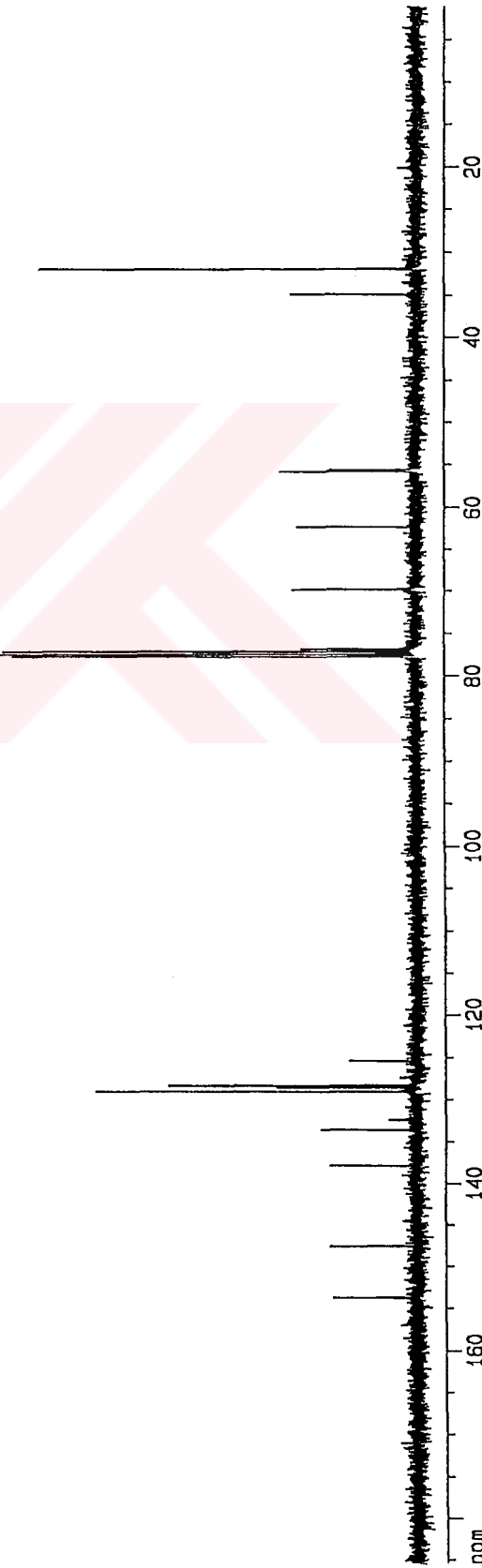
3209.0
3509.6

5596.8
5613.1
6267.1
7021.1
7727.7
7756.9
7788.9
7820.9

12514.4
12904.4
12909.3
12933.3
12978.9
13436.7
13866.4
14842.0
15464.2

F2 - Processing parameters
SI 32768
SF 100.6127250 MHz
WDW EM
SSB 0
LB 1.00 Hz
GB 0
PC 1.40

1D NMR plot parameters
CX 22.00 cm
F1P 185.479 ppm
F1 18661.57 Hz
F2P 0.909 ppm
F2 91.42 Hz
PPMCH 8.38957 ppm/cm
HZCM 844.09747 Hz/cm



Benzille korunmuş saligenin yan kolu diaza 12-CR-4 türü'nin CDCl₃ içinde,

BRUKER marka 100 MHz cihazla alınmış ¹³C NMR spektrumu.

Current Data Parameters
NAME 2Bnisan
EXPTNO 3
PROCNO 1

F2 - Acquisition Parameters

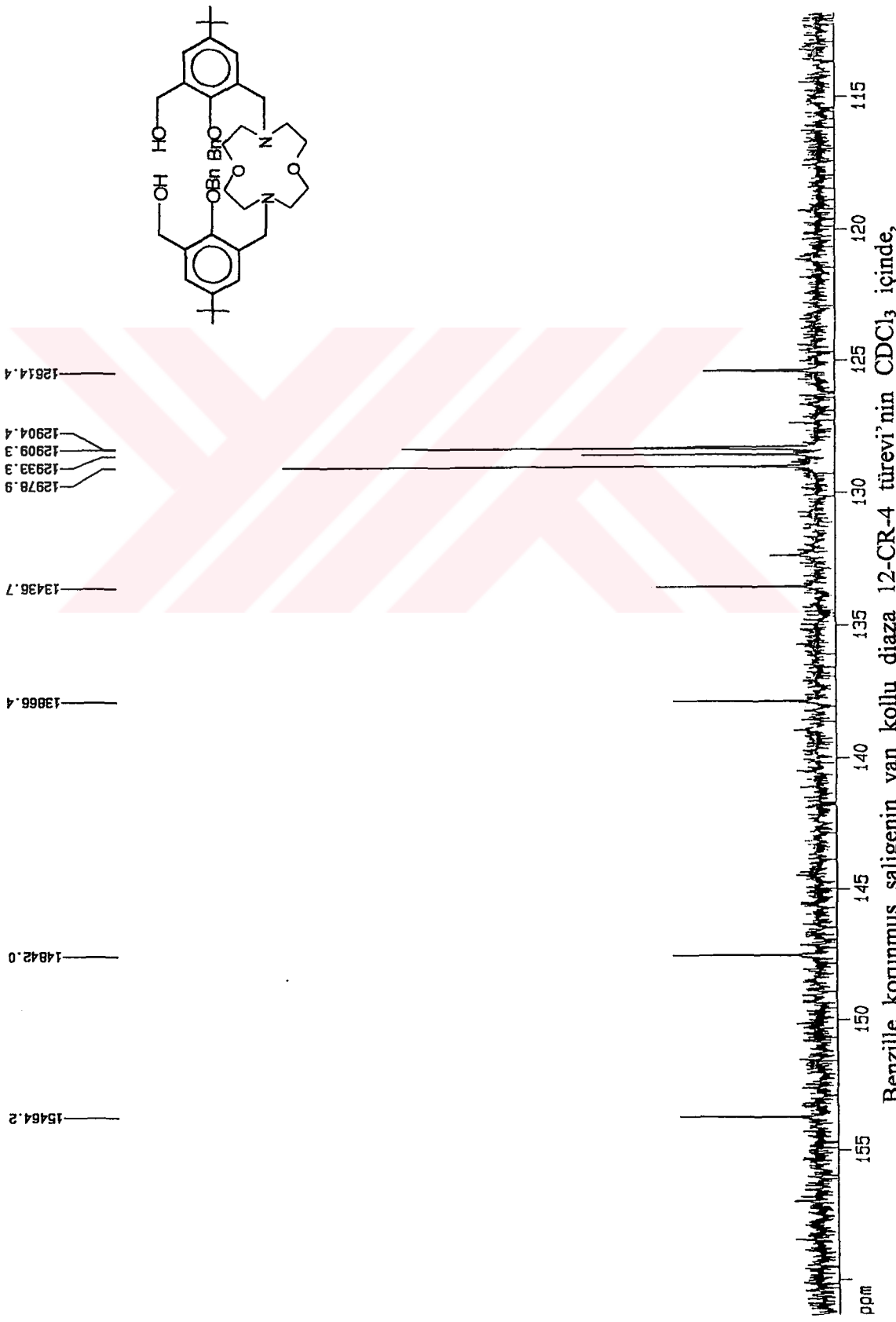
Date 50/00/00
Time 9:53
INSTRUM spect
PROBHD 5 mm Dual 13
PULPROG zgpg30
TD 65536
SOLVENT CDCl3
NS 500
DS 2
SWH 31847.133 Hz
FTDDRES 0.485949 Hz
AQ 1.0289552 sec
RG 2048
DW 15.700 us/sec
DE 6.00 us/sec
TE 300.0 K
D1 0.00002000 sec
PL13 19.00 dB
D1 2.0000000 sec
CPDPG2 116.00 us/sec
CPDPD2 400.1316005 MHz
SF02 1H
NUC2 PL2 -6.00 dB
PL12 19.00 dB
P1 6.82 us/sec
DE 6.00 us/sec
SF01 100.6254358 MHz
NUC1 13C
PL1 -6.00 dB
D11 0.03000000 sec

F2 - Processing parameters

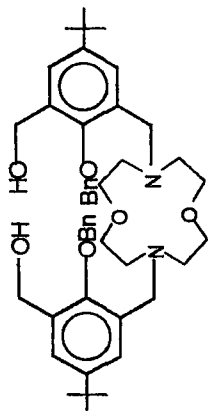
SI 32768
SF 100.6127280 MHz
WDW EH
SSB 0
LB 1.00 Hz
GB 0
PC 1.40

1D NMR plot parameters

CX 22.00 cm
F1P 161.367 ppm
F1 16235.54 Hz
F2P 111.825 ppm
F2 111.251.15 Hz
PPMCM 2.25163 ppm/cm
HZCM 226.56297 Hz/cm



Benzille korunmuş saligenin yan kollu diaza 12-CR-4 türəvi'nin CDCl₃ içinde,
BRUKER marka 100 MHz cihazla alınmış ¹³C NMR spektrumu.



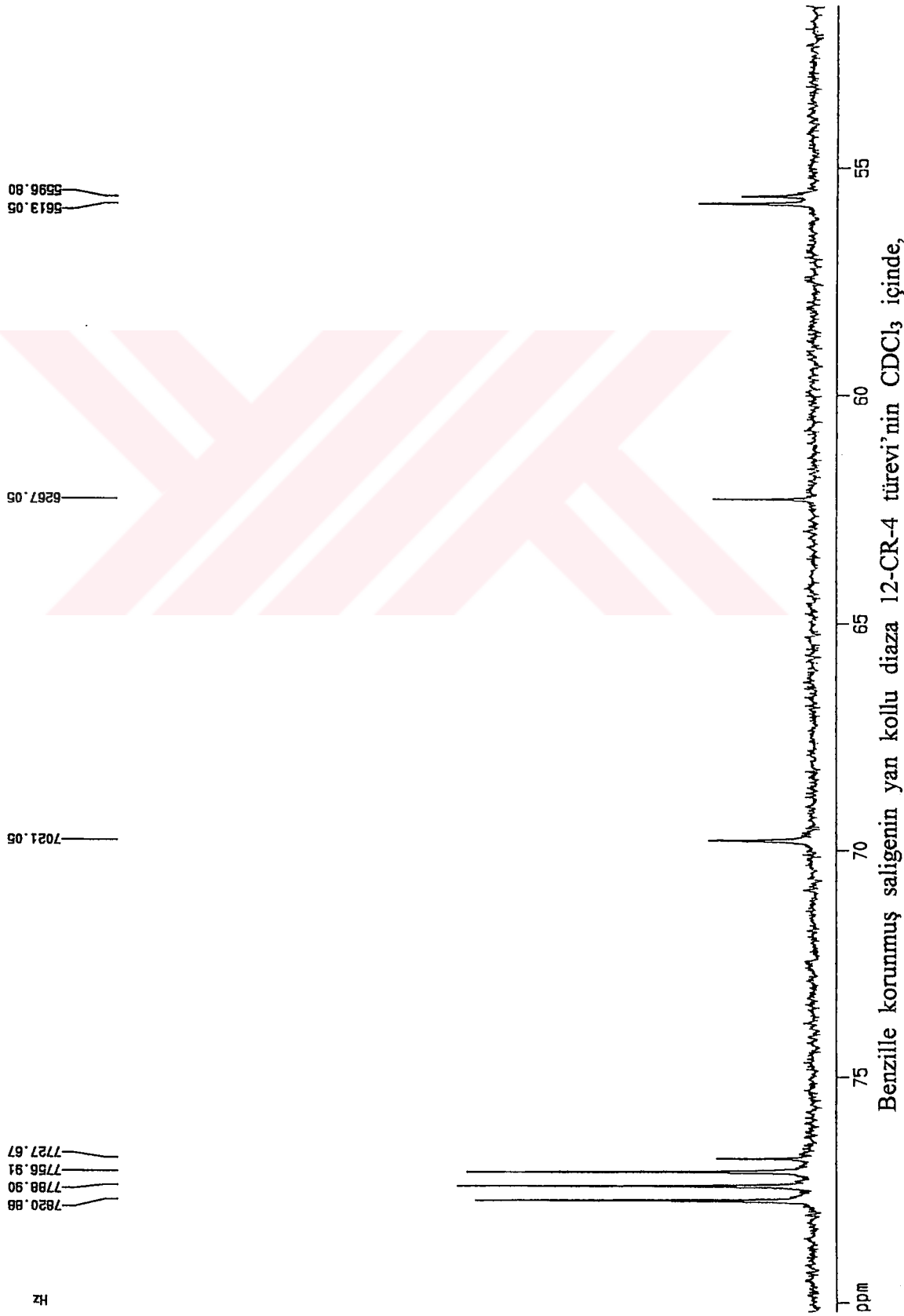
Current Data Parameters
NAME 28nisan
EXPNO 3
PROCNO 1

F2 – Acquisition Parameters

Date -	5/00/00
Time	9:53
INSTRUM	spect
PROBOD	5 mm Dual 13
PULPROG	ZGR930
TO	65536
SOLVENT	CDC13
NS	500
JS	2
RH	31847.433 Hz
FIDRES	0.468949 Hz
AQ	1.0299652 sec
IS	20.48
JOH	15.700 usec
JIE	6.00 usec
TE	300.0 K
J12	0.00002000 sec
JL13	19.00 dB
J1	2.00000000 sec
PROGP2	MHz
CPD2	1.16.00 usec
FSF02	400.1316005 MHz

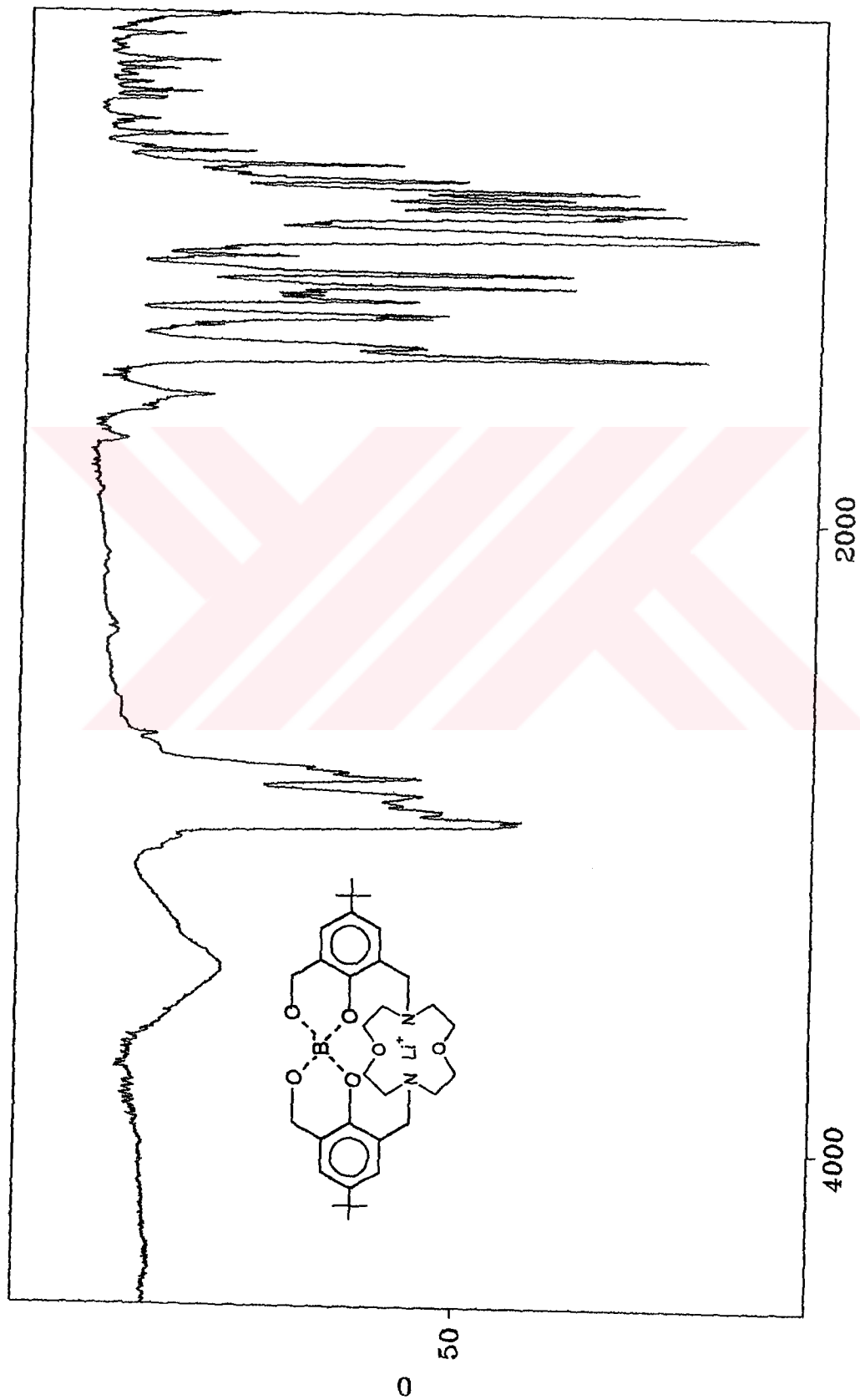
F2 – Processing parameters

SI	100.6127290 MHz
SF	EM
NDW	0
SSB	1.00 Hz
LB	0
GB	1.40
PC	

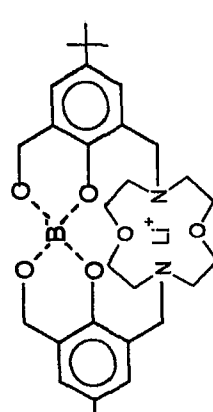
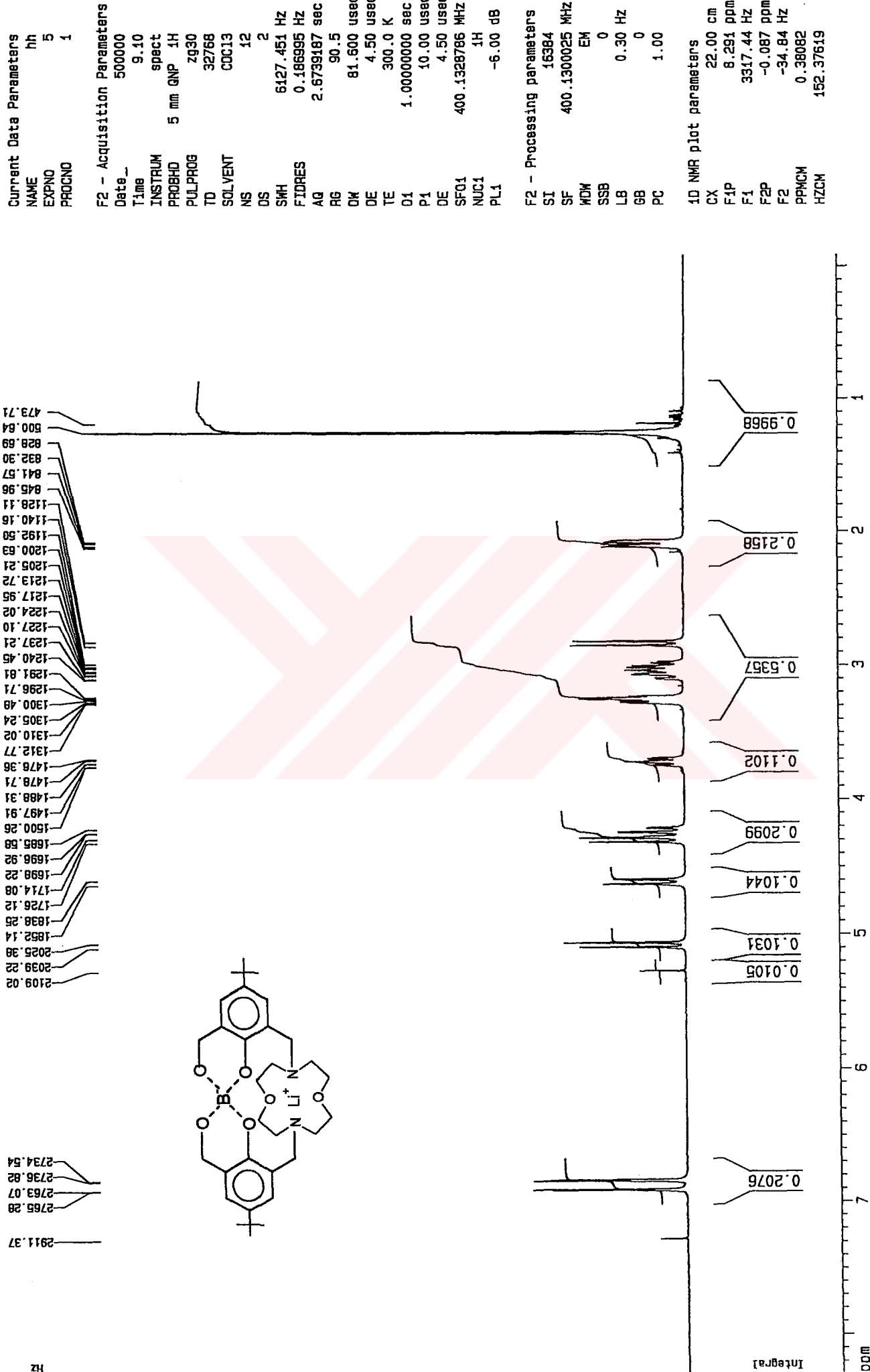


Benzille korunmuş saligenin yan kollu diaza 12-CR-4 türevi'niin CDCl_3 içinde,

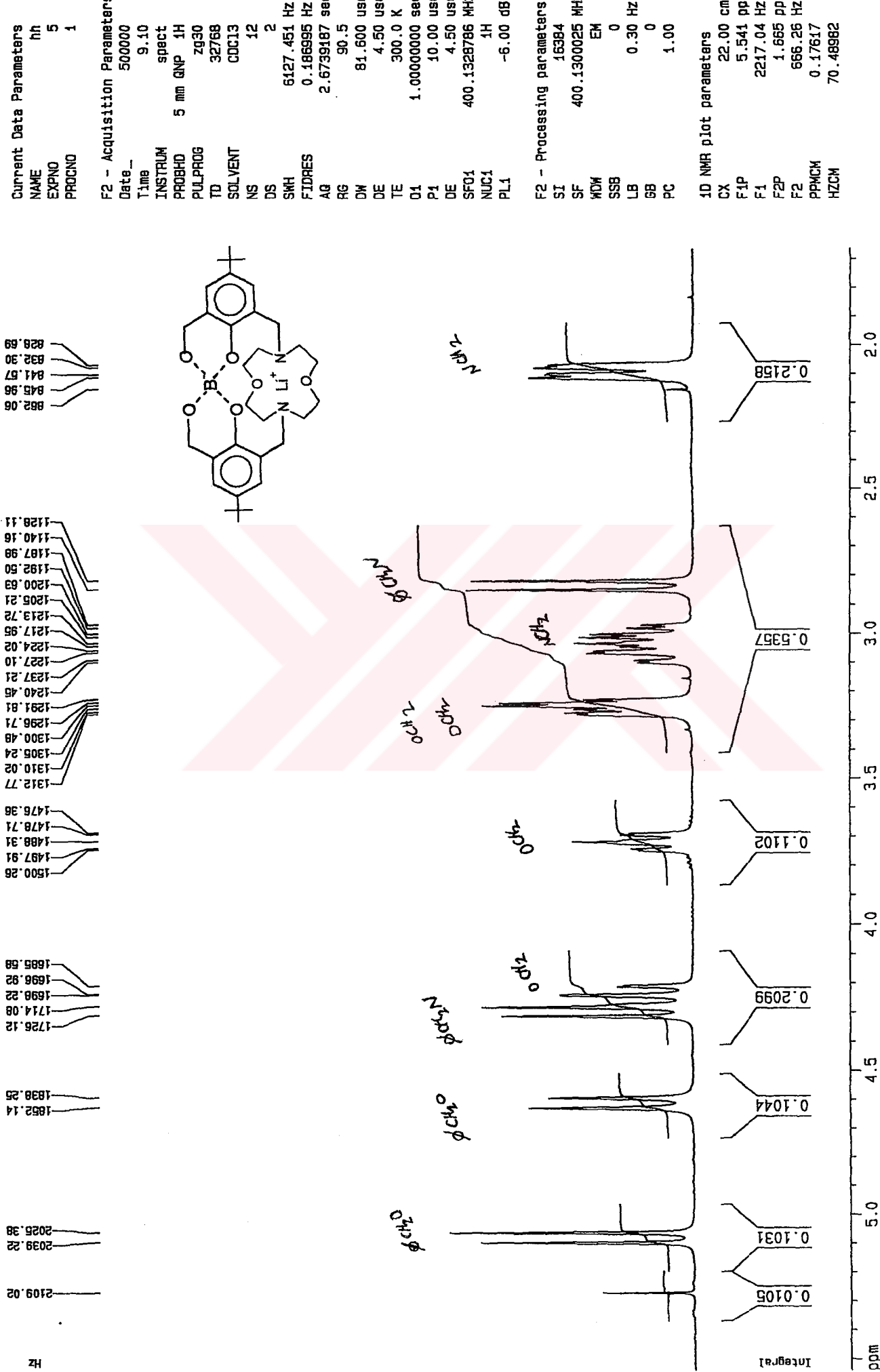
BRUKER marka 100 MHz cihazla alınmış ^{13}C NMR spektrumu.



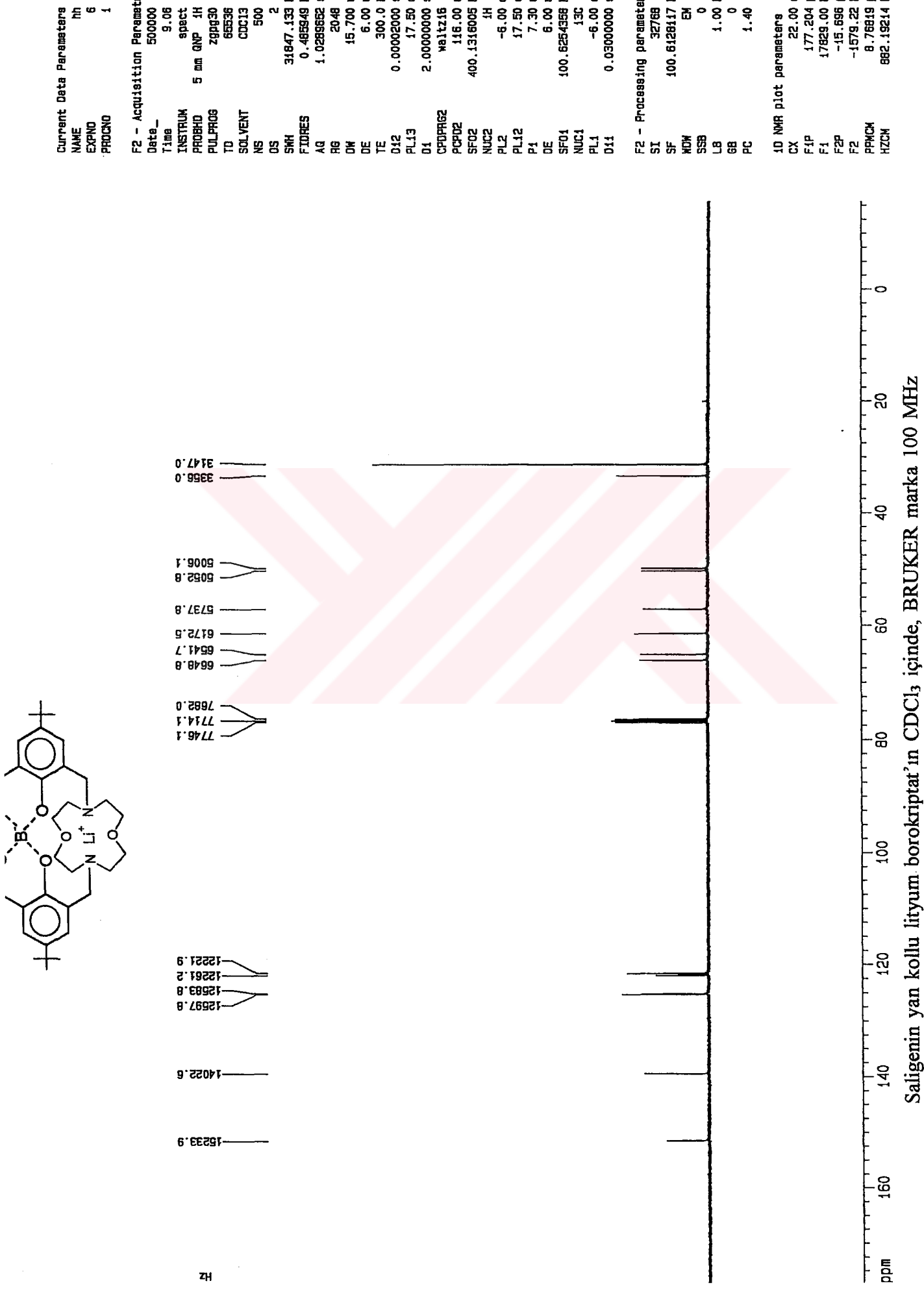
Saligenin yan kollu litium borokriptat'ın KBr pellet teknigi ile alınmış IR spektrumu.



Saligenin yan kollu litium borokriptat'ın CDCl₃ içinde, BRUKER marka 400 MHz cihazla alınmış ¹H NMR spektrumu.

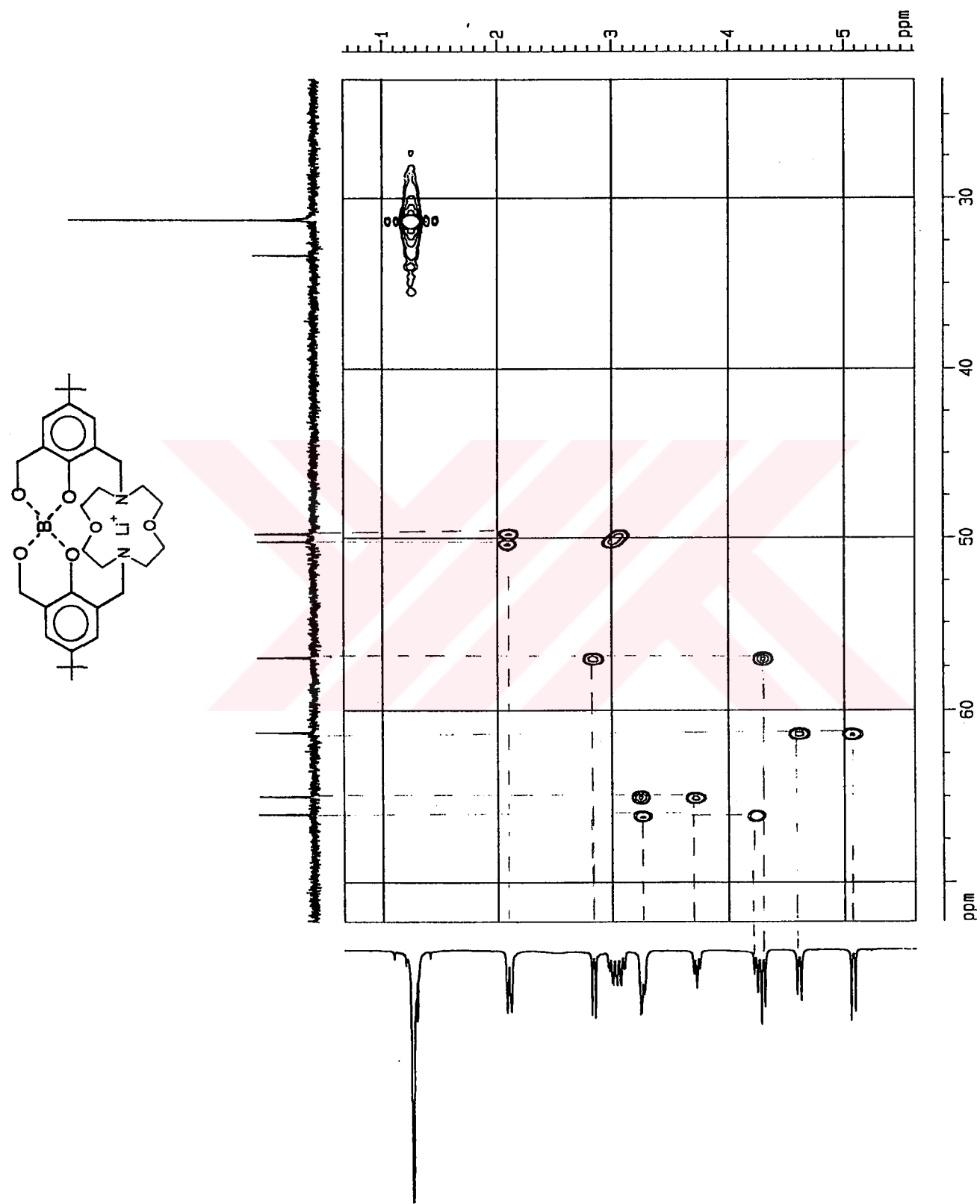


Saligenin yan kolu litium borokriptat'ın CDCl₃ içinde, BRUKER marka 400 MHz cihazla alınmış ¹H NMR spektrumu.



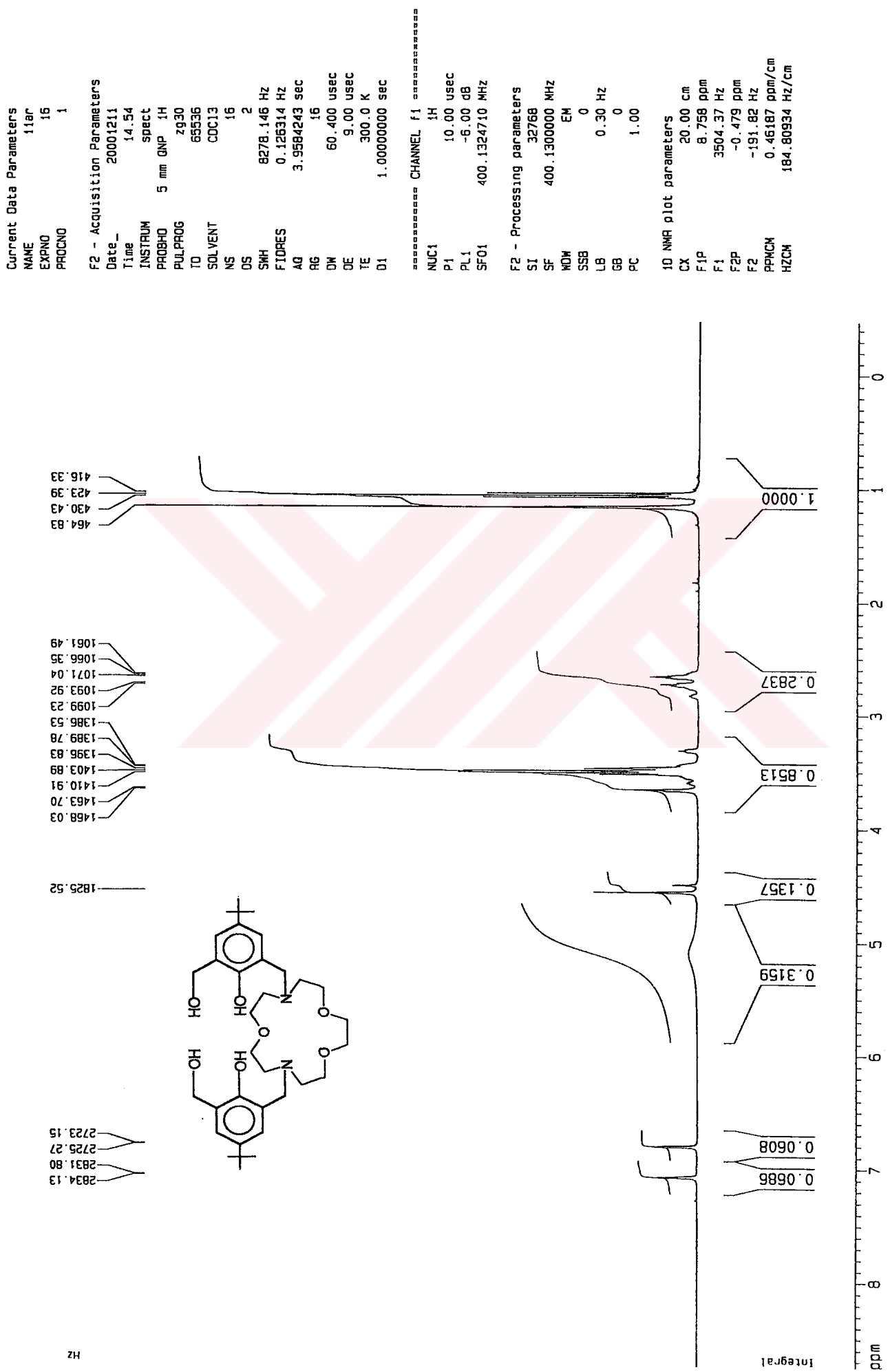
Saligenin yan kollu litium borokriptat'ın CDCl₃ içinde, BRUKER marka 100 MHz cihazla alınmış ¹³C NMR spektrumu.

Boseken II Halka

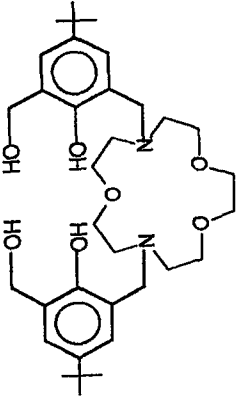


Saligenin yan kollu litium borokriptat' in $^{13}\text{C}-^1\text{H}$ HETCOR spektrumu.

Debenzilasyon dan Yagilmis Boseken 5 li halka



ppm

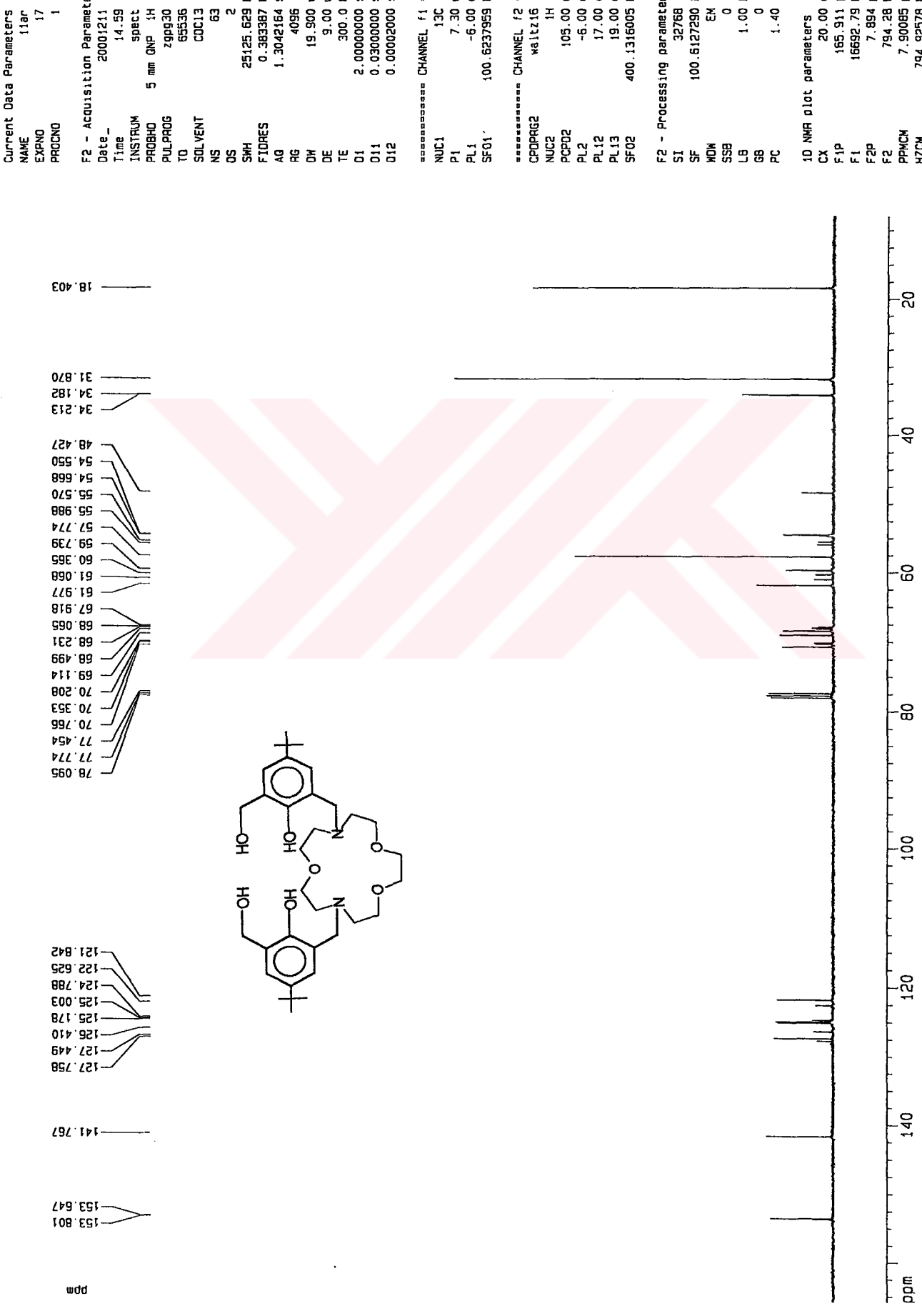


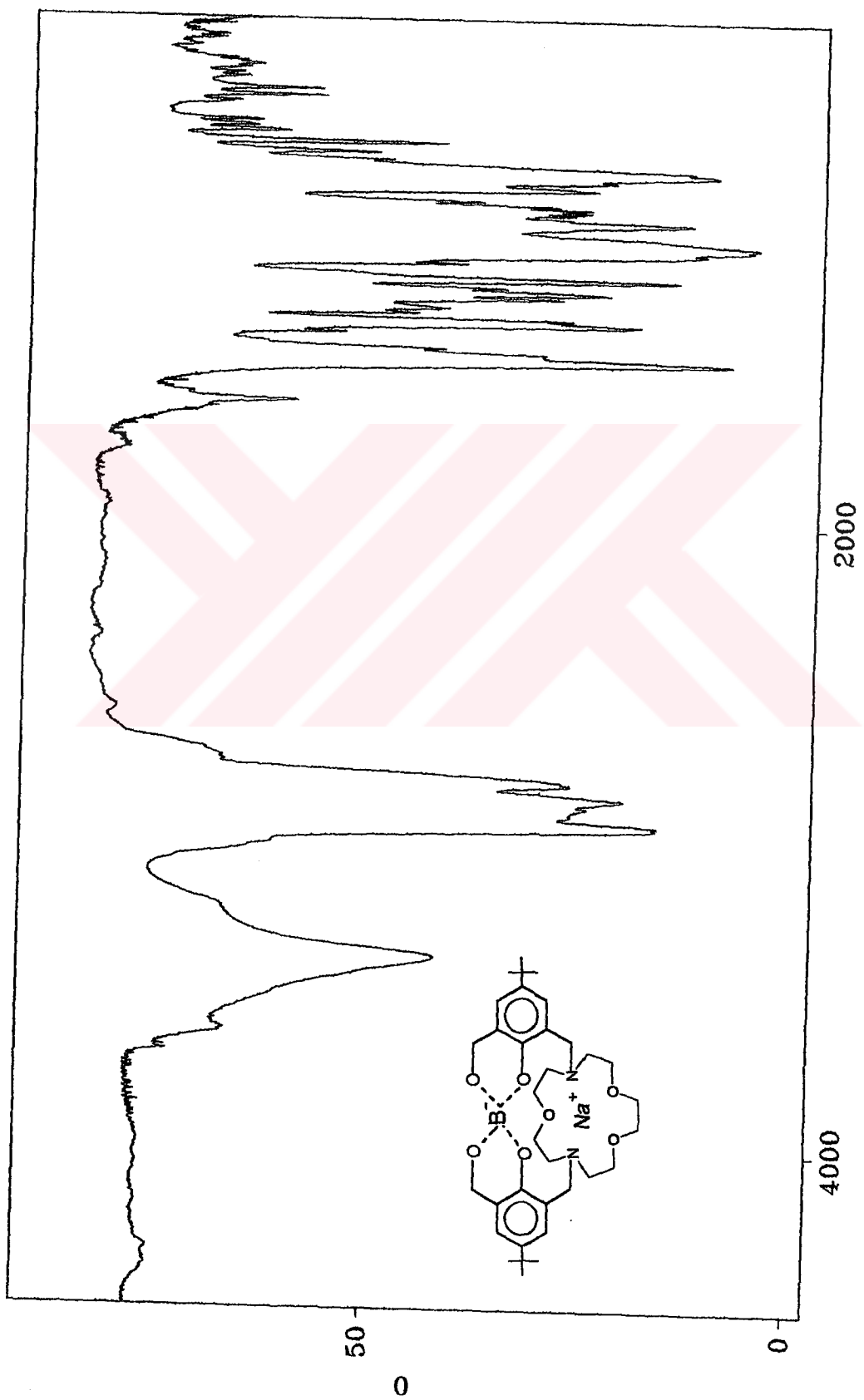
141.767

127.758
127.449
126.410
125.178
125.003
124.788
123.625
122.425
121.878
120.766
120.353
119.208
118.454
117.774
116.918
115.977
114.668
113.510
112.427
111.870
110.812
109.793
108.774
107.739
106.668
105.550
104.477
103.182
102.870
101.095

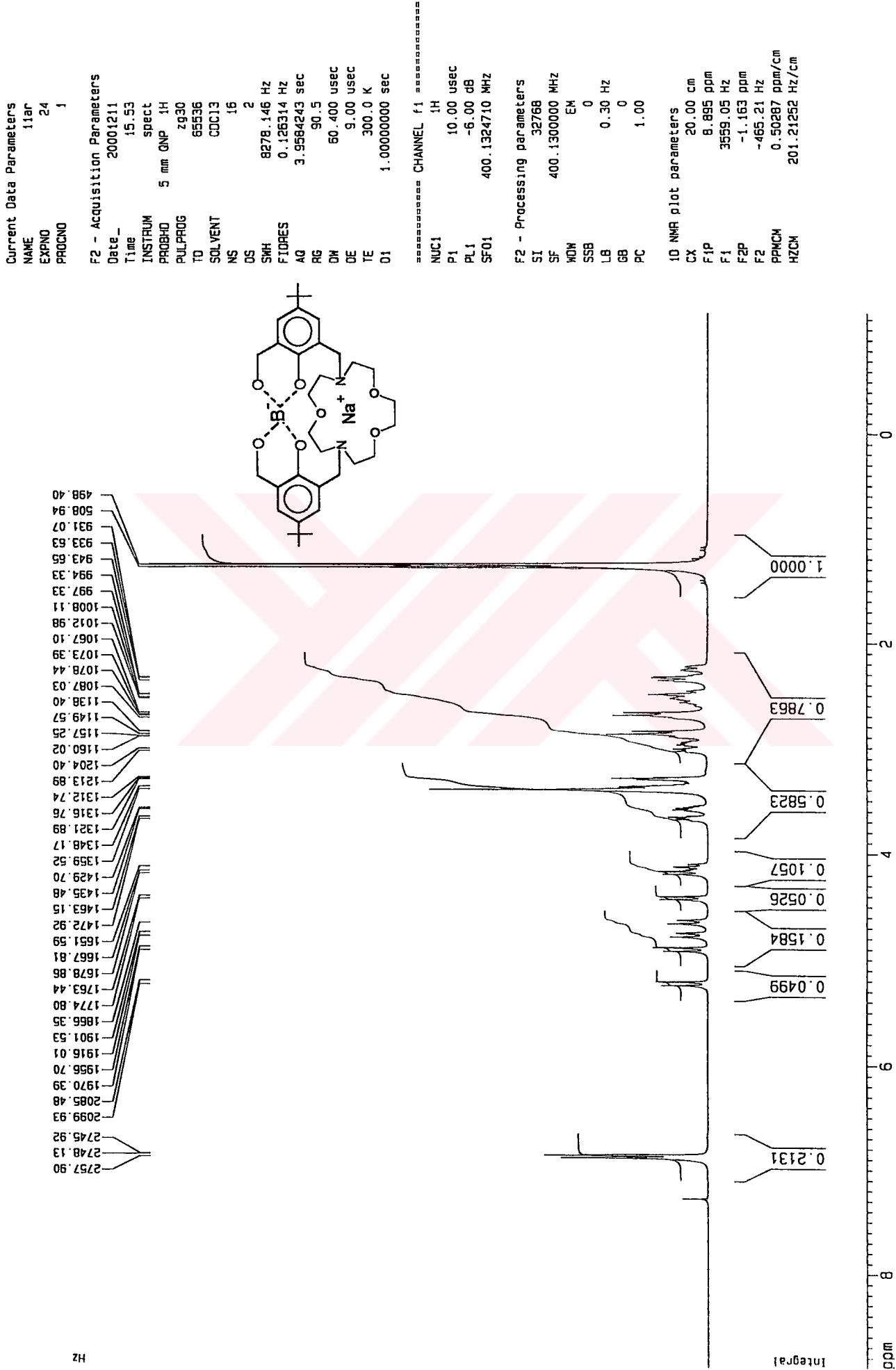
18.403

31.870
34.182
34.213
40.427
54.550
55.668
55.774
59.793
60.365
61.068
61.977
62.918
63.665
68.231
69.114
69.499
70.208
70.353
77.774
77.454
70.766
69.208
68.665
67.918
66.668
65.793
64.977
63.510
62.427
61.870
60.182
59.870
58.774
57.739
56.668
55.550
54.477
53.182
52.870
51.095

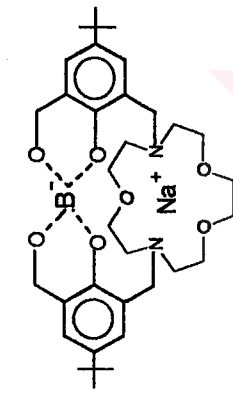




Salignenin yan kolu sodyum borokriptat'ın KBr pellet teknigi ile alınmış IR spektrumu.



Saligenin yan kollu sodyum borokriptat'ın CDCl₃ içinde, BRUKER marka 400 MHz cihazla alınmış ¹H NMR spektrumu.



Current Data Parameters
 NAME 11ar
 EXPNO 24
 PROCN0 1

F2 - Acquisition Parameters

Date _ 20001211
 Time 15.53
 INSTRUM spect
 PROBHD 5 mm QNP 1H
 PULPROG zg30
 TD 65536
 SOLVENT CDCl3
 NS 16
 DS 2
 SWH 8270.146 Hz
 FIDRES 0.126314 Hz
 AQ 3.9584243 sec
 RG 90.5
 DW 60.400 usc
 DE 9.00 usc
 TE 300.0 K
 D1 1.0000000 sec

===== CHANNEL f1 =====

NUC1 1H
 P1 10.00 usc
 PL1 -6.00 dB
 SF01 400.1324710 MHz

F2 - Processing parameters

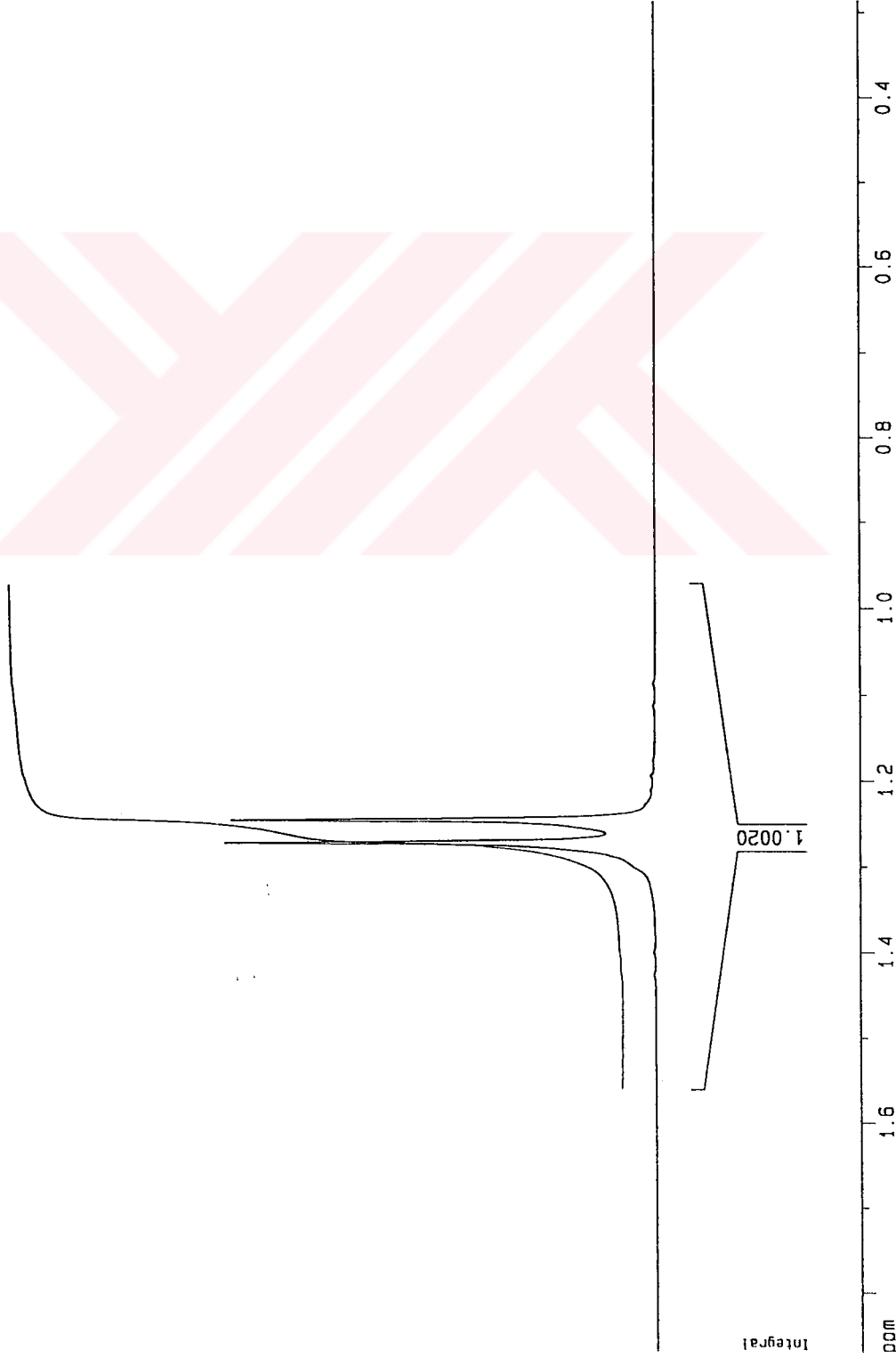
SI 32768
 SF 400.1300000 MHz
 MW EM
 SSB 0
 LB 0.30 Hz
 GB 0
 PC 1.00

1D NMR plot parameters

CX 20.00 cm
 F1P 1.871 ppm
 F1 748.63 Hz
 F2P 0.286 ppm
 F2 114.37 Hz
 PPMCM 0.07926 ppm/cm
 HZCM 31.71285 Hz/cm

498.937
 508.392

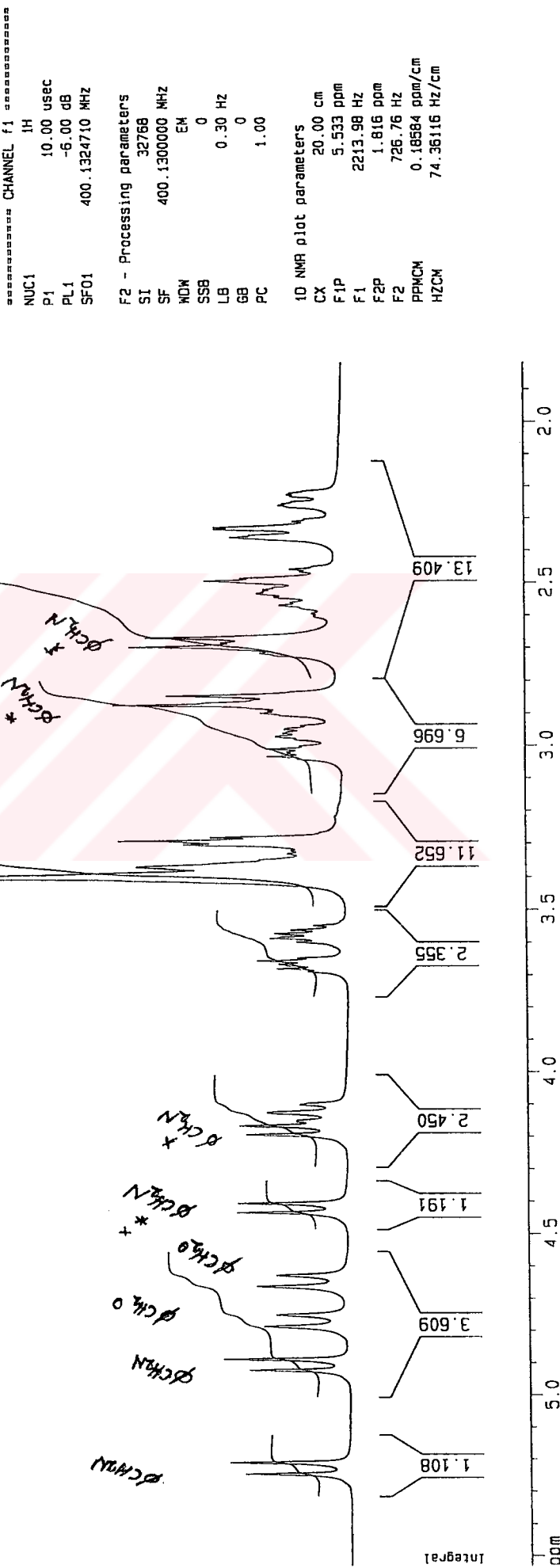
Hz



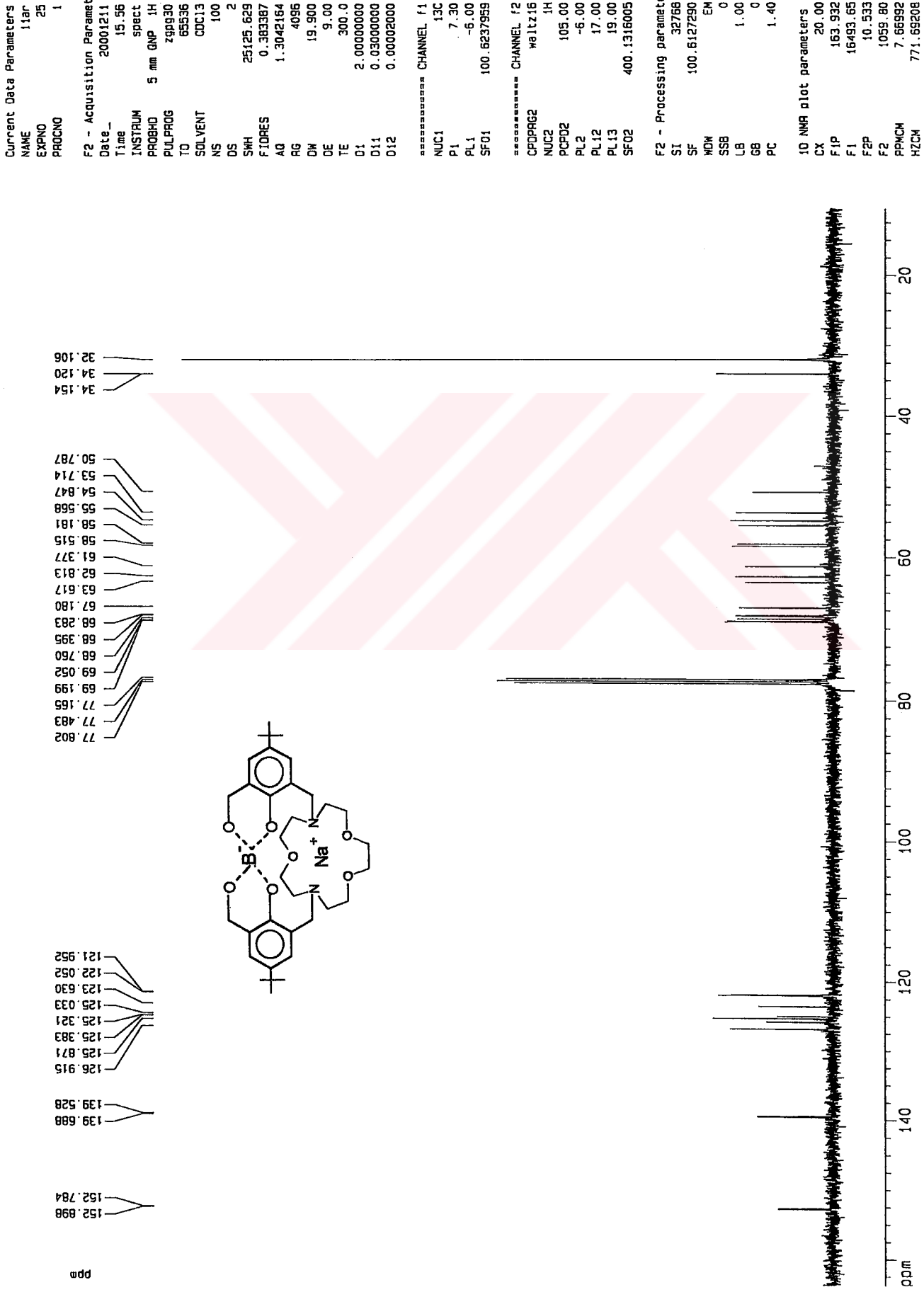
Saligenin yan kolu sodyum borokriptat'ın CDCl_3 içinde, BRUKER marka 400 MHz cihazla alınmış ^1H NMR spektrumu.

Current Data Parameters
 NAME 11ar
 EXPNO 24
 PROCNO 1

F2 - Acquisition Parameters
 Date_ 20001211
 Time_ 15.53
 INSTRUM spect
 PROBHD 5 mm QNP 1H
 PULPROG PULPAG
 TD 65536
 SOLVENT CDCl₃
 NS 16
 SWH 8278.146 Hz
 FIDRES 0.126314 Hz
 AQ 3.3584243 sec
 RG 90.5
 DW 60.400 usec
 DE 9.00 usec
 TE 300.0 K
 D1 1.0000000 sec



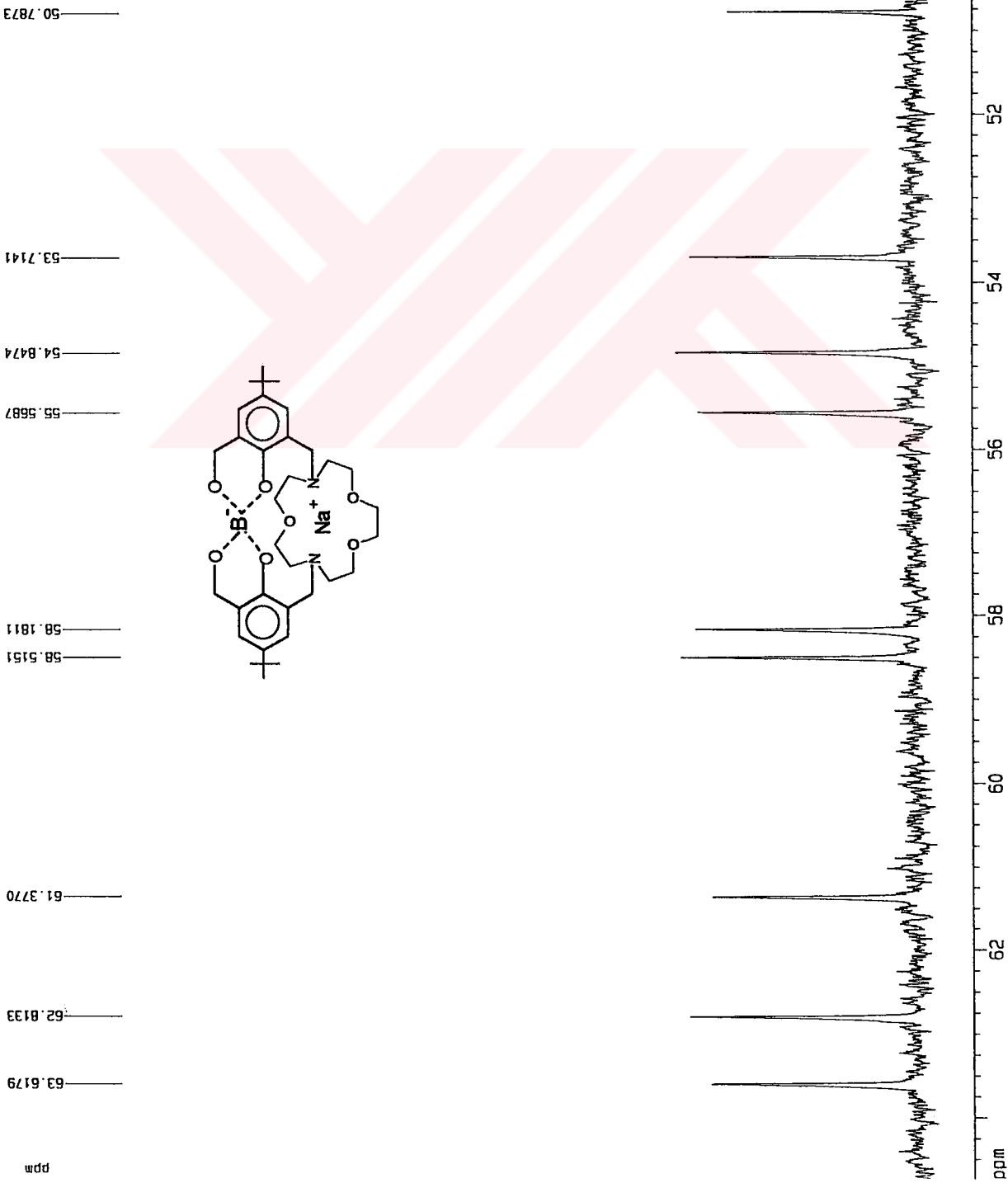
Saligenin yan kolu sodyum borokriptat'ın CDCl₃ içinde, BRUKER marka 400 MHz cihazla alınmış ¹H NMR spektrumu.



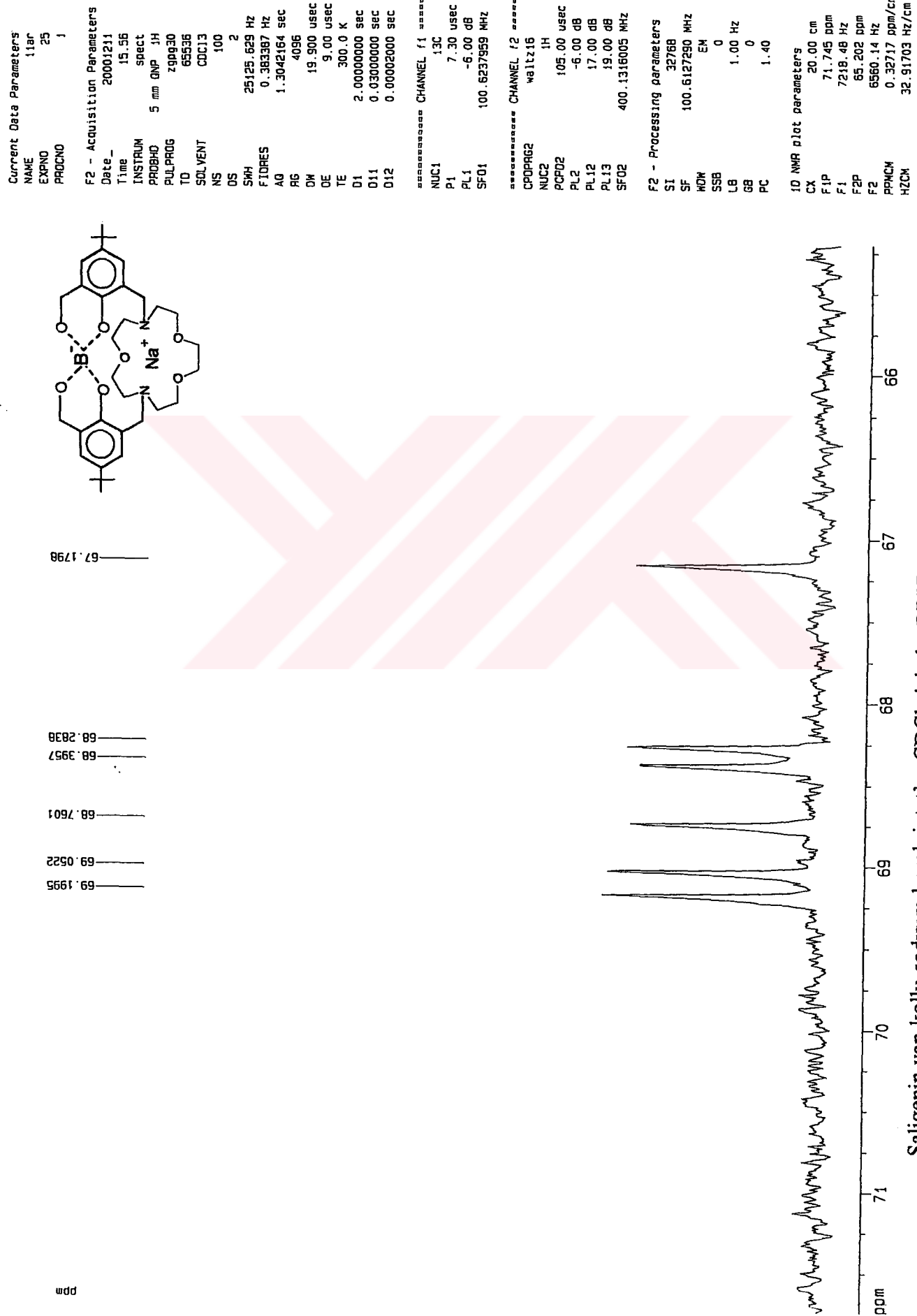
Saligenin yan kollu sodyum borokriptat'ın CDCl₃ içinde, BRUKER marka 100 MHz cihazla alınmış ¹³C NMR spektrumu.

Current Data Parameters
 NAME 11ar
 EXPNO 25
 PROBNO 1
 F2 - Acquisition Parameters
 Date 20001211
 Time 15:56
 INSTRUM spect
 PROBHD 5 mm QNP 1H
 PULPROG zgpg30
 TD 65536
 SOLVENT CDCl3
 NS 100
 DS 2
 SWH 25125.329 Hz
 FIDRES 0.383987 Hz
 AQ 1.3042164 sec
 RG 4096
 DW 19.900 usec
 DE 9.00 usec
 TE 300.0 K
 D1 2.0000000 sec
 D11 0.0300000 sec
 D12 0.00002000 sec

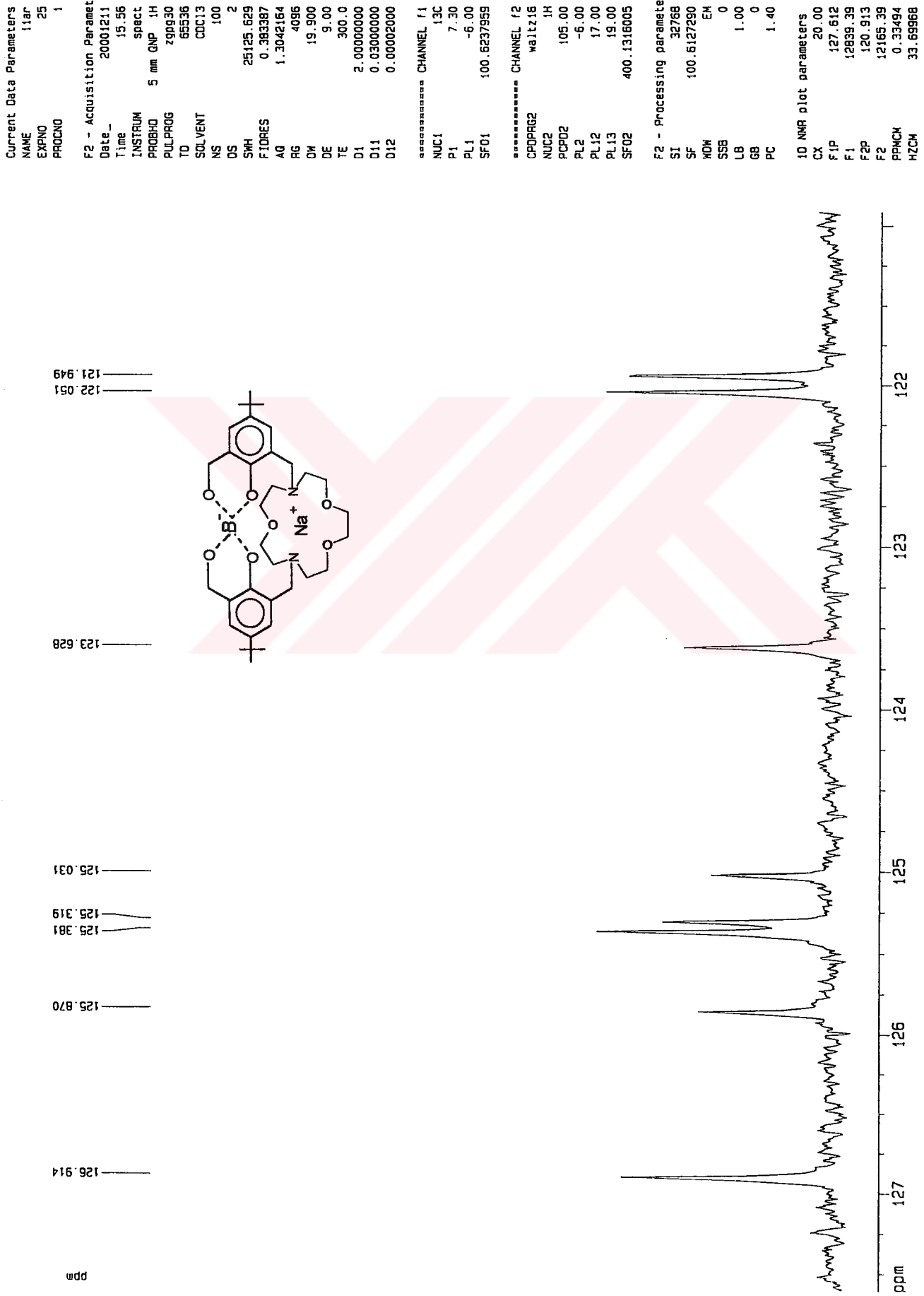
===== CHANNEL f1 =====
 NUC1 13C
 P1 7.30 usec
 PL1 -6.00 dB
 SF01 100.6237959 MHz
 ===== CHANNEL f2 =====
 CPDPRG2 waltz16
 NUC2 1H
 PCPD2 105.00 usec
 PL2 -6.00 dB
 PL12 17.00 dB
 PL13 19.00 dB
 SFQ2 400.1316005 MHz
 F2 - Processing parameters
 SI 32768
 SF 100.6127250 MHz
 MDW 0 EM
 SSB 0
 LB 1.00 Hz
 GB 0
 PC 1.40



Saligenin yan kolu sodyum borokriptat'ın CDCl₃ içinde, BRUKER marka 100 MHz cihazla alınmış ¹³C NMR spektrumu.



Saligenin yan kolu sodyum borokriptat'ın CDCl₃ içinde, BRUKER marka 100 MHz cihazla alınmış ¹³C NMR spektrumu.



Saligenin yan kolu sodyum borokriptat'ın CDCl₃ içinde, BRUKER marka 100 MHz cihazla alınmış ¹³C NMR spektrumu.

Current Data Parameters
 NAME 116r
 EXPNO 25
 PROCNO 1

F2 - Acquisition Parameters

Date 20001211
 Time 15:56
 INSTRUM spect
 PROBHD 5 mm QNP 1H
 PULPROG zgpg30
 TD 65536
 SOLVENT CDCl3
 NS 100
 DS 2

F2 - Acquisition Parameters

SWH 25125.669 Hz
 FIDRES 0.383387 Hz
 AG 1.3042164 sec
 RG 4096
 DW 19.900 usec
 DE 9.00 usec
 TE 300.0 K
 D1 2.0000000 sec
 D11 0.03000000 sec
 D12 0.00002000 sec

F2 - Acquisition Parameters

NUC1 13C
 P1 7.30 usec
 PL1 100.6237959 MHz
 SF01 100.6237959 MHz

F2 - Acquisition Parameters

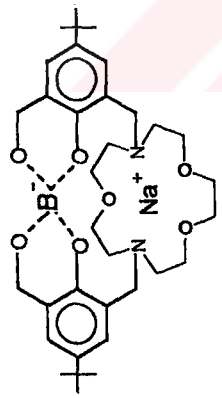
CPDPG2 Waltz16
 NUC2 1H
 PCPD2 105.00 usec
 PL2 -6.00 dB
 PL12 17.00 dB
 PL13 19.00 dB
 SF02 400.1316005 MHz

F2 - Processing parameters

SI 32768
 SF 100.6127250 MHz
 WDW EN
 SSB 0
 LB 1.00 Hz
 GB 0
 PC 1.40

1D NMR plot parameters

CX 20.00 cm
 F1P 155.900 ppm
 F1 15665.36 Hz
 F2P 135.995 ppm
 F2 13662.53 Hz
 PHCM 0.99522 ppm/cm
 HZCM 100.13250 Hz/cm



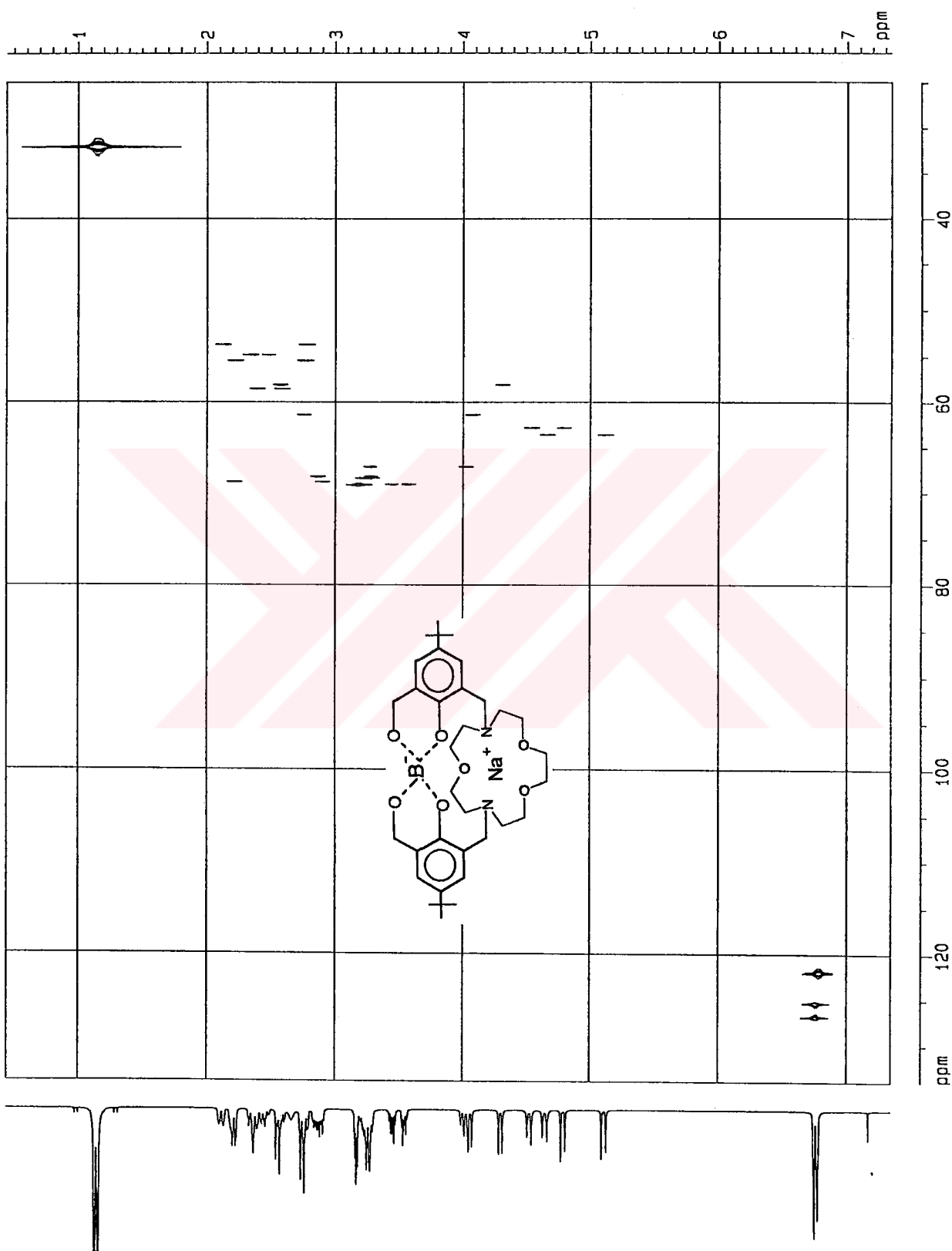
152.786

ppm

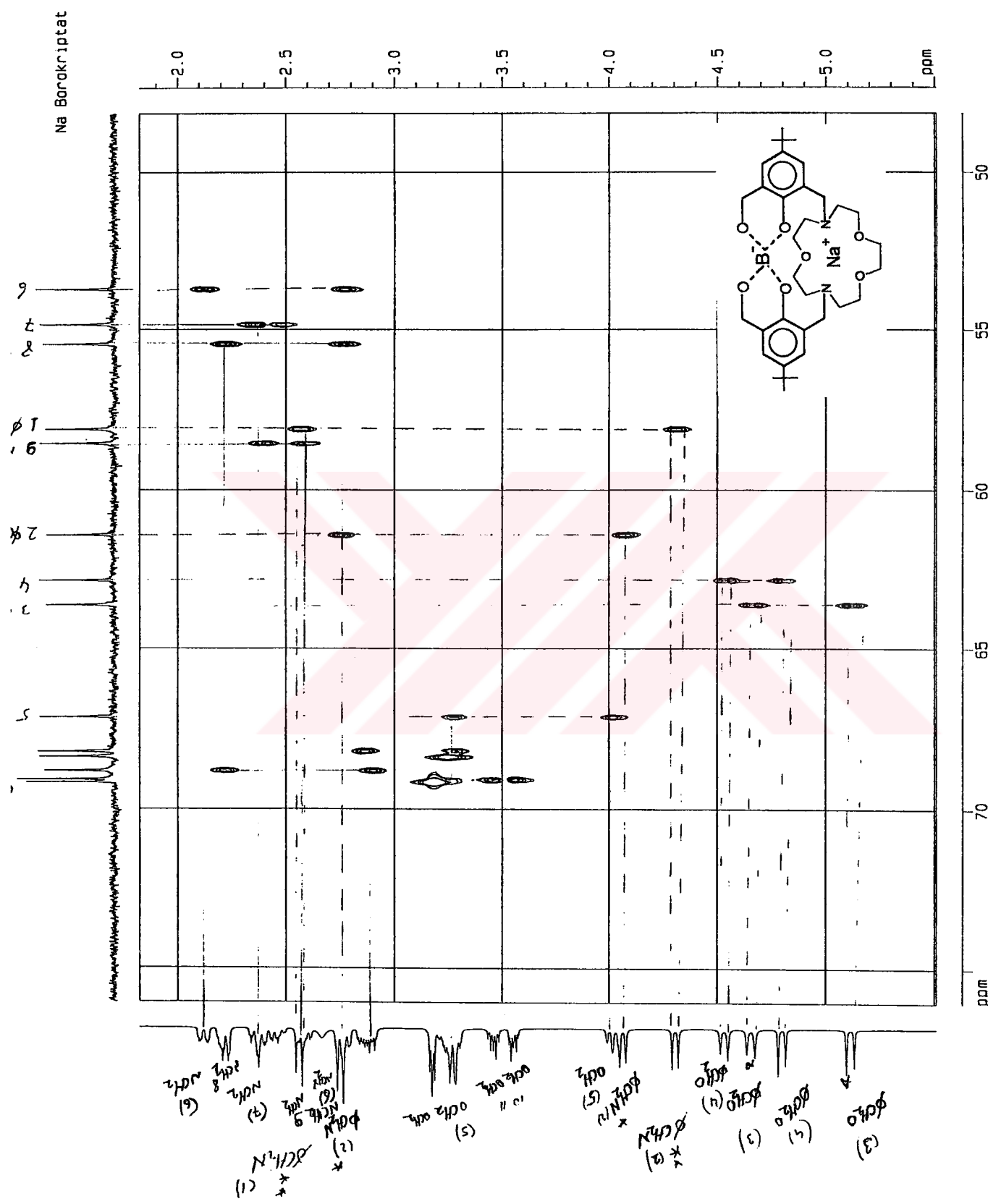
139.687

139.527

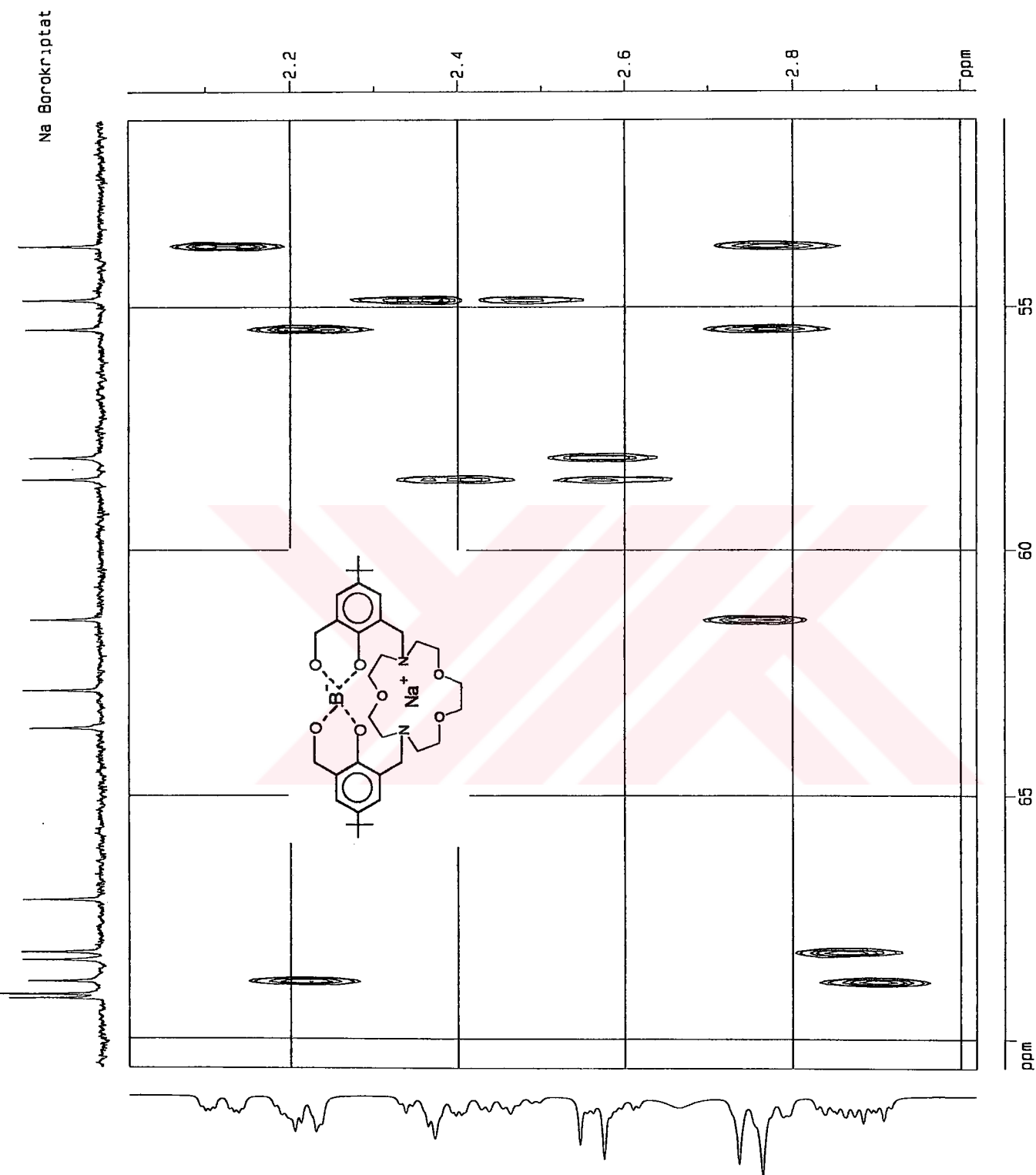
Saligenin yan kolu sodyum borokriptat'ın CDCl₃ içinde, BRUKER marka 100 MHz cihazla alınmış ¹³C NMR spektrumu.



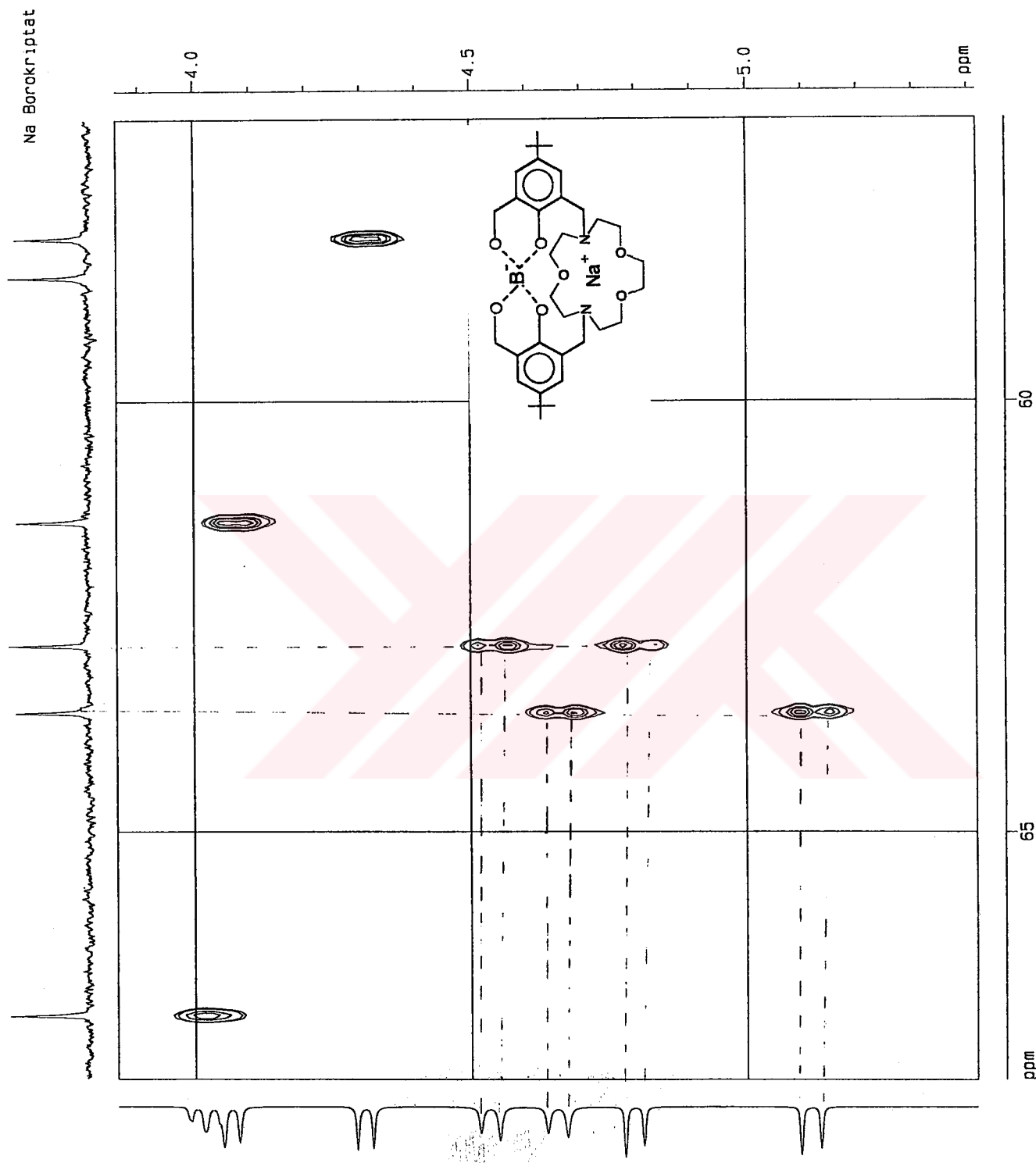
Saligenin yan kolly sodyum borakriptat'ın ^{13}C - ^1H HETCOR spektrumu.



Saligenin yan kollu sodyum borokriptat'ın ^{13}C - ^1H HETCOR spektrumu.



Saligenin yan kollu sodum borokriptat'ın $^{13}\text{C}^1\text{H}$ HETCOR spektrumu.



Saligenin yan kollu sodyum borokriptat'ın ^{13}C - ^1H HETCOR spektrumu.

KAYNAKLAR

- 1 Graf, E.; Hosseini, M.W.; **Coordination Chemistry Rewiews**, **178-180**, 1193-1209, 1998
- 2 Pedersen, C.J. **J. Am. Chem. Soc.**, **89**, 2495, 1967.
- 3 Pedersen, C.J. **J. Am. Chem. Soc.**, **89**, 7017, 1967.
- 4 Dietrich, B.; Lehn, J.-M.; Sauvage, J.-P. **Tetrahedron Lett.**, **2885**, 1969.
- 5 Dietrich, B.; Lehn, J.-M.; Sauvage, J.-P. **Tetrahedron Lett.**, **2889**, 1969.
- 6 Pedersen, C.J. **Angew. Chem. Int. Ed. Engl.**, **27**, 1021, 1988.
- 7 Cram, D.J. **Angew. Chem. Int. Ed. Engl.**, **27**, 1009, 1988.
- 8 Lehn, J.-M. **Chem. Int. Ed. Engl.**, **27**, 89, 1988.
- 9 Vögtle, F. **Supramolecular Chemistry**, Wiley, Chichester, 1991.
- 10 Gokel, G. in: Stoddart J.F. (Ed.), **Crown Ethers and Cryptands, Monographs in Supramolecular Chemistry**, The Royal Society of Chemistry, London, 1991.
- 11 Cram, D.J.; Cram,J.M. in: Stoddart J.F. (Ed.), **Container Molecules and Their Guests, Monographs in Supramolecular Chemistry**, London, 1994.
- 12 Dietrich, B.; Viout, P.; Lehn, J.-M. **Macrocyclic Chemistry**, VCH, Weinheim, 1993.
- 13 Lehn, J.-M. **Angew. Chem. Int. Ed. Engl.**, **29**, 1304, 1990.
- 14 Dietrich, B.; Lehn, J.-M.; Sauvage, J.-P.; Blanzat, J. **Tetrahedron**, **29**, 1629, 1973.
- 15 Dietrich, B.; Lehn, J.-M.; Sauvage, J.-P. **Tetrahedron**, **29**, 1647, 1973.
- 16 Graf, E.; Hosseini, M.W.; De Cian, A.; Fischer, J. **Bull. Soc. Chim. Fr.**, **133**, 743, 1996.
- 17 Hütter, R.; Keller-Schierlein, W.; Knüsel, F.; Prelog, V.; Rodgers, G.C.; Sutter, P.; Vogel, G.; Voser, W.; Zähner, H. **Helv. Chim. Acta**, **50**, 1533, 1967.
- 18 Dunitz, J.D.; Hawley, D.M.; Miklos, D.; White, D.N.J.; Berlin, Y.; Marusic, R.; Prelog, V. **Helv. Chim. Acta**, **54**, 1709, 1971.
- 19 Marsh, W.; Dunitz, J.D.; White, D.N.J. **Helv. Chim. Acta**, **57**, 10, 1974.
- 20 Okazaki, T.; Kitahara, T.; Okami, Y. **J. Antibiotics**, **28**, 176, 1975.
- 21 Stout, T.J.; Clardy, J. Pathirana, I.C.; Fenical, W. **Tetrahedron**, **47**, 3511, 1991.
- 22 Lehn, J.-M. in: Laidler, K.J. (Ed.), **Frontiers of Chemistry**, IUPAC, Pergamon, 1982.
- 23 Izatt, R.M.; Pawlak,K.; Bradshaw, J.S. **Chem. Rev.**, **91**, 1721, 1991.
- 24 Fenton, D.E.; Casellato, U.; Vigato, P.A.; Vidalli, M. **Inorg. Chim. Acta**, **62**, 57, 1982.
- 25 Zanello, P.; Tamburini, S.; Vigato, P.A.; Mazzocchin,G.A. **Coord. Chem. Rev.**, **77**, 165, 1987.
- 26 Smith, D.C.; Gray, H.B. **Chem. Rev.**, **100**, 169, 1990.
- 27 Van Veggel, F.C.J.M.; Verboom, W.; Reinhoudt, D.N. **Chem. Rev.**, **94**, 279, 1994.

- 28 Graf , E.; Hosseini, M.W.; Ruppert, R. **Tetrahedron Lett.**, **35**, 7779, 1994.
- 29 Bocksthal, F.; Graf, E.; Hosseini, M.W.; Suhr, D.; De Cian, A.; Fischer, J. **Tetrahedron Lett.**, **38**, 7539, 1997.
- 30 Kobuke, Y.; Sumida, Y.; Hayashi, M.; Ogoshi, H. **Angew. Chem. Int. Ed. Engl.**, **30**, 1496, 1991.
- 31 Weitl, F.L.; Raymond, K.N. **J. Am. Chem. Soc.**, **102**, 2289, 1980.
- 32 Raymond, K.N.; Müller,G.; Matzanke, B.F. **Top. Curr. Chem.**, **123**, 49, 1984.
- 33 Wolfgang,K.; Vögtle, F.; **Angew. Chem. Int. Ed. Engl.**, **23**, 714, 1984.
- 34 Stutte, P.; Kiggen, W.; Vögtle, F. **Tetrahedron**, **43**, 2065, 1987.
- 35 McMurry, T.J.; Rodgers, S.J.; Raymond, K.N. **J. Am. Chem. Soc.**, **108**, 3451, 1986.
- 36 McMurry, T.J.; Hosseini, M.W.; Garrett, T.M.; Hahn, F.E.; Reyes, Z.E.; Raymond, K.N.; **J. Am. Chem. Soc.**, **109**, 7196, 1987.
- 37 Garrett, T.M.; McMurry, T.J.; Hosseini, M.W.; Reyes, Z.E.; Hahn, F.E.; Raymond, K.N. **J. Am. Chem. Soc.**, **113**, 2965, 1991.
- 38 Böeseken, J. **Adv. Carbohydr. Chem.**, **4**, 189, 1949.
- 39 Gatto, V.J.; Miller, S.R.; Gokel, G.W. **Org. Synth.**, **68**, 227, 1989.
- 40 Weitl, F.L.; Raymond, K.N.; Smith, W.L.; Howard, T.R. **J. Am. Chem. Soc.**, **100**, 1170, 1978.
- 41 Wiley,G.A.; Hershkowitz, R.L.; Rein, B.M.; Chung, B.C. **J. Am. Chem. Soc.**, **86**, 964, 1964.
- 42 McOmie, J.F.W.; Watts, M.L. **Tetrahedron**, **24**, 2289, 1968.
- 43 Vickery,E.H.; Pahler, L.F.; Eisenbraun, E.J. **J. Org. Chem.**, **44**, 4444, 1979.
- 44 Vedejs, E.; Fuchs, P.L. **J. Am. Chem. Soc.**, **95**, 822, 1973.
- 45 Rastetter, W.H.; Erickson, T.J.; Venutti, M.C. **J. Org. Chem.**, **46**, 3579, 1981.
- 46 Marchand, B.; Benezra, C. **J. Med. Chem.**, **25**, 650, 1982.
- 47 Graf, E.; Hosseini, M.W.; De Cian, A.; Fischer, J. **Tetrahedron Lett.**, **39**, 3501, 1998.
- 48 Graf, E.; Hosseini, M.W.; Ruppert, R.; Kyritsakas, N. De Cian, A.; Fischer, J. Estournés,C.; Taulelle, F. **Angew. Chem. Int. Ed. Engl.**, **34**, 1115, 1995.
- 49 Moras, D.; Metz, B.; Weiss, R. **Acta Crystallogr., B** **29**, 383, 1973.
- 50 Bach, R.O. (Ed.), **Lithium – Current Applications in Science, Medicine and Tecnology**, Willey – Interscience, New York, 1985.
- 51 Izatt, R.M.; Pawlak, K.; Bradshaw, J.S.; Bruening, R.L. **Chem. Rev.**, **95**, 2529, 1995.
- 52 Olsher, U.; Izatt, R.M.; Bradshaw, J.S.; Kent Dalley, N. **Chem. Rev.**, **91**, 137, 1991.
- 53 Moras,D.; Weiss, R. **Acta Crystallogr., B** **29**, 400, 1973.

- 54 Graf, E.; Hosseini, M.W.; Ruppert, R.; De Cian, A.; Fischer, J. *J. Chem. Soc., Chem. Commun.*, **1505**, 1995.
- 55 Sutherland, I.O.; *J. Chem. Soc., Faraday Trans., I* **82**, 1145, 1986.
- 56 Sutherland, I.O. *Chem. Soc. Rev.*, **15**, 63, 1986.
- 57 Nagano, O.; Kobayashi, A.; Sasakki, Y. *Bull. Chem. Soc. Jpn.*, **51**, 790, 1978.
- 58 Owen, J.D. *J. Chem. Soc., Perkin Trans., II* **407**, 1983.
- 59 Bandy, J.A.; Kennard,C.H.L.; Parsons, D.G.; Trutter,M.R. *J. Chem. Soc., Perkin Trans., II* **309**, 1984.
- 60 Browne, C.M.; Ferguson, G.; McKervey, M.A.; Mulholland, D.L.; O'Connor, T.; Parvez, M. *J. Am. Chem. Soc.*, **107**, 2073, 1985.
- 61 Kanters, J.A.; Van Der Steen, F.H.; . Schouten, A; Bagdi, P.; Poonia, N.S. *J. Inclus. Phenom.*, **4**, 225, 1986.
- 62 Pears, D.; Stoddart, J.F.; Fakley, M.E.; Allwood, B.L.; Williams, D.J. *Acta Crystallogr., C* **44**, 1426, 1988.
- 63 Dietrich, B.; Kintzinger, J.-P.; Lehn, J.-M.; Metz, B.; Zahidi, A. *J. Phys. Chem.*, **91**, 6600, 1987.
- 64 Graf,E; Kintzinger, J.-P.; Lehn, J.-M.; LeMoigne, J. *J. Am. Chem. Soc.*, **104**, 1672, 1982.
- 65 Metz, B.; Rosalky, J.M.; Weis, R. *J. Chem. Soc., Chem. Comun.*, **533**, 1976.
- 66 Neupert-Laves, K.; Dobler, M. *Helv. Chim. Acta*, **59**, 614, 1976.
- 67 Nawata, Y.; Sakamaki,T.; Iitaka, Y. *Acta Crystallogr., B* **33**, 1201, 1977.
- 68 Graf,E.; Graf, R.; Hosseini, M.W.; Huguenard, C. Taulelle, F.C. *J. Chem. Soc., Chem. Commun.*, **1459**, 1997.
- 69 Prelog, V. *Science*, **193**, 17, 1976.
- 70 Chan, R.S.; Ingold, C.; Prelog, V. *Angew. Chem. Int. Ed. Engl.*, **5**, 385, 1966.
- 71 Chambron, J.C.; Dietrich- Bucheker, C.; Sauvege, J.-P. *Top. Curr. Chem.*, **165**, 132, 1993.
- 72 Parker, D. *Chem. Rev.*, **91**, 1441, 1991.
- 73 Lafontaine, E.; Bayle, J.-P.; Courtieu, J. *J. Chem. Soc.*, **111**, 829, 1989.
- 74 Bayle, J.-P.; Courtieu, J.; Gabetty, E.; Lowenstein, A.; Péchiné, J.M. *New J. Chem.*, **16**, 837, 1992.
- 75 Canet, I.; Meddour, A.; Courtieu, J.; Canet, J.L.; Salaün, J. *J. Am. Chem. Soc.*, **116**, 2155, 1994.
- 76 Duke, R.W.; Du Pré, D.B.; Hines, W.A.; Samulski, E.T. *J. Am. Chem. Soc.*, **98**, 3094, 1976.

- 77 Mislow, K.; Raban, M. **Top. Stereochem.**, **1**, 1, 1967.
- 78 Hanus, F.; Fuchs, E. **Journal für Praktische Chemie**, **153**, 327, 1939.
- 79 U.S.P. 2809999 (1955) Chiddix, M.F.; Hesse, S.K.; Williams, M.R. C.A., **52**, 9208b, 1958.
- 80 Yurdakoç, M.; Karakaplan, M.; Hoşgören, H. **Separation Science and Technology**, **34**, 13, 2615-2625, 1999.

ÖZGEÇMİŞİM

1978 yılında Diyarbakır'da dünyaya geldim. İlk ve orta öğrenimimi Diyarbakır'da tamamladıktan sonra 1995 yılında D.Ü. Eğitim Fakültesi Kimya Bölümü'nde öğrenim görmeye hak kazandım. Bu bölümde 1999 yılında mezun oldum. Halen Diyarbakır'da sınıf öğretmeni olarak görev yapmaktayım. Yabancı dilim İngilizce'dir.

